

JUNI 2023

VURDERING AV OMRÅDESTABILITET FOR FOLLUMMOEN

RINGERIKE KOMMUNE

GRUNNUNDERSØKELSER OG GEOTEKNISKE VURDERINGER

ADRESSE COWI A/S
Karvesvingen 2
Postboks 6412 Etterstad
0605 Oslo
TLF +47 02694
WWW cowi.no

PROJEKTNR. DOKUMENTNR.
A246122 A246122-RIG-NOT

VERSION	UDGIVELSESDATO	BESKRIVELSE	UDARBEJDET	KONTROLLERET	GODKENDT
01	13.06.2022	Geoteknisk vurdering	OSLD	MDMR	SAHS

INNHOLD

1	Sammendrag	3
2	Innledning	5
3	Regelverk og veiledninger	7
3.1	Krav til kvalitetssikring	7
4	Områdestabilitetsvurdering: NVE veileder nr.1/2019	8
4.1	Steg 1: Registrerte faresoner	8
4.2	Steg 2: Mulighet for marin leire	9
4.3	Steg 3: Terreng som kan være utsatt for områdeskred	11
4.4	Steg 4: Bestem tiltakskategori	12
4.5	Steg 5: Gjennomgang av grunnlag	12
4.6	Steg 6: Befaring	18
4.7	Steg 7: Gjennomfør grunnundersøkelser	18
4.8	Sikkerhetskrav for tiltakskategori K1	22
5	Konklusjon områdestabilitet	24
6	Referanser	25
7	Vedlegg	26

PROJEKTNR. DOKUMENTNR.

A246122 A246122-RIG-NOT

VERSION	UDGIVELSESDATO	BESKRIVELSE	UDARBEJDET	KONTROLLERET	GODKENDT
01	13.06.2022	Geoteknisk vurdering	OSLD	MDMR	SAHS

1 Sammendrag

Deler av planområdet for områdereguleringen er fullstendig utredet i henhold til NVE veileder nr. 1/2019 Sikkerhet mot kvikkkleireskred. Rapport om grunnundersøkelser og geotekniske vurderinger vil følge planforslaget, og hensynssoner med tilhørende bestemmelser innarbeides i områdereguleringen.

Det er gjennomført flere tidligere grunnundersøkelser i planområdet til «424 Områderegulering for Follummoen». Området består i hovedsak av elveavsetninger (sandige og siltige løsmasser), med noen lag med leire. Gjennomgang av tidligere utførte grunnundersøkelser viste indikasjon på sprøbruddmateriale på en totalsondering (borhull 12 fra COWI 2016 [1]) i nordøstre del av planområdet på nederste platå ned mot elva Begna. I forbindelse med dette ble området utredet nærmere og det ble utført supplerende grunnundersøkelser høsten 2022. Undersøkelsene viser at det ikke er sprøbruddmateriale i nordre del av planområdet der det er tiltenkt utbygging av næring og industribygg, og det er dermed ikke fare for områdeskred eller retrogressive skred inn i planområdet for industrifelt BI1, BI2, BI3 og BI4.

Det nederste platået ned mot elva Begna ved den nordlige delen av planområdet på omtrentlig kote-nivå +118 er tiltenkt friluftsområde og mulig turveg. Dette området er plassert i tiltakskategori K1, og det er vurdert et løsneområde med rotasjonsskred i et belte 38 meter fra elven og inn på platået. Dette trenger ikke å bli satt til en hensynssone i plankartet, men tilstrekkelig kapasitet mot skred må sikres hvis det skal gjøres tiltak som forverrer stabiliteten i skråningen, og erosjon som kan utløse skred som kan ramme tiltaket må forebygges.

I søndre del av planområdet er det fra tidligere grunnundersøkelser påvist sprøbruddmateriale i nærheten av der jernbanen krysser E16 (prøveserie 38010 ved SSV 1985 [2]). Det er et sammenfallende leirelag som går inn i skråningen nordover. På grunn av tids- og kostnadsrammene er det ikke gjennomført fullstendig utredning av områdestabilitet for denne søndre delen av planområdet som innebefatter BI5 og BI6, og utredningen er i dette notatet stoppet på steg 7 i prosedyren til NVE veileder 1/2019 [3]. En utredning av områdestabilitet må dermed gjenomføres på byggesaksnivå for disse feltene. Kommunen må kreve at tilstrekkelig sikkerhet mot skred er dokumentert i henhold til gjeldende regelverk og krav før det gis bygge- eller deletillatelse.

Områdestabiliteten må også utredes videre med stabilitetsberegninger og eventuelt supplerende grunnundersøkelser for «alternativ 2» for avkjøring av E16 da planområdet vil strekke seg inn i et område der det er store marine avsetninger og påvist sprøbruddmateriale ved tidligere grunnundersøkelser. Dette er ikke nødvendig for «alternativ 1».

Utenfor området er det en registrert faresone for områdeskred, «862 Kile», med utløpsområde som strekker seg inn i søndre del av planområdet. Det er eksisterer en hensynssone for aktsomhetsområdet til faresonen. Denne hensynssonnen kan bestå slik den er tegnet opp, men det må vurderes om denne skal revideres ved fullstendig utredning av områdestabiliteten i dette området.

Det er mye faste fiksionsmasser og generelt gode forutsetninger for å bygge i planområdet gitt at lokalstabilitet vurderes i detaljprosjekteringen. Vegen som

går inn til BI4-feltet går gjennom et område med et bløtt topplag i grunnen (sondering 22 ved COWI 2016 [1]), og forsterkning av vegen med for eksempel geonett må vurderes ved dette området.

2 Innledning

Dette er et geoteknisk notat med vurdering av områdestabilitet i forbindelse med områderegulering på Follummoen i Ringerike kommune. Planområdet kan sees i Figur 2-1, og i dette notatet har det i områdestabilitetsvurderingen blitt delt inn i en nordre del som er innrammet med blått i Figur 2-1 Utklipp av planområdet fra planforslag. Planområdet for "Follummoen" er innrammet i svart. Det gulmarkerte området er ikke med i planforslaget. Det som refereres til som "nordre del av planområdet" er her innrammet med blått og "søndre del" med grønt. Figur 2-1 og en søndre del innrammet med grønt.

Det er vurdert to ulike løsninger for avkjøringen av E16 i søndre del av området. Den ene tar i utgangspunkt en rundkjøring på E16 der man kan sveine av mot vest. Alternativ 2 tar utgangspunkt i en avkjøring ut mot øst ned mot en rundkjøring nedenfor E16. Med sistnevnte alternativ følger det med at planområdet vil strekke seg lenger sør. Ellers er de to alternativene like.

COWI utførte grunnundersøkelser for området i 2016 som kan sees i Vedlegg 1, og supplerende grunnundersøkelser i forbindelse med revisjon av områdestabilitetsvurdering for områdereguleringen. I tillegg har det blitt benyttet eldre undersøkelser fra NGI [1] og Statens vegvesen [2] [3] danner et grunnlag for vurdering av området.

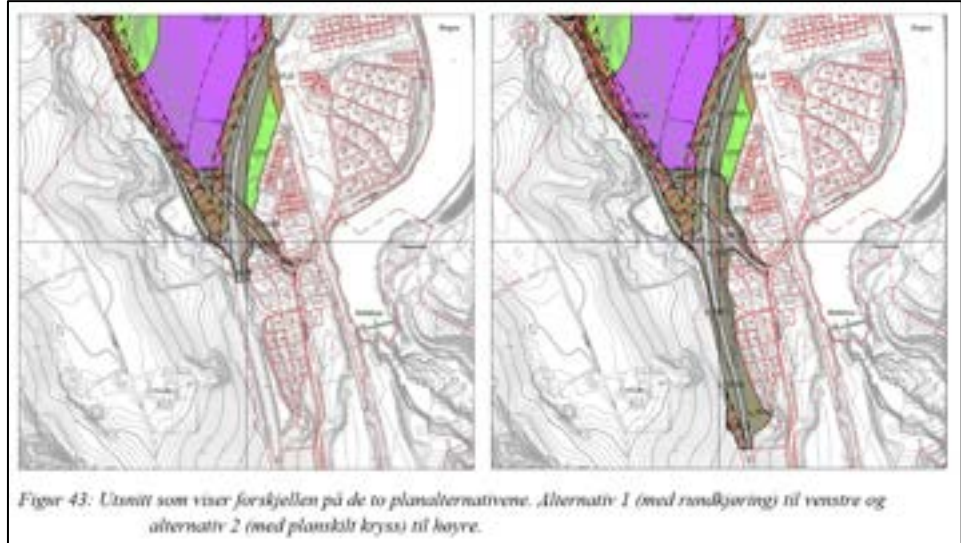
Tidligere undersøkelser har vist indikasjon på sprøbruddmateriale i ulike deler av planområdet. For områdereguleringen på Follummoen er det ikke krav om de-taljregulering og det legges til rette for at det skal gå rett videre til byggesak.

Fare for områdeskred må være vurdert i henhold til kravene i plan og bygningsloven §4-3. Dette notatet omfatter geotekniske vurderinger for områdestabilitetsvurdering i henhold til Byggteknisk forskrift (TEK17) med tilhørende NVE veileder nr.1/2019.

I denne områdestabilitetsvurderingen er det satt tiltakskategori K4 for feltene med industri og områdene knyttet til E16, og K1 for områdene knyttet til de private/kommunale veiene og friluftsområdene. Og i dette notatet er steg 1-7 aktuelle.



Figur 2-1 Utklipp av planområdet fra planforslag. Planområdet for "Follummoen" er innrammet i svart. Det gulmarkerte området er ikke med i planforslaget. Det som refereres til som "nordre del av planområdet" er her innrammet med blått og "søndre del" med grønt.



Figur 43: Utanitt som viser forskjellen på de to planalternativene. Alternativ 1 (med rundkjøring til venstre) og alternativ 2 (med plankalt kryss) til høyre.

Figur 2-2 Utklipp fra planforslag som viser de to ulike alternativene for den helt sydlige delen av planområdet. De ulike alternativene vil gi to ulike planområder.

3 Regelverk og veiledninger

Følgende standarder og veiledninger er hensyntatt i den geotekniske prosjektringen:

- > PBL: Plan og bygningsloven av 27. juni 2008 nr. 71, ref. [4].
- > TEK 17 §7-3: Sikkerhet mot naturpåkjenning, ref. [5].
- > SAK 10: Byggesaksforskriften, ref. [6].
- > NVE veileder nr. 1/2019: Sikkerhet mot kvikkleireskred, ref. [7]

3.1 Krav til kvalitetssikring

Dette dokumentet har vært gjennom egenkontroll og sidemannskontroll internt i COWI.

Krav til kontroll av uavhengig firma utløses i henhold til NVE veileder 1/2019 ved soneutredning (del 2). Hvis soneutredningen stopper på steg 5, 6, eller 7 er det ikke nødvendig med kontroll av uavhengig foretak.

For dette dokumentet er områdestabilitetsvurdering for K4-tiltak for nordre del av planområdet fullført ved steg 7. Og det kreves dermed ikke kontroll av uavhengig foretak iht. forklaring av NVE veileder [10].

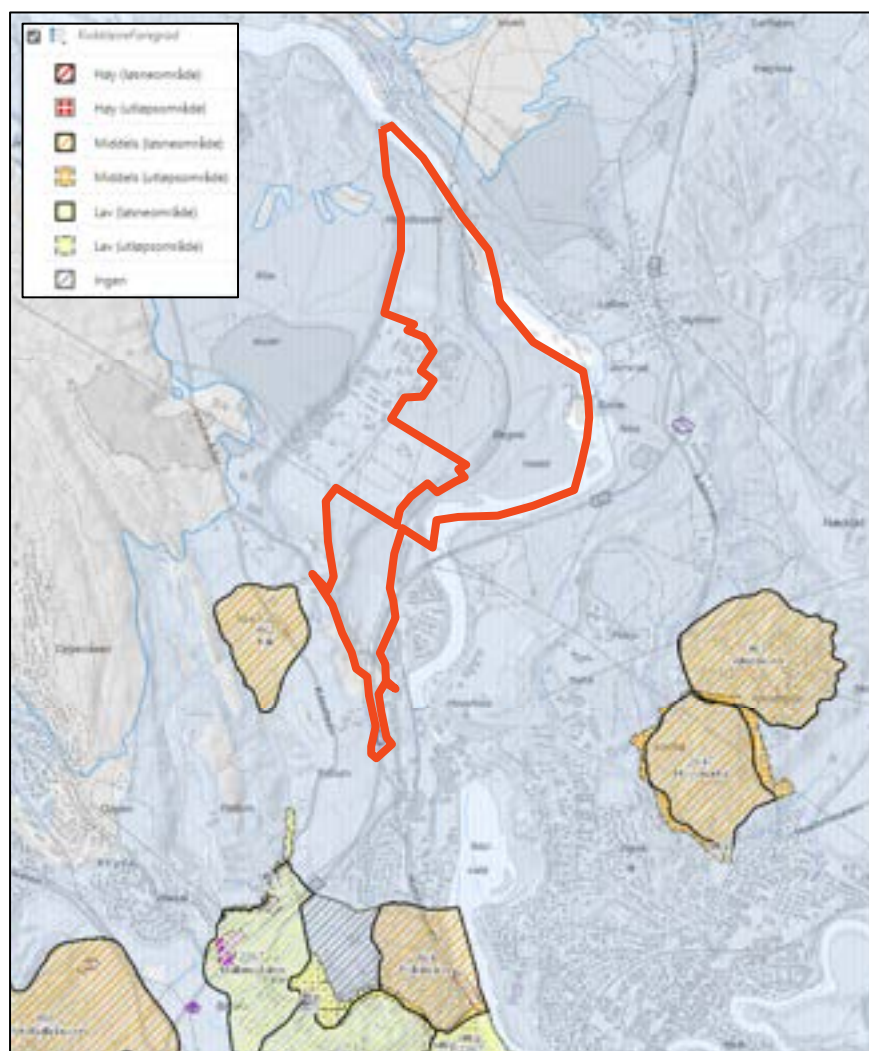
For søndre del har ikke områdestabilitetsvurderingen blitt fullstendig svart ut, og det må stilles krav fra kommunen om dokumentert sikkerhet mot skred iht. NVE veileder 1/2019 før det tildeles bygge- eller delstatatløft, og det skal være kontrollert av uavhengig foretak.

4 Områdestabilitetsvurdering: NVE veileder nr.1/2019

Områdestabiliteten er i dette kapittelet vurdert i henhold til den stegvise prosedyren i NVE veileder Nr.1/2019.

4.1 Steg 1: Registrerte faresoner

Ved Figur 4-1 kan man se at det er registrert en kvikkleiresone «862 Kile» vest for den søndre i det aktuelle området, med et indikert lag med kvikkleire mellom 7-15 meter ved dreiesonderinger Vedlegg . Faregrad er satt til «middels», konsekvens til «Mindre alvorlig» og risikoklasse 2. Det er ikke registrert noen historiske skred, men NGI [4] nevner at det er en tidligere skredgrop i faresonen. Fra tidligere kommuneplan eksisterer det en hensynssone knyttet til aktsomhetsområde til faresonen. Denne kan bestå slik den er tegnet opp.

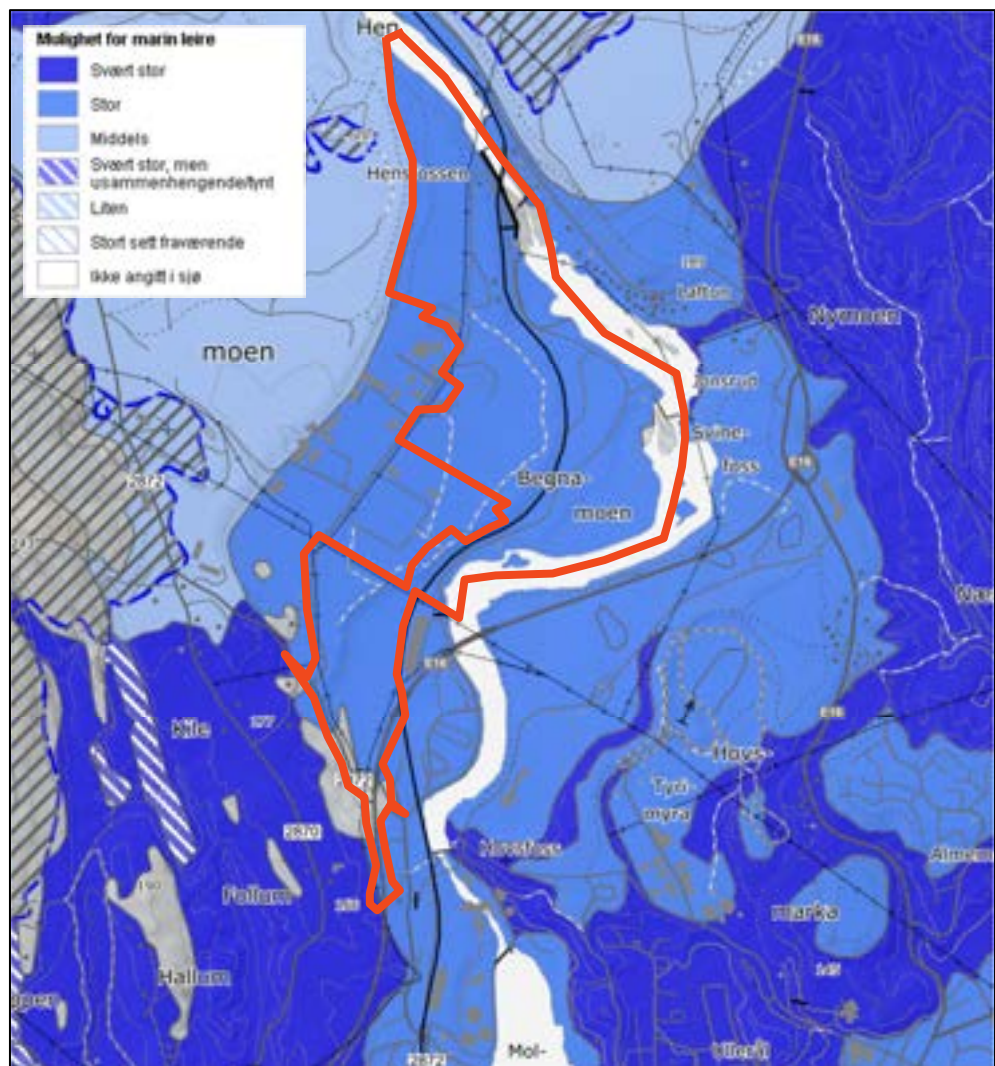


Figur 4-1 Utsnitt fra NVE sitt temakart for kvikkleiresoner. Planområdet er indikert med rødt og det er ingen registrerte faresoner innenfor området.

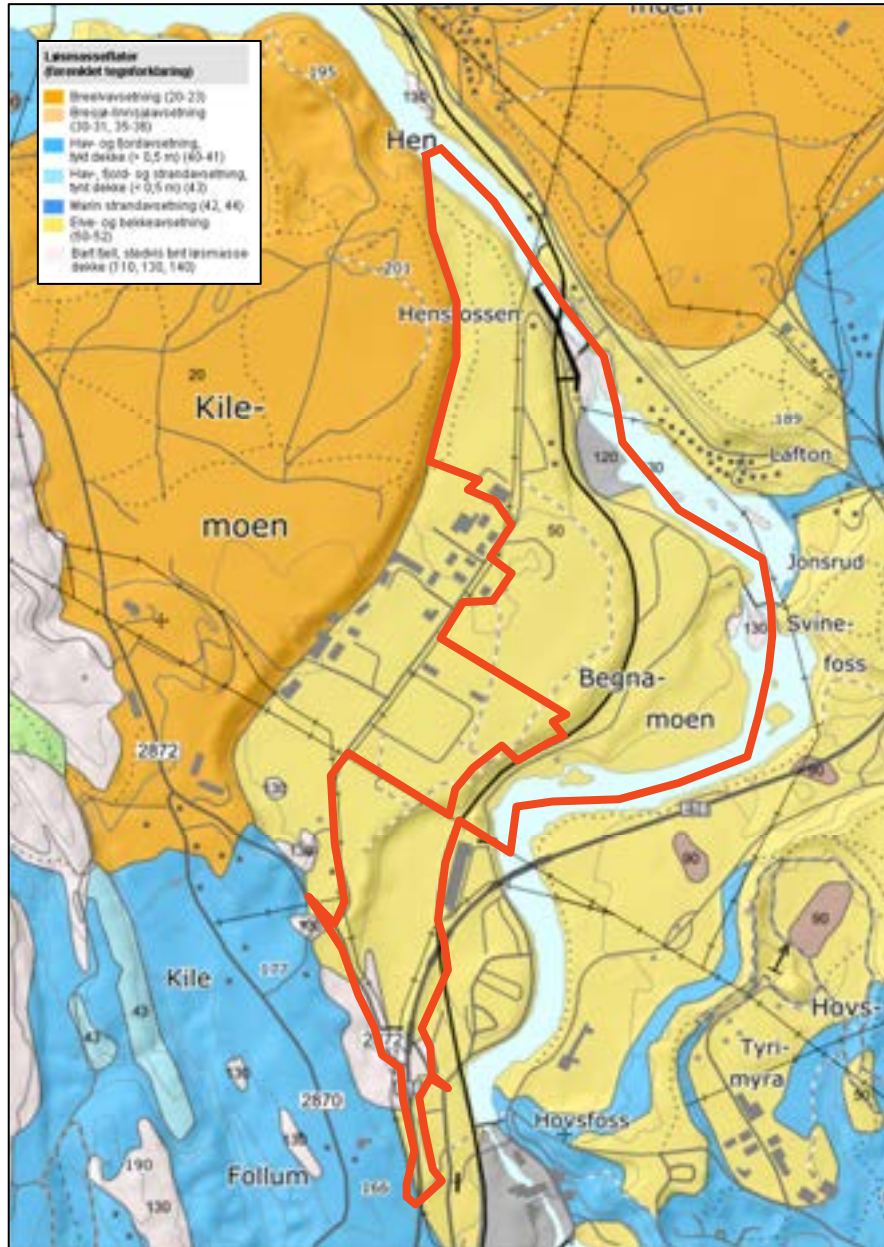
4.2 Steg 2: Mulighet for marin leire

Området er under marin grense som man kan se fra Figur 4-1 og fra NVE sitt temakart for kvikkleire i Figur 4-2 kan man se at det er stor mulighet for sammenhengene forekomster av marin leire.

Basert på kart fra NGU sin nasjonale løsmassedatabase i Figur 4-3 er det tykk elveavsetning i området. Det kan dermed forventes grusige, sandige/siltige forekomster, se Figur 4-3. I nordvest er det tilgrensende områder med breelvavsetninger og sørvest i området er det havavsetninger. Sør i området er det markert med bart fjell, og tilgrensende området med fjord- og havavsetninger.



Figur 4-2 Utklipp fra temakartet "Mulighet for marin leire" der planområdet er indikert med rødt



Figur 4-3 Løsmassekart der planområdet er indikert med rødt. Kilde: NGU løsmassedata-base

4.3 Steg 3: Terreng som kan være utsatt for områdeskred

I henhold til. NVE veileder nr.1/2019. er terreng som inngår i et aktsomhetsområde for områdeskred:

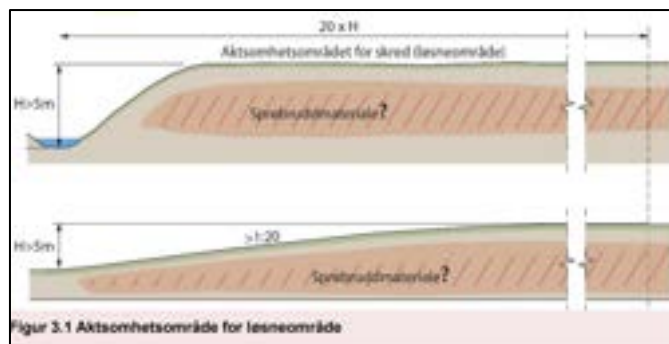
- a) Terreng som kan inngå i løsneområdet for et skred.
 - Total skråningshøyde over 5 meter, eller
 - Jevnt hellende terrang brattere enn 1:20 og høydeforskjell over 5 meter
- b) Terreng som kan inngå i utløpsområdet for et skred, dette er allerede definerte utløpsområder eller definert som $3^*(\text{lengden til løsneområdet})$

Planområdet ligger på Follummoen, øst for Follummoveien og avgrenses av Begnavassdraget. Planområdet er et platåterring som er delt inn i flere platåer, med en bratt skrånning som med skråningshelning opp mot 1:1.5 ($\approx 34^\circ$), terrenget faller mot øst.

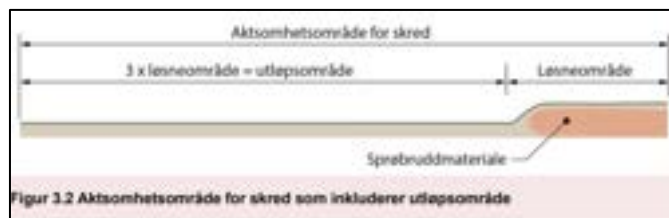
Området ligger ca. på kote +155-160 i vest og ca. på kote +115-120 ved elva Begna i øst. Det er i tillegg en kant opp til et platå på kote +196 i vest ovenfor terrenget i nordre del.

Ved undersøkelse av topografien i området med NVE veileder 1/2019 sine anbefaling på aktsomhetsområder som kan sees i Figur 4-4 og Figur 4-5 kan det sees at omrent hele planområdet havner i et aktsomhetsområde, enten ved å inngå som et mulig løsneområde eller utløpssone.

Området må dermed utredes videre i henhold til NVE veileder nr.1/2019.



Figur 4-4 Utklipp fra NVE veileder 1/2019 av figur for aktsomhetsområde for løsneområde ved steg 3.



Figur 4-5 Utklipp fra NVE veileder 1/2019 av figur for aktsomhetsområde for utløpsområde ved steg 3.

4.4 Steg 4: Bestem tiltakskategori

I områdereguleringen legges det opp til nærings- og industribygg, samt utbygging av veger og friluftsområder. Tabell 4-1 viser inndelingen i tiltakskategori for de ulike tiltakene i planområdet.

Tabell 4-1 Oversikt over inndeling i tiltakskategori iht. NVE veileder 1/2019

Tiltak	Tiltakskategori
Industriutbygging, BI1 til BI6. Markert med lilla i plankartet.	K4
Tiltak knyttet til endringer ved E16	K4
Friluftsområder og turveg. Markert med grønt i plankartet. Samt private og kommunale veger.	K1

For K4-tiltakene utredes det videre iht. til den stegvise prosedyren i NVE veileder 1/2019. For K1-tiltakene skal sikkerhet mot områdeskred dokumenteres iht. kravene i kapittel 3.3.4 i NVE 1/2019.

Siden det kommer fram informasjon om grunnforholdene gjennom den stegvise prosedyren for å utrede områdeskredibilitet for K4-tiltakene, kommer dokumentasjon iht. sikkerhetskrav for K1-tiltaket til slutt i delkapittel 4.8.

4.5 Steg 5: Gjennomgang av grunnlag

Det er gjennomført en rekke tidligere grunnundersøkelser i området. Der hentet fra NADAG og COWI sitt arkiv og er følgende presentert i delkapittel 4.5.1, og med datarapporter og relevante utklipp fra tidligere rapporter i Vedlegg 1-6. GRANADA har flere brønner i området, men det er grunnlaget fra NADAG blir vurdert da dette gir mer relevant informasjon i denne sammenheng. Grunnlaget oppsummeres til slutt i delkapittel 4.5.2

4.5.1 Tidligere grunnundersøkelser

Veddirektoratet, 1985 [3]

Rapporten fra veglaboratoriet oppsummerer grunnforholdene for parsellen Follum gård – Begna i forbindelse med «E68 Veien-Nymoen».

I skjæringen mot Follum gård ble det i grunnundersøkelsene funnet et lag med kontraktante masser ved triksialforsøk og middels sensitiv leire. Det kommer fram i totalsonderingene at det er fastere grunn vest for veien. Nordover langs veglinjen var det registrert morenemateriale.

I en prøveserie på platået nede ved Begna ble det også registrert middels sensitiv leire. Det ble også mulig sprøbruddmateriale med en konustest på omrørt prøve med $c_{u,r} < 2$ kPa.

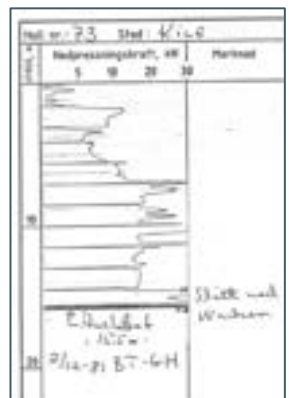


Figur 4-6 Tverrprofil for veglinjen like sør for Follum gård. Viser et leirelag i skjæringen mot vest. Laboratorieundersøkelser viser at dette er middels sensitiv leire. Ved veglinjen og øst mot veien er det fastere grunn.

NGI, 1988 [1]

I 1988 ble det gjennomført noen grunnundersøkelser av NGI som ligger inne i reguleringsområdet. Faresonen «826 Kile» kommer fra disse undersøkelsene med dreiesondring 73 i figur 5 som indikerte kvikkleire i 7-15 meter under overflaten. Dette laget med kvikkleire er anslagsvis fra kotehøyde +155 og nedover. Terrengvurderinger er også lagt til grunn ved faresonen med en gammel skreddrop i området.

Det ble i tillegg utført en dreietrykksondering (hull nr.75 i vedlegg 5) innenfor reguleringsområdet som viste fastere materiale.

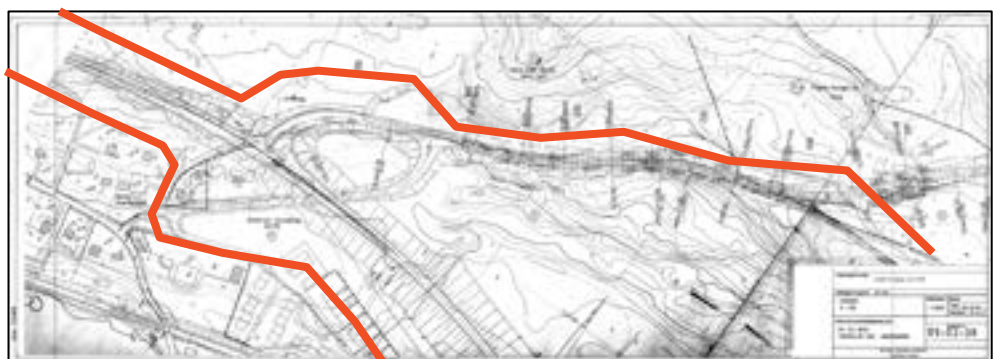


Figur 4-7 Dreietrykksondering ved Kile som indikerer kvikkleire.

Statens vegvesen, 1989 [2]

I forbindelse med ny parsell for «Fv172 (nåværende Fv2872/Vestre Ådal) i 1989 ble det gjort geotekniske vurderinger av veien i området for områdereguleringen. Den relevante strekningen for områdereguleringen gjelder strekningen fra Glederud opp til starten av Follummoveien. Her viser forholdene stort sett fjell i dagen eller sandige grusige materialer, og gunstige geotekniske forhold.

Utenfor tiltaksområdet i en høyere del av terrenget på kotehøyde +185 er registrert sprøbruddsmateriale. Se vedlegg 6 for vurderinger for dette området. Sonderingene ligger omtrent 300 meter unna avgrensningen for områdereguleringen.



Figur 4-8 Borplan av SSV i 1989 for området som ligger innenfor reguleringsgrensen for søndre del av områdereguleringen på Follummoen. Reguleringsgrensen er indikert i rødt.

COWI, 2016 [8]

I forbindelse med områdereguleringen for Follummoen ble det i 2016 gjennomført grunnundersøkelser av COWI. Borplan, sonderinger, piezometer og laboratorieundersøkelser finnes i Vedlegg 1-3.

Grunnundersøkelsene viser en lagdelt grunn som hovedsakelig består av sandige elveavsetninger, grusig morenemateriale og siltige leirelag. Det er ikke utført styrketester på leiren.

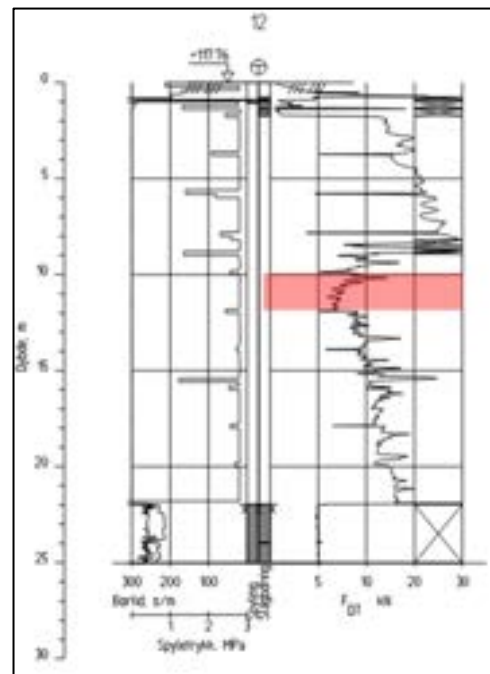
Ved totalsondering 12 kan man se en reduksjon i spissmotstand fra kotenivå +108 noe som kan være en indikasjon på sprøbruddmateriale. De omkringliggende totalsonderingene har et sammenfallende leirelag ved samme kotenivå. De andre totalsonderingene gir ikke tydelig indikasjon på sprøbruddmateriale, men de har store lag med sand

og morenemateriale som kan gi større stangfriksjon slik at sonderingene gjenom de bløte lagene blir påvirket og ikke gir et helt klart bilde på hva som befinner seg i grunnen. Se tabell 1 for oversikt over sonderingene. I vedlegg finnes ulike tverrsnitt som er tatt med hensyn å få oversikt over topografi og grunnforhold og sammenfallende leirelag med hensyn på områdestabiliteten.

Ved borhull 16 viser totalsondering bløtt leirelag med større mektighet fra +113 til +98, og i 22 vises et bløtt topplag. Borhull 22 er plassert der det planlegges for veg ned til felt BI4 og her må det gjøres tiltak for bygging av veg på bløt grunn.

Tabell 1 Oversikt over de gjennomførte totalsonderingene av COWI i 2016.

Borpunkt	Terrenge	Leirelag		Berg	Ind. Sprø- brudd
		Fra kote	Til kote		
1	122,1	-	-	115	
2	123,1	-	-	122	
3	122,5	117	109	108	
4	155,4	-	-	125	
5	122,8	119	106	84,8	
6	122,9	110	102		
7	154,1	120	117	108,1	
8	155,7	?	?	117,7	
9	115,5	?	?	-	
10	151,1	112	107		
11	157,5	-	-	-	
12	117,8	108	96	95	X
13	127,7	110	100	90	



Figur 4-9 Borpunkt 12 med indikasjon på sprøbruddmateriale indikert med rødt.

14	151,5	113	107	-	
15	160,7				
16	116,1	113	98	98	
17	130,1	110	104	102	
18_B	131,7	119	114	114	
19	153,5	129	109		
20	161,1	-	-	116	
21	135,1	123	120	117	
22	127	127	124	117	
23	162,3	131	126	114	
24	164	-	-	146	



Figur 4-10 Utklipp fra Nasjonale Databasen for grunnundersøkelser (NADAG) fra NGU med utførte grunnundersøkelser av COWI (2016) innenfor reguleringsgrensen og NGI (1988) med overlappende grunnundersøkelser.

Google Street View: Berg i dagen-registreringer

Berg i dagen for søndre del av planområdet har blitt registrert ved hjelp av google street view. Dette viser et stort område med tynt eller ingen løsmasse-dekke. Kart med registreringen er vedlagt i Vedlegg 8

4.5.2 Oppsummering grunnlag

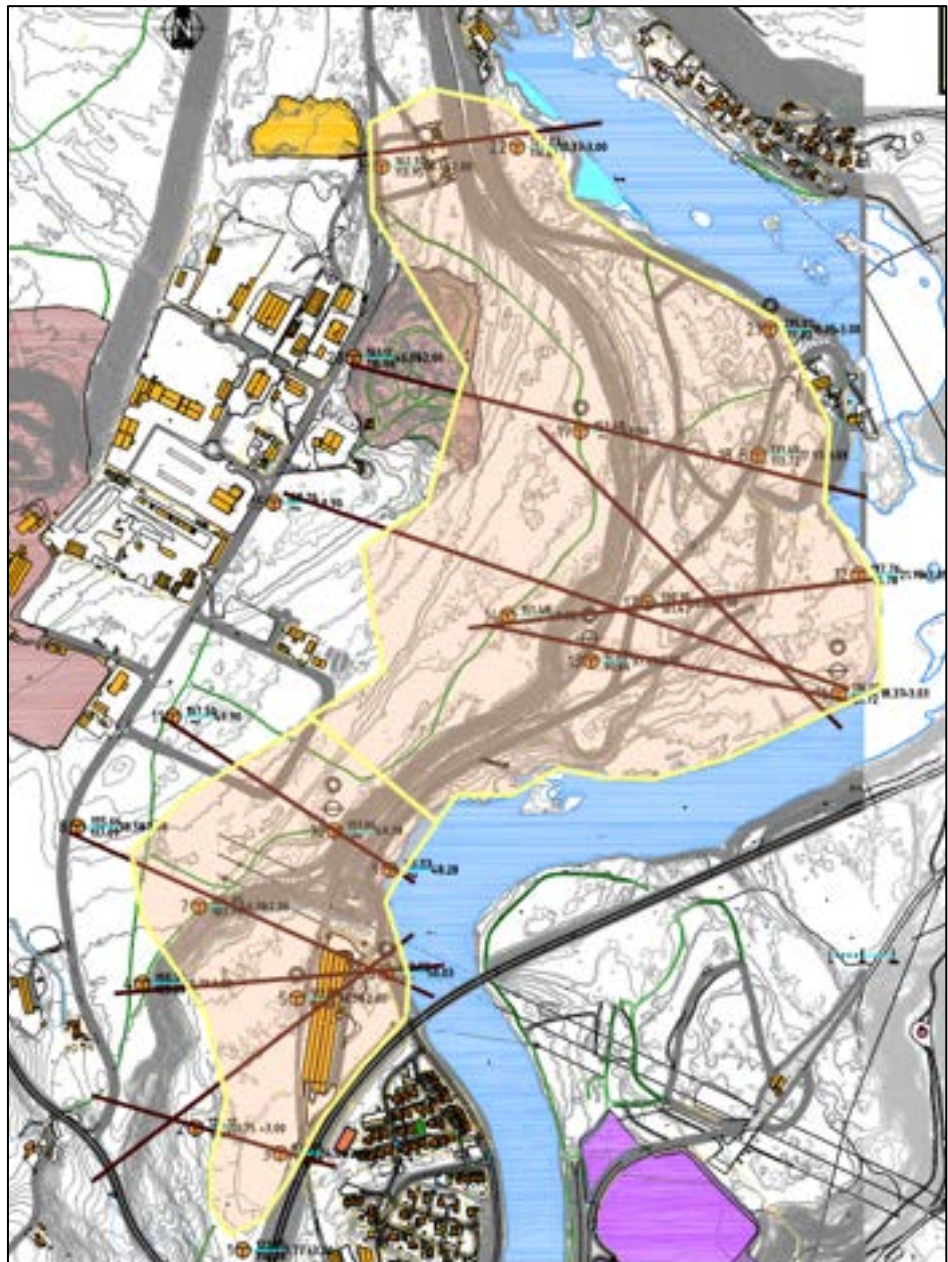
De tidligere undersøkelsene fra Vegdirektoratet [2] viste lag med leire som hadde målinger ned mot $c_{u,r} < 2$ kPa, som betyr at det klassifiseres som sprø-bruddmateriale iht. NVE veileder 1/2019, for de søndre områdene der planområdet til alternativ 2 strekker seg inn, og mot Begna platået ved jernbaneundergangen under E16.

Fra COWI sine undersøkelser i planområdet har det blitt tegnet opp tverrsnitt over terrenget i Vedlegg 7, og det ble identifisert et leirelag som var sammenfaldende som starter på kotenivå +130 til +110 etter som hvor i planområdet man ser. Leirelaget kan sees illustrert i Figur 4-11. Det er indikasjon på sprøbrudd-materiale i leirelaget ved borpunkt 12, og det ble dermed planlagt supplerende grunnundersøkelser for å få undersøkt egenskapene til leirelaget som gikk nordover inn i planområdet.

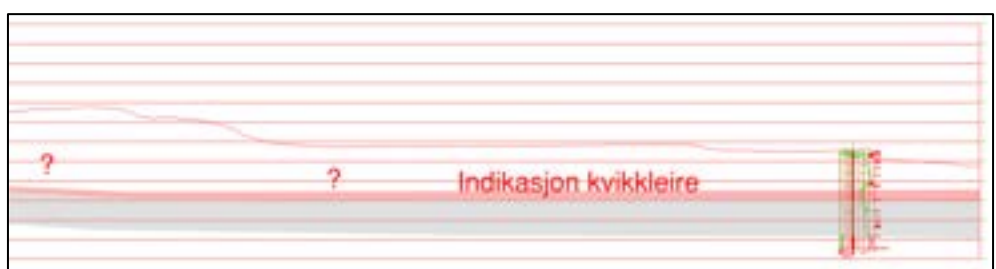
Som det kan sees i Vedlegg 8 er registrert fjell i dagen midt i skråningen og langs vegen ovenfor området. Sonderinger i skråning som er nordover viser faste friksjonsmasser eller tynt løsmassedekke. Det vurderes til at planområdet som ligger nedenfor faresonen «862 Kile» er vurdert til å ligge utenfor influenssonen til skråningen ved Kile med mindre stabiliteten forverres ved for eksempel graving eller peleramming.

Helt i sør er det som beskrevet i innledning to mulige alternativer for avkjøring av E16. I vedlegg 8 kan det sees at berg i dagen også er registrert for dette området. For alternativ 1 er det registrert berg i dagen både ovenfor og nedenfor planområdet, og det vil ikke være fare for områdeskred ved tiltaket, og løsningen er geoteknisk mindre komplisert.

Hvis alternativ 2 for avkjøringen skal benyttes går planområdet inn i et område der tidligere grunnundersøkelser viser et leirelag med mektighet opp mot 19.5 meter, og med en prøveserie med registrert sprøbruddmateriale [3]. Ved valg av alternativ 2 må områdestabiliteten for det helt søndre området vurderes og særskilte tiltak vurderes i detaljprosjektering for utvidelse av veg for avkjøring.



Figur 4-11 Leirelag som ble identifisert ved grunnundersøkelsene utført av COWI i 2016.
De svarte linjene viser de ulike tverrsnittene som ble tegnet opp vor å vurdere utbredelsen av leirelaget.



Figur 4-12 Utklipp fra et opptegnet tverrsnitt mellom 12, 17 og 14. Totalsonderingen som synes er borhull 12 med indikasjon på sprøbruddsmateriale.

4.6 Steg 6: Befaring

Fysisk befaring ble ikke gjennomført i denne omgangen da det ble ansett som nok grunnlag fra kart og tidligere undersøkelser til å gå videre til neste steg i prosedyren. Det er registrert et gjennomgående leirelag som vil være erosjonsutsatt.

4.7 Steg 7: Gjennomfør grunnundersøkelser

Det ble utført supplerende grunnundersøkelser desember 2022 for å få bedre oversikt over grunnforholdene, og undersøke egenskapene til leirelaget som hadde indikasjon på sprøbruddmateriale på borhull 12 fra 2016. Alle sonderingene viste et siltig leirelag i grunnen som kna sees ved Figur 4-15, Figur 4-16 og Figur 4-17.

Det ble utført 6 totalsonderinger, 1 CPTU og 1 prøveserie. Se Figur 4-13 og Figur 4-14 for borplan av de supplerende undersøkelsene og Vedlegg 9 for å se data-rapport.



Figur 4-13 Utklipp fra borplan for søndre del av supplerende grunnundersøkelser på Follummoen 2022. De supplerende punktene er markert med svart, og de tidligere undersøkelsene er markert med grønt



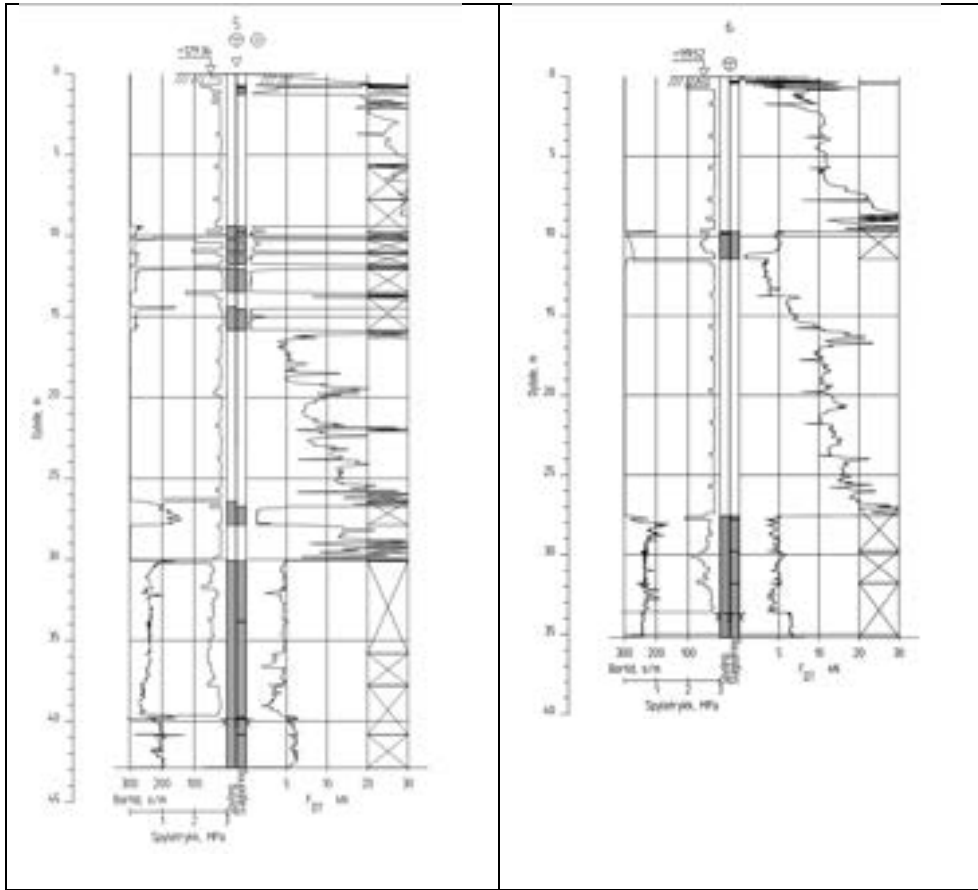
Figur 4-14 Utklipp fra borplan for nordre del av supplerende grunnundersøkser på Follummoen 2022. De supplerende punktene er markert med svart, og de tidligere undersøkelsene er markert med grønt

4.7.1 Nordre del av planområdet

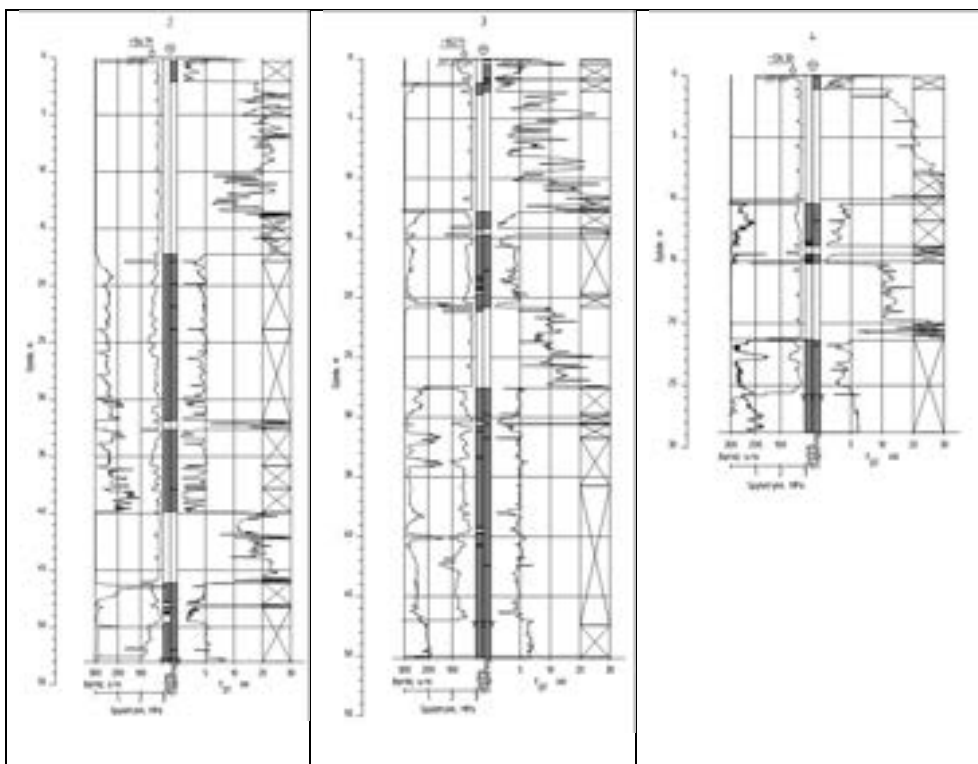
CPTU og prøveserie ble tatt i borhull 5 som er vist i Figur 4-15. Leirelaget er fra labrapport beskrevet som siltig, med siltlag og med noen sandkorn. CPTU har blitt analysert med SVV sitt CPTU-regneark som er lagt ved i vedlegg 10. Helling står som «Ikke OK» fra måleverdi under kapasitet. Dette oppstår som følge av én ekstremverdi ved 19,5 m.u.t og ellers er hellingen OK. CPTU-forsøket vurderes dermed som «OK».

CPTU viser en overkonsolidert siltig leire med høy udrenert skjærstyrke, og NIFS klassifisering fra 2015 viser fragmenterte lag med klassifiseringen «mulig sprø-bruddmateriale». Sylinderprøvene viser derimot omrørt skjærstyrke, $c_{u,r}$, på 7,8 og 10,1 kPa ved 17,5 m.u.t i borhull 5 og 54,3 og 57,3 kPa ved 21 m.u.t, og at leirelaget dermed ikke har sprøbruddegenskaper. Det er dermed ikke funn av sprøbruddmateriale i leirelaget ved planområdet da $c_{u,r} > 1,27$ kPa og flyteindeksen er $I_L < 1,2$ (53% ved 17,6 m.u.t og 71% ved 20,6 m.u.t).

Figur 4-15 viser et sammenfallende leirelag mellom 5 og 6 som ligger i bunn svakråning med lignende totalsonderingsprofil. Det ble ikke påvist sprøbruddmateriale i borpunkt 5. Det vurderes dermed til at det ikke er sprøbruddmateriale i leirelaget som går inn i vestover og nordover i terrenget fra borpunkt 5.



Figur 4-15 Totalsondering 5 og 6 fra de supplerende grunnundersøkelsene 2022



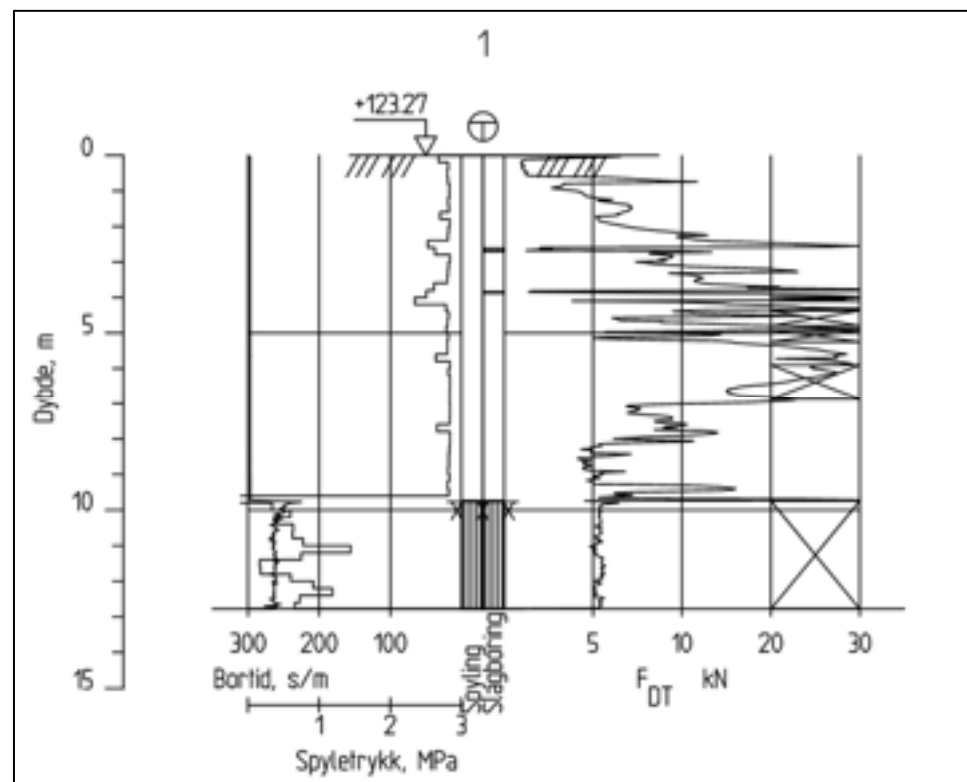
Figur 4-16 Borpunkt 2, 3 og 4 fra supplerende grunnundersøkelser 2022

Det er ikke indikasjon på sprøbruddmateriale fra totalsonderingene, og undersøkelsene utført i borhull 5 som er av det sammenfallende leirelaget viser at det ikke er sprøbruddmateriale. Det vurderes dermed at det ikke er områdeskred for den nordre delen av planområdet som er på høyde med borpunkt 5 kotennivå +129 og over.

Det er ikke avkretet ved grunnundersøkelsene om det skulle befinne seg sprøbruddmateriale eller kvikkleire nede ved nederste platået ved Begnamoen som det er indikasjon av ved borhul 12 fra undersøkelsene 2016. Det er derimot ikke lagt opp til utbygging av industri her, og det har blitt satt som tiltakskategori K1 for turveg. Vurderingen av sikkerhet for K1-tiltaket er i delkapittel 4.8.

4.7.2 Søndre del av planområdet

Borpunkt 1 fra de supplerende undersøkelsene i Figur 4-17 viste at det søndre delen av leirelaget og mektigheten var begrenset i forhold til antatt etter gjennomgang av grunnlag da profilet viste faste masser ned 8 m.u.t over 1,5 meter tykt dekke av siltig leire over berg. Egenskapene til leirelaget ble ikke testet, men tidligere undersøkelser har vist konusprøver med omrørt skjærfasthet ned mot $c_{u,r} < 2 \text{ kPa}$ [3] ned på dette platået og det antas dermed i neste steg i prosedyren at leirelaget er sprøbruddmateriale.



Figur 4-17 Borhull 1 fra supplerende grunnundersøkelser 2022

På grunn av kostnads- og tidsrammer har det ikke blitt gjennomført fullstendig utredning av områdestabiliteten knyttet til søndre del av planområdet. Og områdestabilitetsvurderingen for det søndre området stoppes her uten å ha svart ut områdestabiliteten.

For å dokumentere sikkerhet er det sett på som nødvendig å gjøre beregninger av skråningsstabilitet for skråningen fra felt BI6 opp til BI5. Det sammenfallende leirelaget er tilsvarende det som først tegnet opp i Figur 4-11 og er på ny illustrert på den nye borplanen i Figur 4-18.



Figur 4-18 Utklipp fra borplan fra supplerende grunnundersøkelser med sammenfallende leirelag illustrert med gult og rødt.

4.8 Sikkerhetskrav for tiltakskategori K1

Sikkerhetskravene for tiltakskategori K1 er gitt i fet skrift:

**"Krav til sikkerhet oppfylles hvis tiltaket ikke forverrer stabiliteten.
Erosjon som kan utløse skred som kan ramme tiltaket må forebygges."**

Erosjon og eventuelle sikkerhetstiltak må dermed vurderes ved detaljprosjeketring.

"Det skal gjøres en vurdering av alle relevante løsne- og utløpsområder med tanke på skråninger hvor erosjon kan utløse skred, se kap. 4. For vurdering av erosjon, se NVE Ekstern rapport 9/2020 (15). "

Ved platået ned mot elva Begna ved kote +118-119 er det ikke tatt uforstyrrede prøver for leirelaget helt ut mot elva Begna. Totalsondering 6 som ble utført i de supplerende grunnundersøkelsene var plassert innerst på platået og denne viser ingen indikasjon på sprøbruddsmateriale. Man kan derimot vurdere skredmekanismen og dermed områdestabiliteten gjennom å anta at det er sprøbruddsmateriale der indikasjonen vistes ved borhull 12.

Leirelaget ved borhull 12 starter 10 m.u.t ved kotenivå +108. Her er det indikasjon på sprøbrudd i 2 meter før spissmotstanden øker med dybden igjen. Deretter er det siltig leire ned til berg på kotenivå +96.

Hvis det antas en dybde på elva på 3 meter er det ca. 1:4 helning og en skråningshøyde på 7,5 meter. Med et så dypt plassert leirelag vil andel sprøbruddsmateriale være mindre enn 40% og dermed kan det regnes med et rotasjons-skred for denne skråningen.

For å dermed enkelt avgrense et relevant løsneområde tas det utgangspunkt i formelen fra NVE 1/2019 delkapittel 4.5.3:

$$L > 5 * \text{Høyde på skråning} = 5 * 7,5 = 38 \text{ meter.}$$



Figur 4-19 Uklipp fra tversnitt av skråning ved borhull 12 og ut mot elven Begna. Med en antatt tre meters dybde blir skråningen ca. 1:4 og med $H=7,5$ m

Dette vil være fra skråningsfot og innover platået. Ved etablering av tiltak innenfor denne sonen som forverrer stabiliteten i skråningen skal det kreves absolutt sikkerhetsfaktor fra NVE veileder 1/2019:

" $F_{cu} \geq 1,40 * fs$ og $F_{cp} \geq 1,25$, hvor fs er sprøhetsforholdet som korrigerer for sprøbruddeffekt i de udrenerte beregningene, se kap. 5.3.3."

5 Konklusjon områdestabilitet

Steg 1-7 i NVE veileder 1/2019 er i denne rapporten gjennomgått for områdereguleringen av Follummoen. Den nordre delen av planområdet har kunne blitt lukket for områdeskredfare, men den søndre delen markert med grønn innramming i Figur 2-1 må gjennomgå videre utredning av områdestabiliteten. Kommunen må dermed kreve at områdestabiliteten blir dokumentert i henhold til gjeldende regelverk og krav.

Det presiseres at det er områdestabiliteten som er vurdert i denne rapporten og at lokal stabilitet må vurderes ved detaljprosjektering.

For de ulike alternativene for ny avkjøring av E16 så vil det for alternativ 1 ikke være fare for områdeskred da det er registrert berg i dagen både ovenfor og nedenfor tiltaket. For alternativ 2 der planområdet vil strekke seg lenger sør må områdestabiliteten utredes da det er registrert store marine avsetninger i området og påvist sprøbruuddmateriale.

Hensynsone 310_3 som er knyttet til aktsomhetsområdet/utløpsområdet for faresonen «862 Kile» kan bestå, men må oppdateres etter gjeldende veileder ved utredning av områdestabiliteten i det søndre området.

Hensynssonene 310_1 og 310_2 fra tidligere plankart kan tas ut da de ikke er knyttet til en faresone for områdestabilitet.

6 Referanser

- [1] NGI, »Kartbladet 1815-3 Hønefoss - Vurderinger 01.09.1988,« 1988.
- [2] Statens vegvesen Buskerud, »Grunnundersøkelse for FV172 HP:01, Parsell: NY E68-Kihlebakken,« 1989.
- [3] Vegdirektoratet , »E68 Veien-Nymoen, Grunnundersøkelser for parsellen Follum gård - Begna (Del 4), sek 3500-36080,« 1985.
- [4] Kommunal- og moderniseringsdepartementet, Plan og bygningsloven - pbl, 2008.
- [5] Direktorat for Byggkvalitet, »Byggteknisk forskrift (TEK17),« 2017.
- [6] Direktoratet for byggkvalitet, Forskrift om byggesak (byggesaksforskriften) (SAK10), Kommunal- og distriktsdepartementet, 2013.
- [7] Norges vassdrags- og energidirektorat, NVE, »NVE veileder 1/2019, Sikkerhet mot kvikkleireskred : vurdering av områdestabilitet ved arealplanlegging og utbygging i områder med kvikkleire og andre jordarter med sprøbruddegenskaper,« NVE, ISBN: 978-82-410-2091-9, 2020.
- [8] COWI, »Grunnundersøkeler Follummoen,« 2016.
- [9] NVE, »Sikkerhet mot kvikkleireskred. Veileder Nr. 1/2019,« 2020.

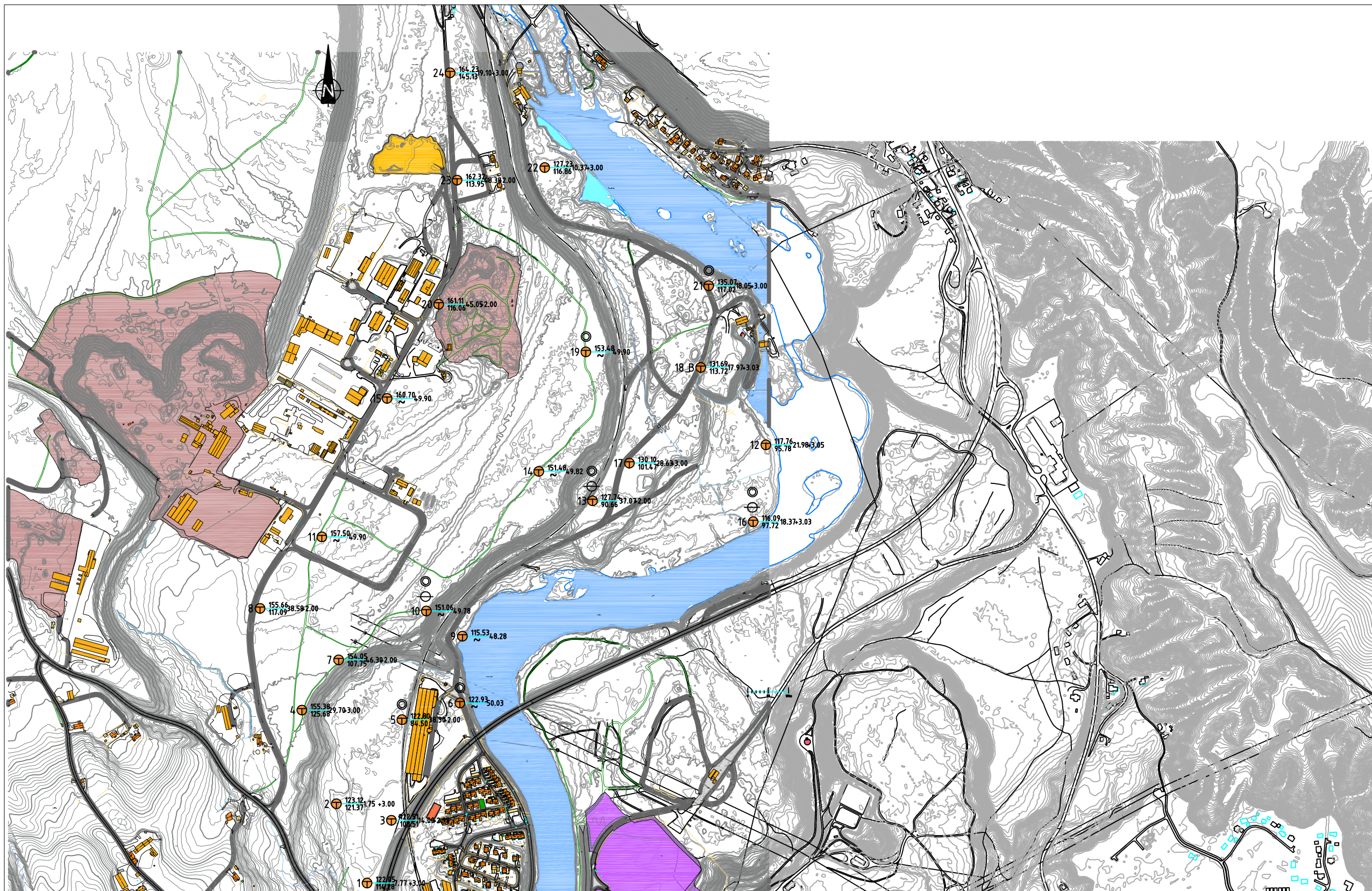
7 Vedlegg

Vedlegg	Nummer
Geoteknisk undersøkelser, COWI 2016	1
Piezometerliste, COWI 2016	2
Rapport Follummoen GU. Laboratorieundersøkelser, Multiconsult 2016	3
Utklipp fra tidligere grunnundersøkelser:	4
Utklipp fra: E68 Veien – Nymoen, Grunnundersøkelser for parsellen Follum gård – Begna (Del 4), sek. 35000-36080, Vegdirektoratet 1985	
Utklipp fra tidligere grunnundersøkelser:	5
Utklipp fra: Kartbladet 1815-3 Hønefoss – Vurderinger 01.09.1988, NGI 1988	
Utklipp fra tidligere grunnundersøkelser:	6
Utklipp fra: Grunnundersøkelse for: FV172 HP:01, Parsell: Ny E68 – Kihlebakken, Statens vegvesen Buskerud, 1989	
Grunnforhold og topografi. Opptegnede tverrsnitt og sammenfallende leirelag.	7
Berg i dagen -registreringer fra Google Street view	8
Datarapport: Supplerende grunnundersøkelser Follummoen 2022	9
Plott av analysert udrenert skjærstyrke for leirelag i borpunkt 5 fra de supplerende grunnundersøkelsene med SSV sitt regneark.	10

Vedlegg 1

Grunnundersøkelser, *COWI 2016*





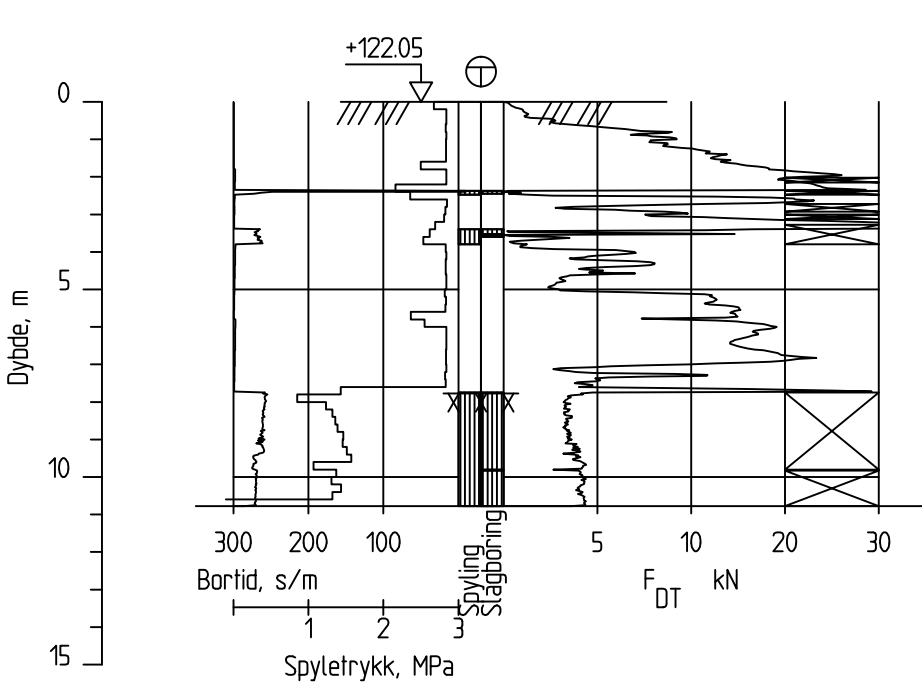
- DREIESONDERING
- ENKEL SONDERING
- ▼ RAMSONDERING
- ⊜ TOTALSONDERING
- ✖ FJELLKONTROLLBORING
- KJERNEBORING
- ▽ TRYKKSONDERING
- ◆ DREIETRYKKSONDERING
- PRØVESERIE
- PRØVEGROP
- ▽ TERRENGKOTE (BUNN)KOTE
- ⊜ ANTATT FJELLKOTE
- + VINGEBORING
- PORETRYKKMÅLING
- △ FJELL I DAGEN
- BORET DYBDE + BORET I FJELL

Rev.	Dato	Revideringen gjelder	Nr.	Saksb.	Sidem.k.	Oppdr.a.
		Ringerike kommune	Tegnet av	Saksbehandler		
		Follummoen grunnundersøkelser	OMHA	ASBJ		
		Utførte grunnundersøkelser	Slidemannskontr.	Oppdragsansvarlig		
			ASBJ	KTBR		
			RIG	Målestokk	1:10000	A3
			Date			
			29.06.2016			
Oppdragsnr.		A082437	Status			
Tegning nr.		V-001	Rev.			

COWI



V-001 00



Dato boret :03.05.2016

Posisjon: X 6673299.82 Y 568297.49

Totalsondering

Sonderingsnummer

Borhull 1

Follummoen GU

Målestokk

M = 1 : 200

Godkjent

JNHS

Fag

RIG

Sidemanskj.

MSBO

COWI

Dato
25.05.2016

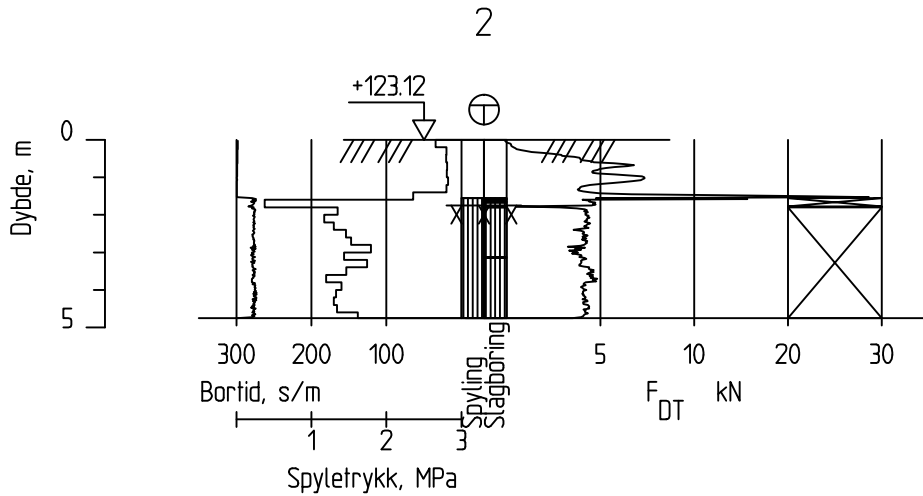
Format
A4

Saksbehandler
LAAN

Oppdragsnr.
A082437

Tegningsnr.

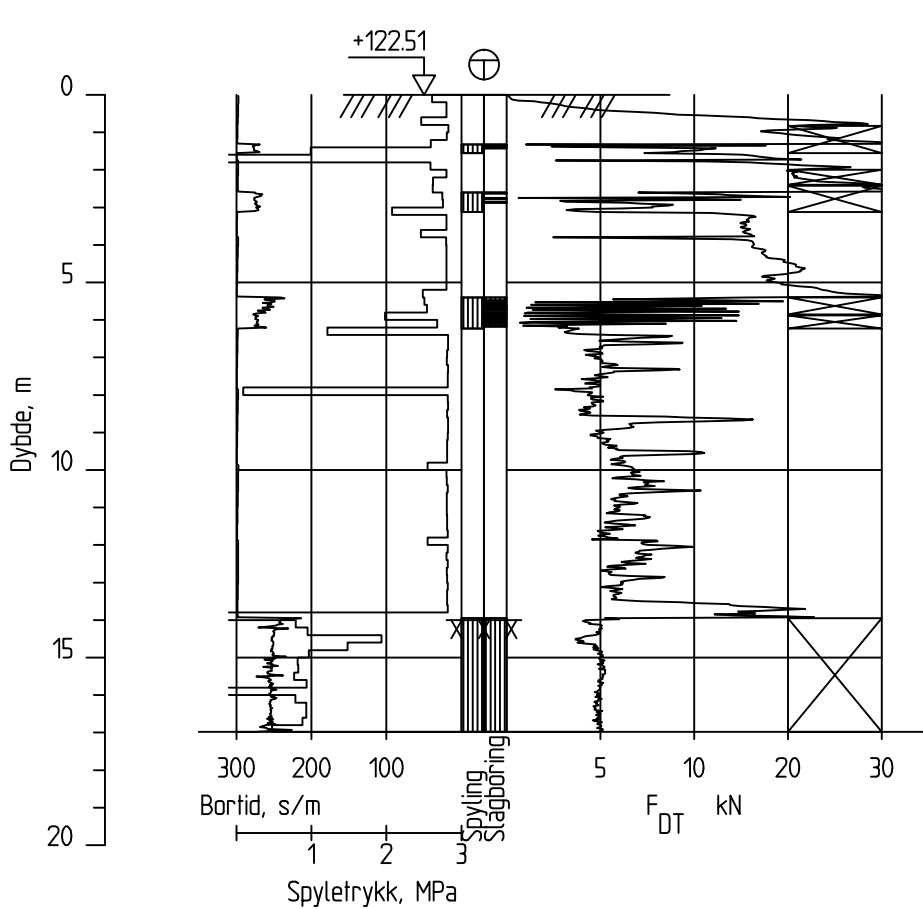
Rev.
A



Dato boret :03.05.2016

Posisjon: X 6673494.65 Y 568222.04

Totalsondering	Sonderingsnummer Borhull 2	
Follummoen GU	Målestokk $M = 1 : 200$	Godkjent JNHS
	Fag RIG	Sidemanskj. MSBO
COWI	Dato 25.05.2016	Format A4
	Oppdragsnr. A082437	Tegningsnr. Rev. A



Dato boret :03.05.2016

Posisjon: X 6673454.03 Y 568357.23

Totalsondering

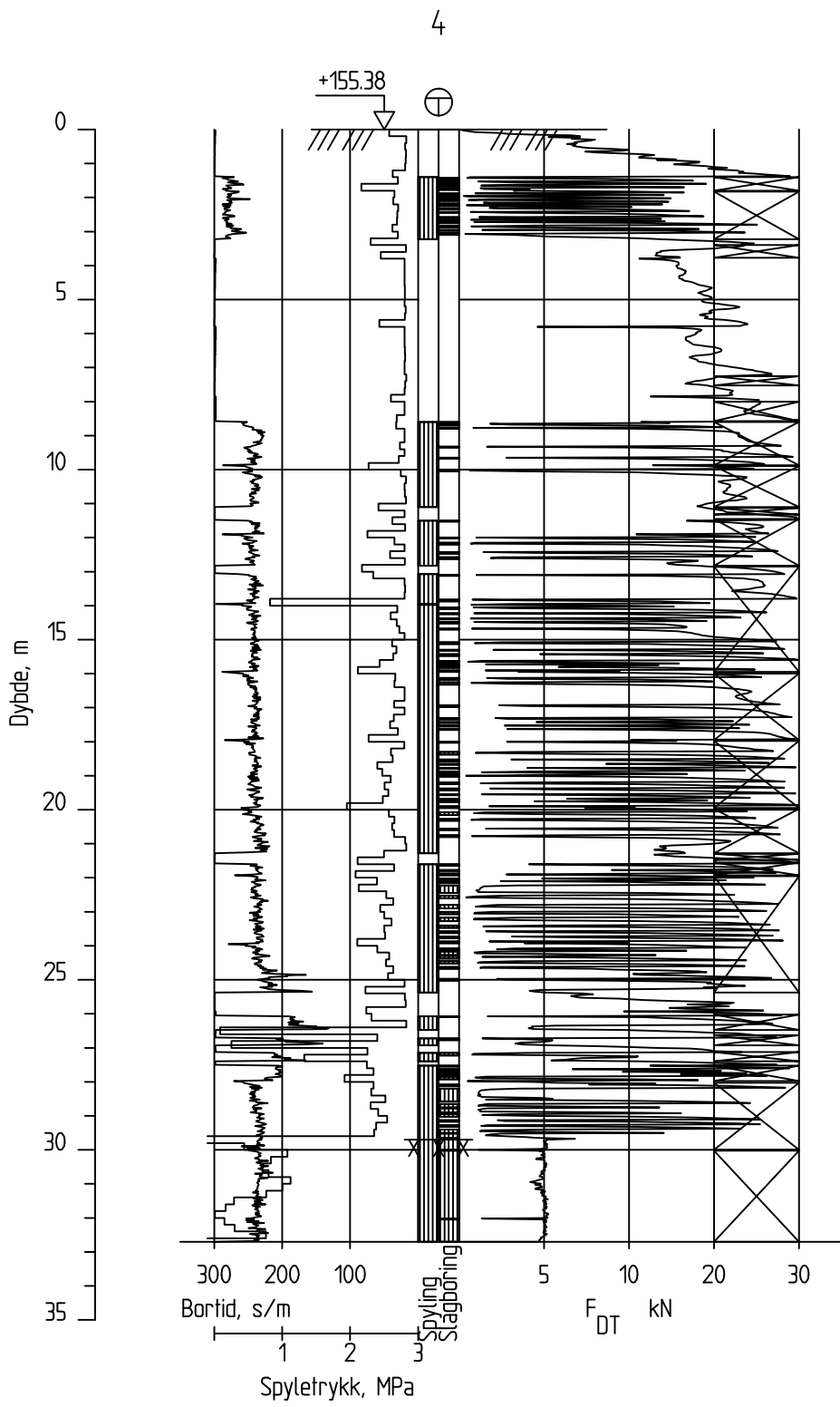
Sonderingsnummer
Borhull 3

Follummoen GU

Målestokk M = 1 : 200	Godkjent JNHS
Fag RIG	Sidemanskj. MSBO

COWI

Dato 25.05.2016	Format A4	Saksbehandler LAAN
Oppdragsnr. A082437	Tegningsnr.	Rev. A



Dato boret :28.04.2016

Posisjon: X 6673725.05 Y 568137.02

Totalsondering

Sonderingsnummer

Borhull 4

Follummoen GU

Målestokk

M = 1 : 200

Godkjent

JNHS

Fag

RIG

Sidemanskj.

MSBO

COWI

Dato
25.05.2016

Format
A4

Oppdragsnr.

A082437

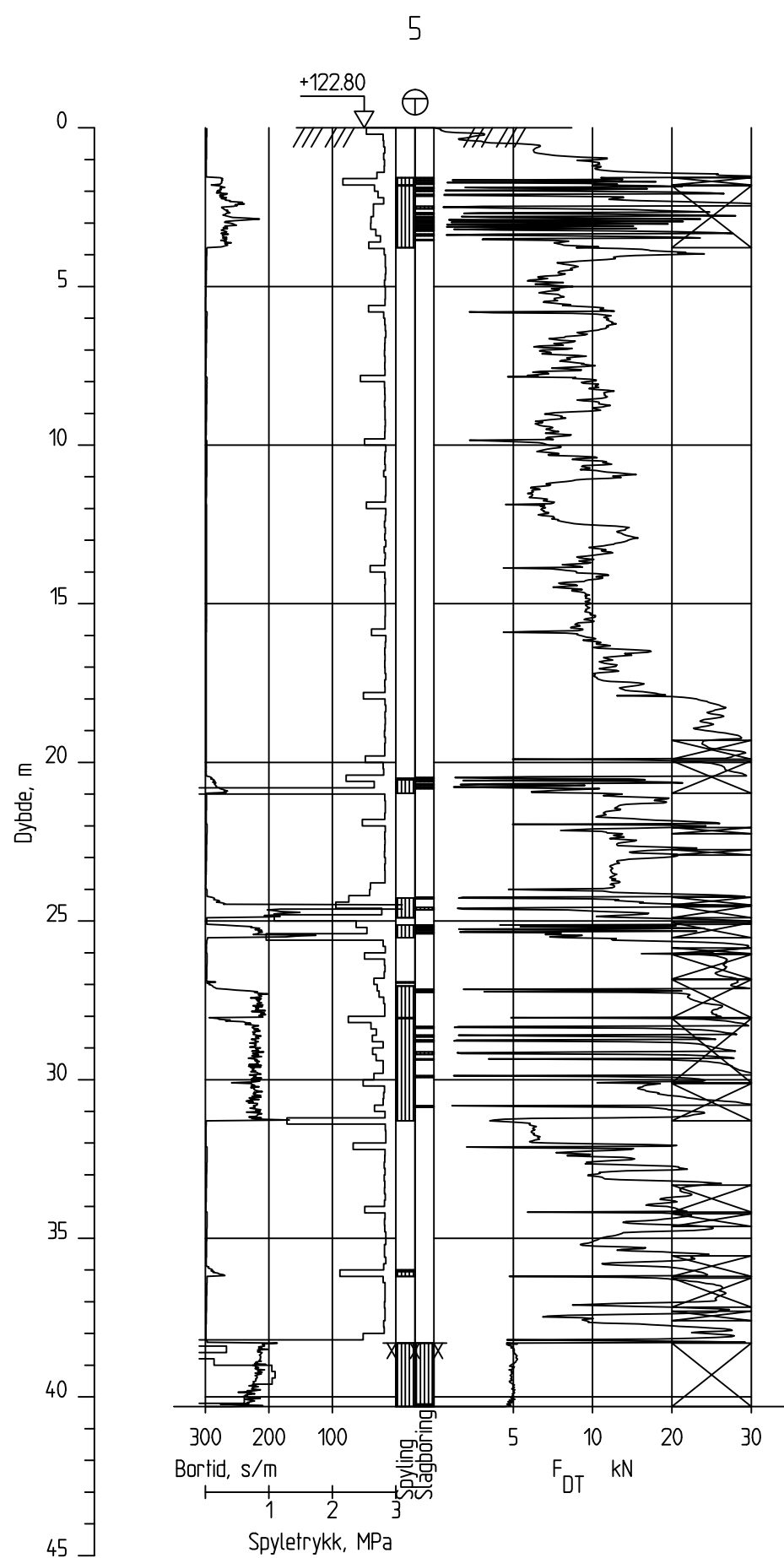
Tegningsnr.

Saksbehandler

LAAN

Rev.

A



Dato boref: 03.05.2016 Posisjon: X 667370150 Y 568383.27

Totalsondering

Sonderningsnummer
Borhull 5

Follummoen GU

Målestokk
 $M = 1 : 200$

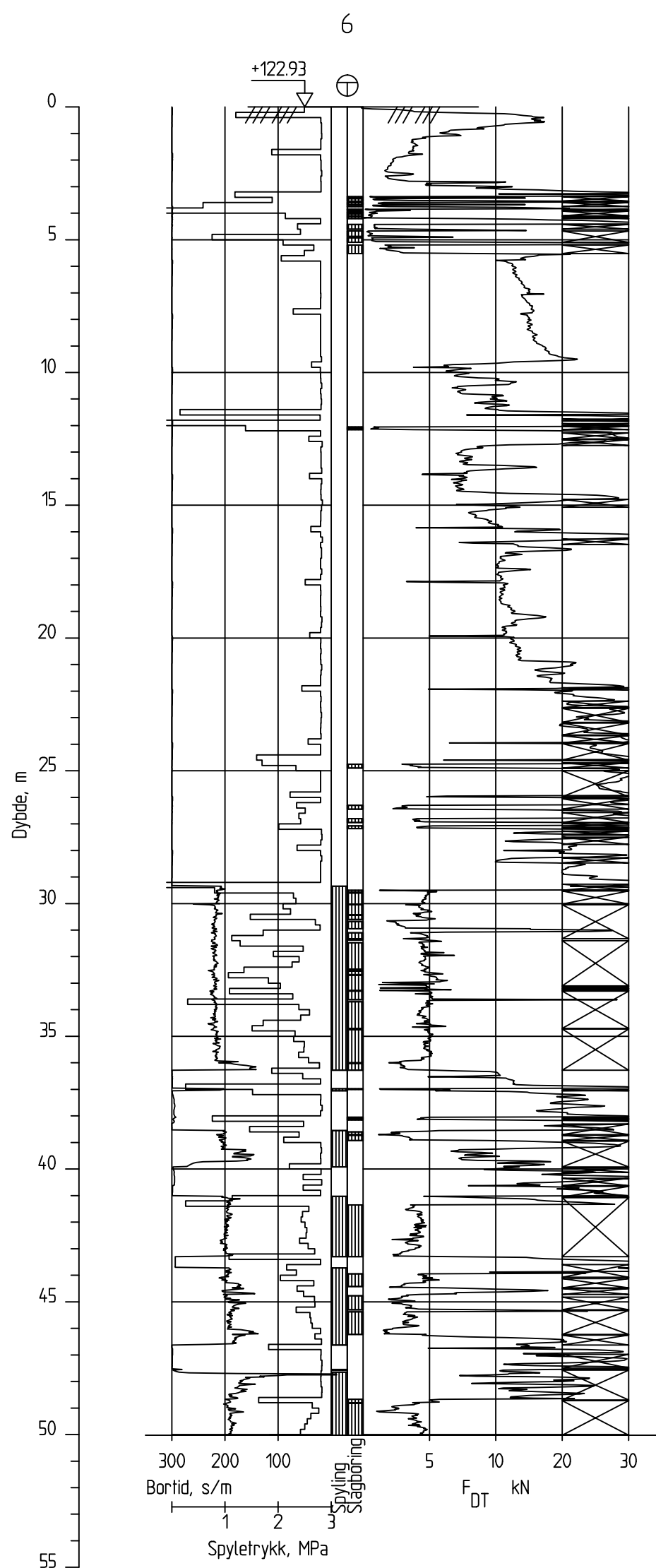
Fag
RIG

Format
A3

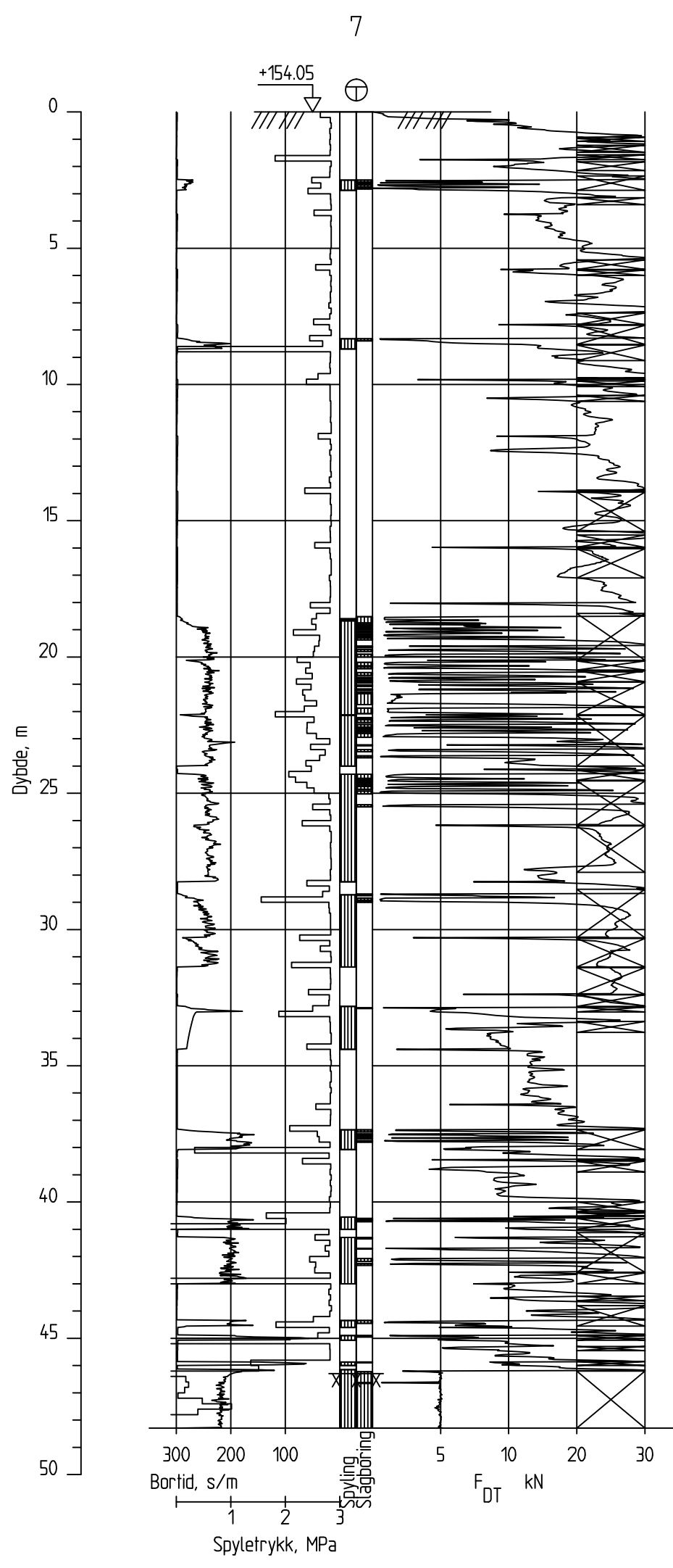
COWI

Dato
25.05.2016
oppdragsnr.
A082437

Tegningstnr.
Rev.
A



Totalsondering		Sonderingsnummer Børnhull 6
Follummoen GU		Målestokk $M = 1 : 200$
COWI	Fug	Godkjent JNHS
	RIG	Sidenatiskontr. MSBO
Dato Oppdragsnr.	Format A3	Saksbehandler LAAN
25.05.2016 A082437	Tegningsnr. Rev. A	Rev. A



Dato boref: 28.04.2016 Position: X 667384 Y 568227

Totalsondering

Follummoen GU

COWI

Sonderingsnummer
Borhull 7

Målestokk
 $M = 1 : 200$

Fag
RIG

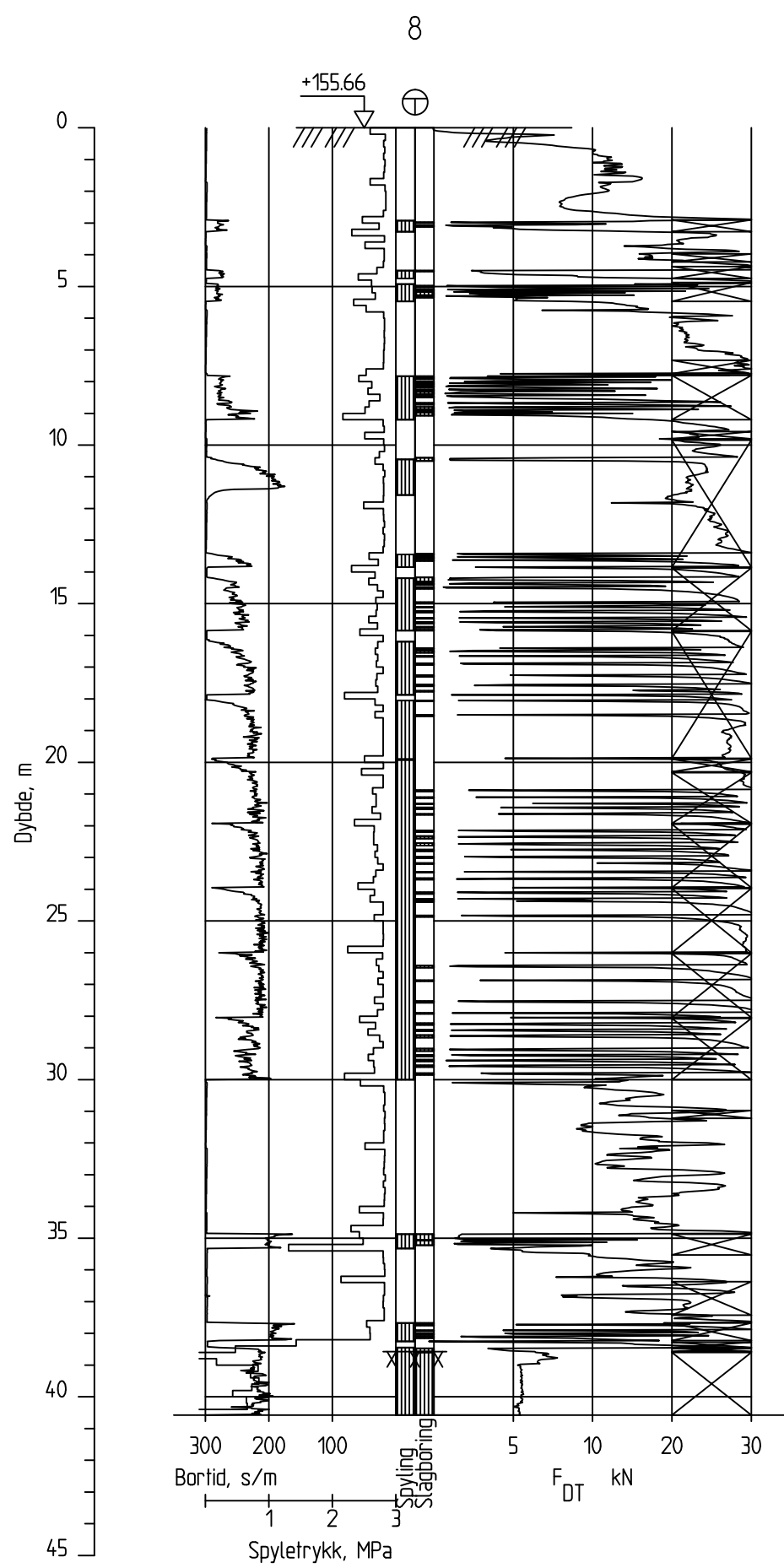
Dato
25.05.2016

Oppdragsgnr:
A082437

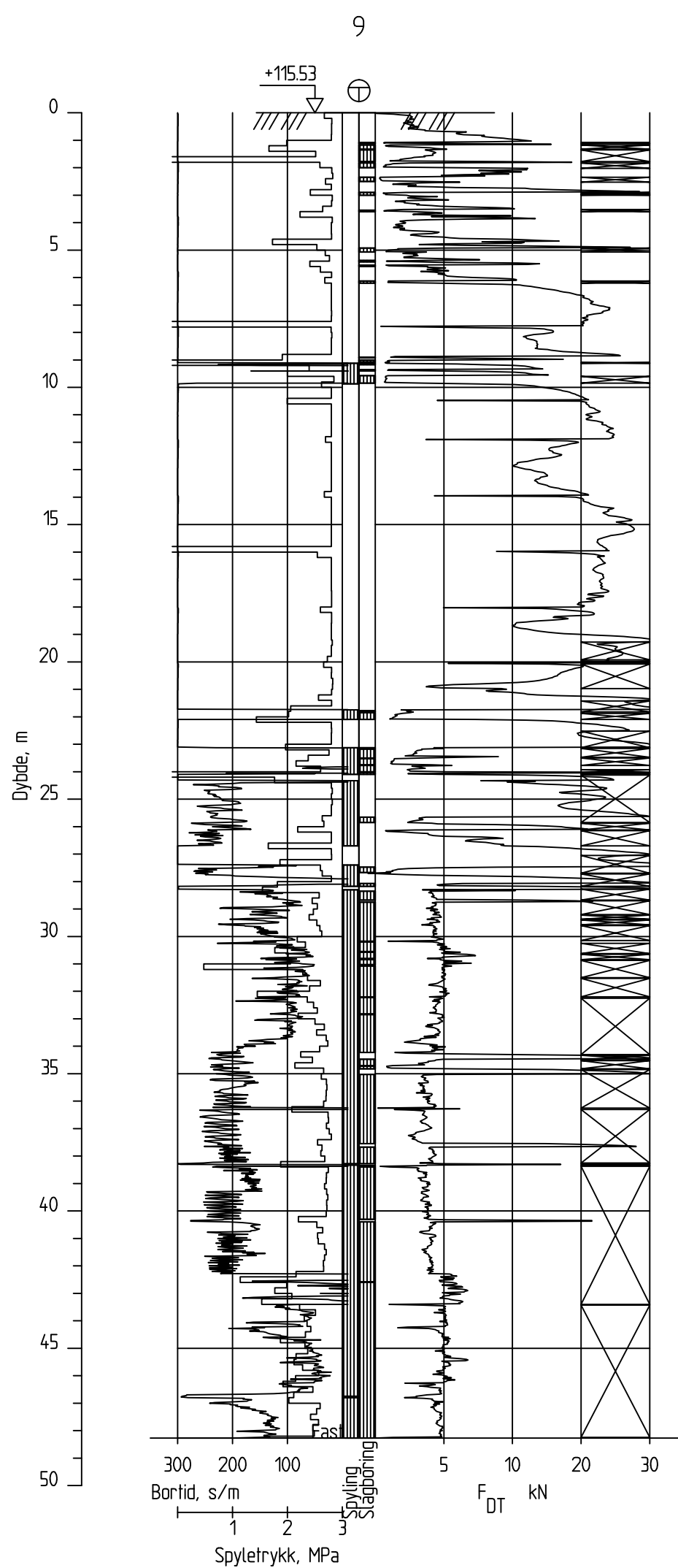
Format
A3

Tegningstnr:
AAN

Rev:
A

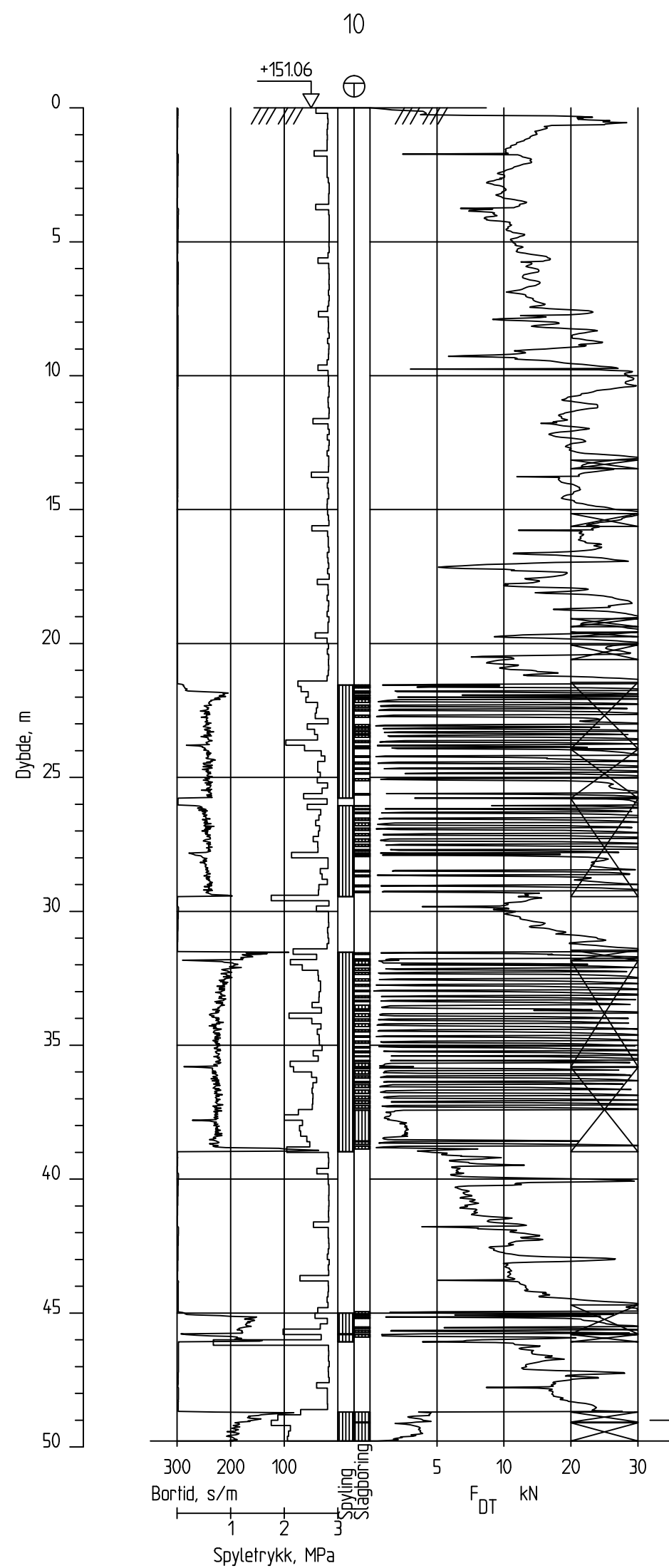


Totalsondering		Sonderingsnummer Børnehull 8
Follummoen GU		Målestokk $M = 1 : 200$
Fag RIG		Godejent JNHS
Format A3		Sidematrikkon. MSBO
Dato 25.05.2016	Oppdragsnr. A082437	Saksbehandler LAAN
Rev. A	Tegningsnr.	Rev. A



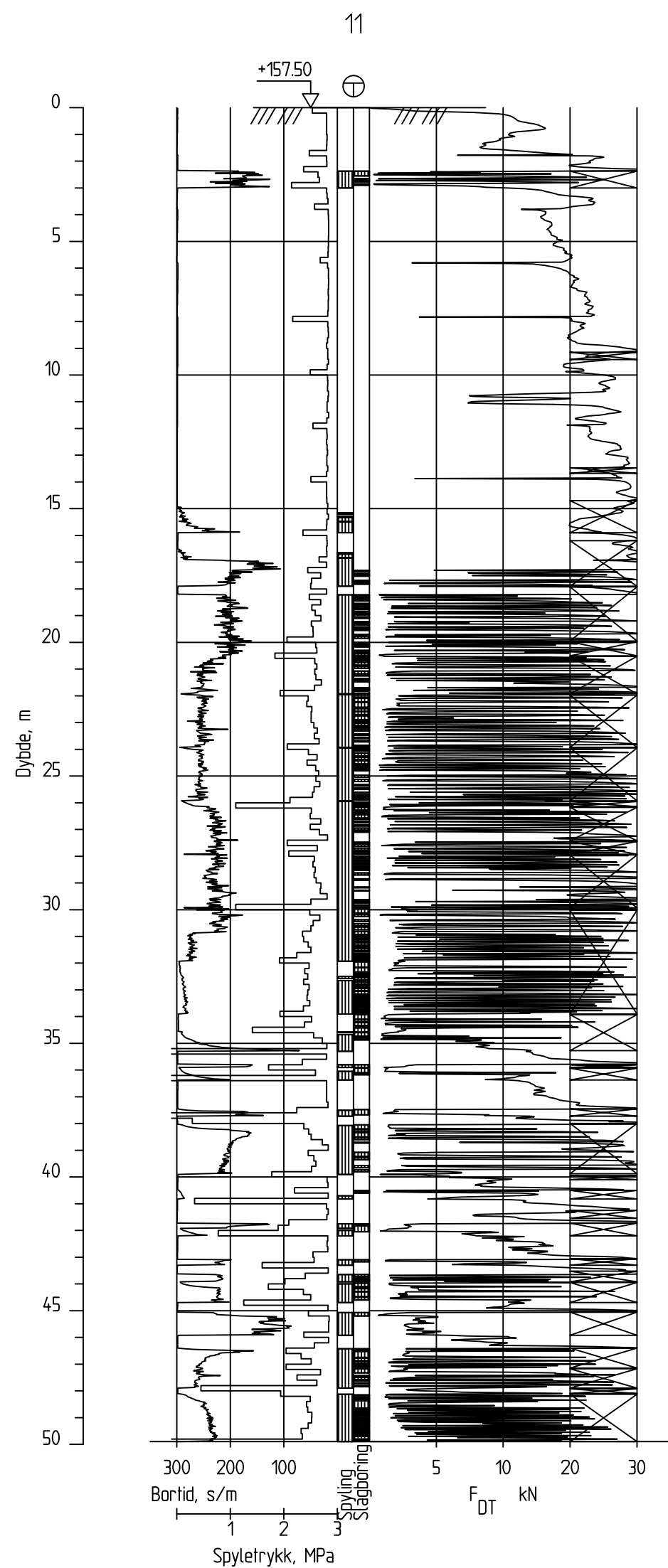
Dato boref :03.05.2016 Position: X 66773906.81 Y 568531.87

Totalsondering		Sonderingsnummer Borhull 9
Follummoen GU	Målestokk M = 1 : 200	Godekjent JNHS
Fag	RIG	Sidemanskjønnt: MSBO
Format	A3	Sakstehandler AAN
Dato	25.05.2016	Tegningstør:
Oppdragsgnr.	A082437	Rev:
		A



Dato boref :02.05.2016 Position: X 6673968.72 Y 568443.27

Totalsondering	
Sondningsnummer	Borhull 10
Målestokk	Godkjent
M = 1 : 200	JNHS
Fag	Sidemanskj.
RIG	MSBO
Format	Sakstehandler
A3	LÅAN
Oppdragsgnr:	Rev:
A082437	A



Dato boref: 27.04.2016 Position: X 6674150.97 Y 568186.20

Totalsondering

Sonderingsnummer
Borhull 11

Follummoen GU

Målestokk
 $M = 1 : 200$

Fag
RIG

Godkjent
JNHS

Format
A3

Sidemanskj.
MSBO

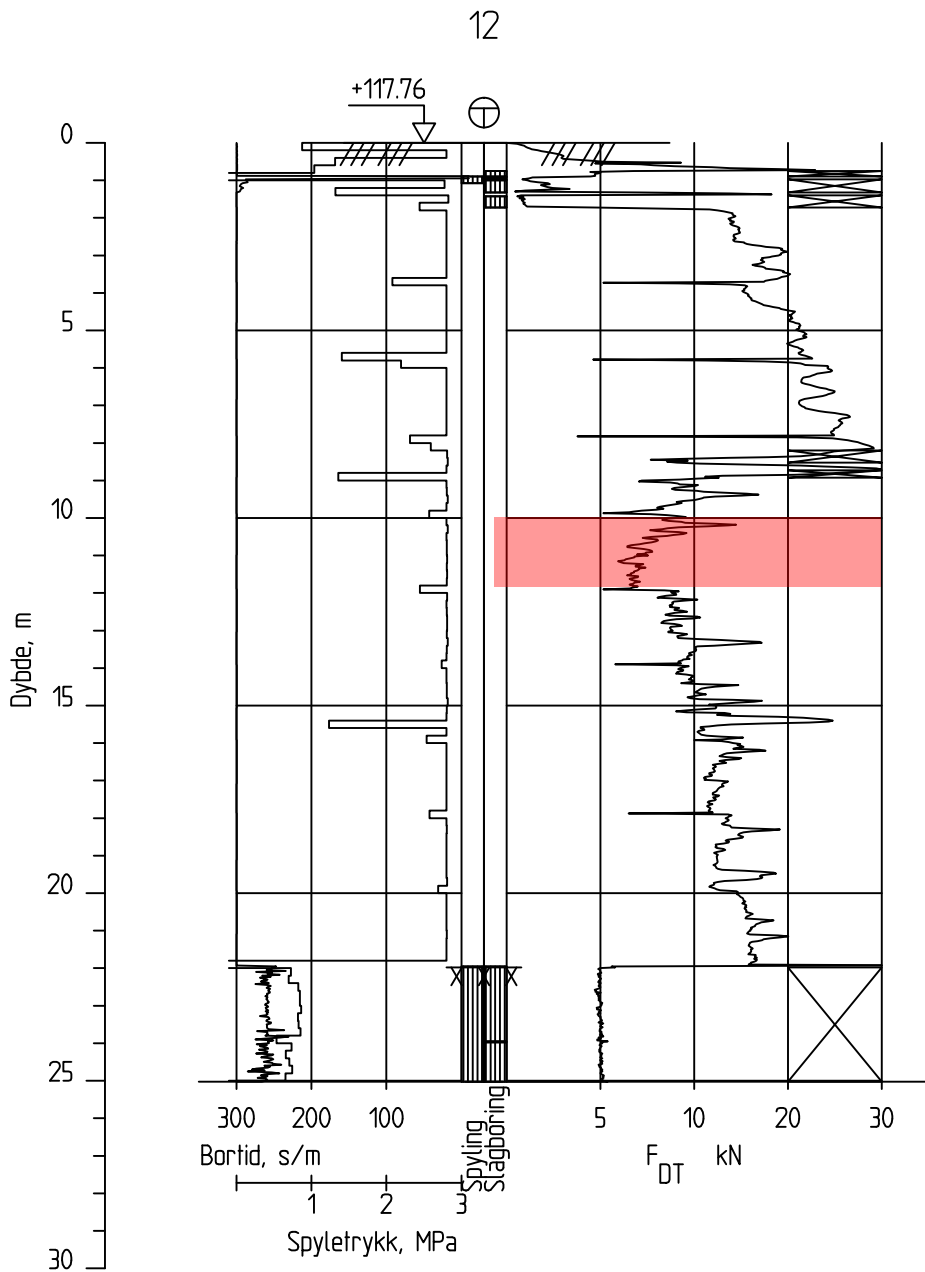
Dato
25.05.2016

Sakstehandler
LÅAN

Oppdragsgnr:
A082437

Tegningstnr:
Rev. A

COWI



Dato boret :09.05.2016

Posisjon: X 6674377.37 Y 569278.28

Totalsondering

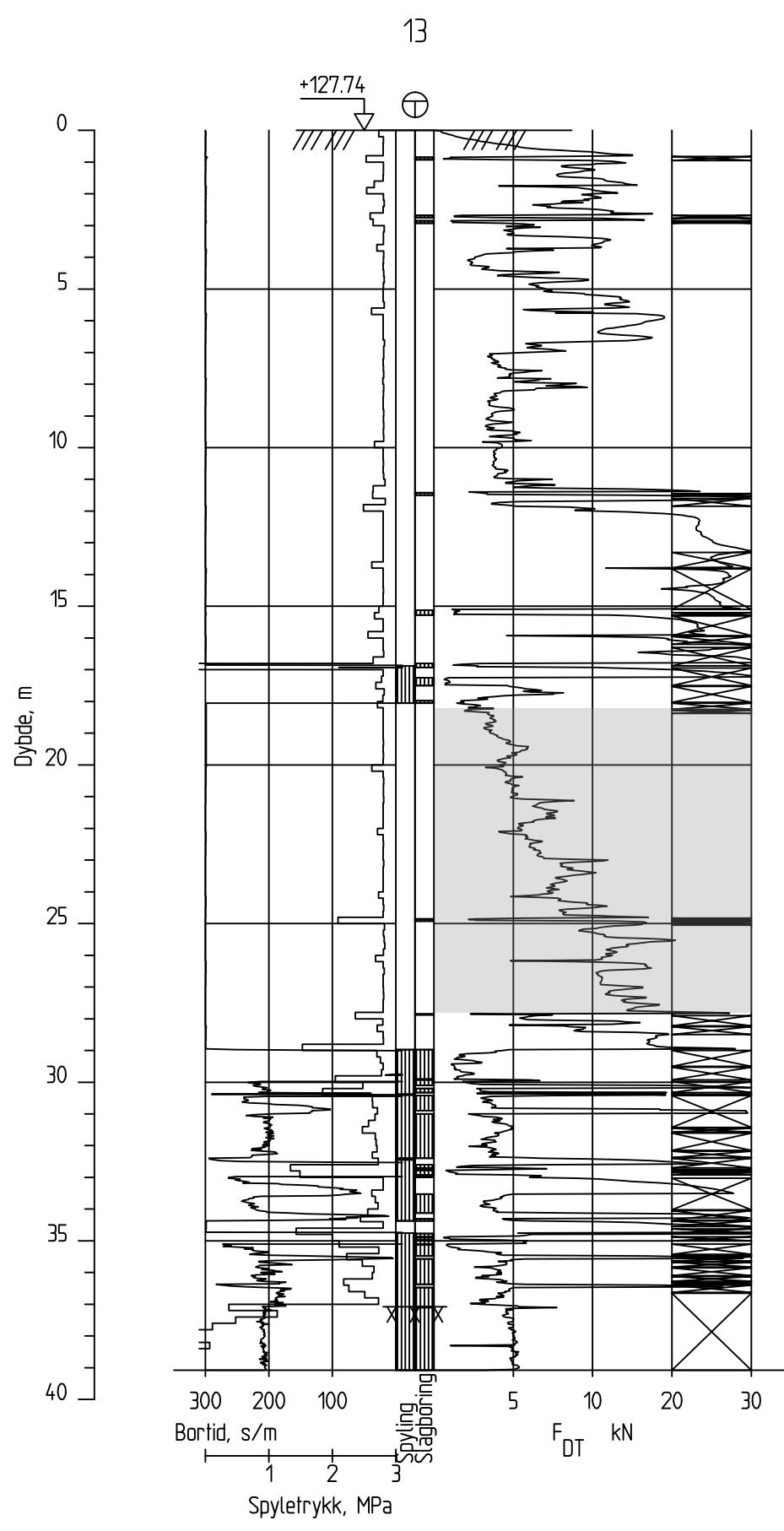
Sonderingsnummer
Borhull 12

Follummoen GU

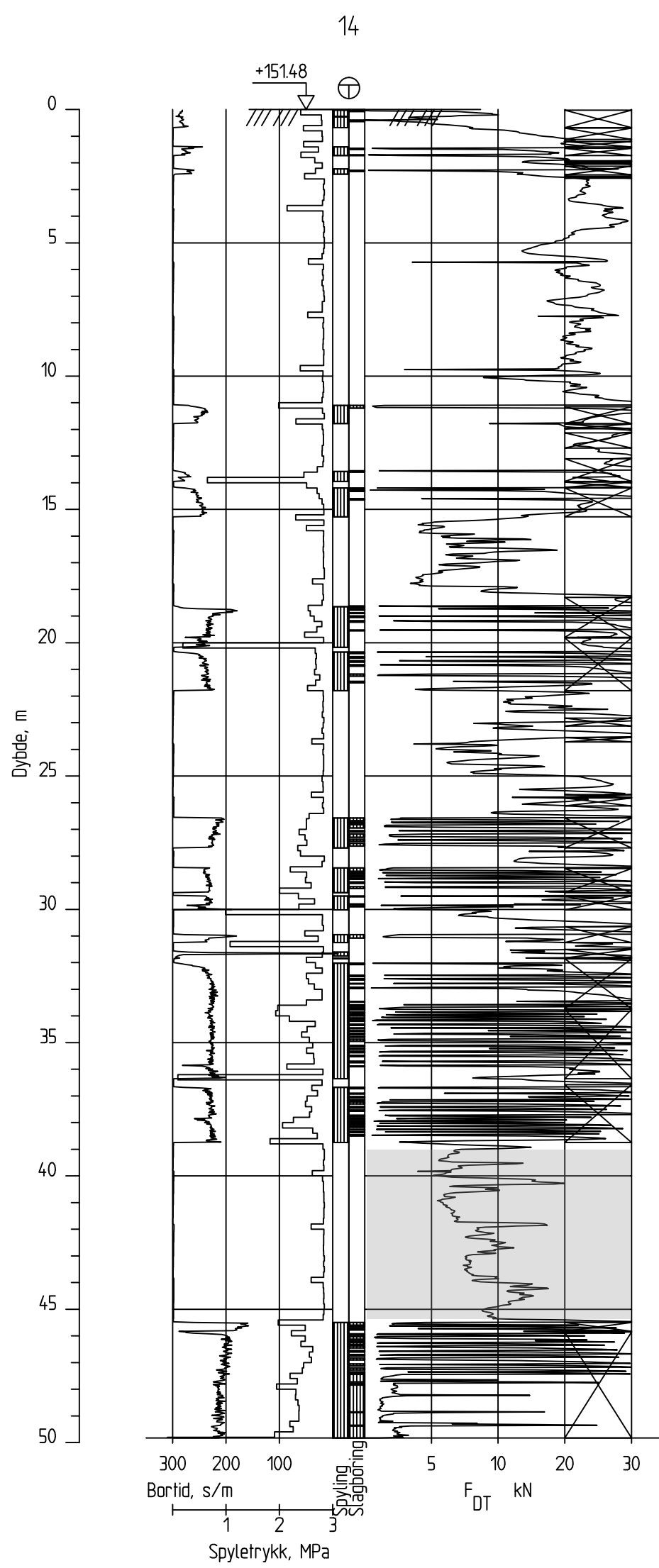
Målestokk M = 1 : 200	Godkjent JNHS
Fag RIG	Sidemanskj. MSBO

COWI

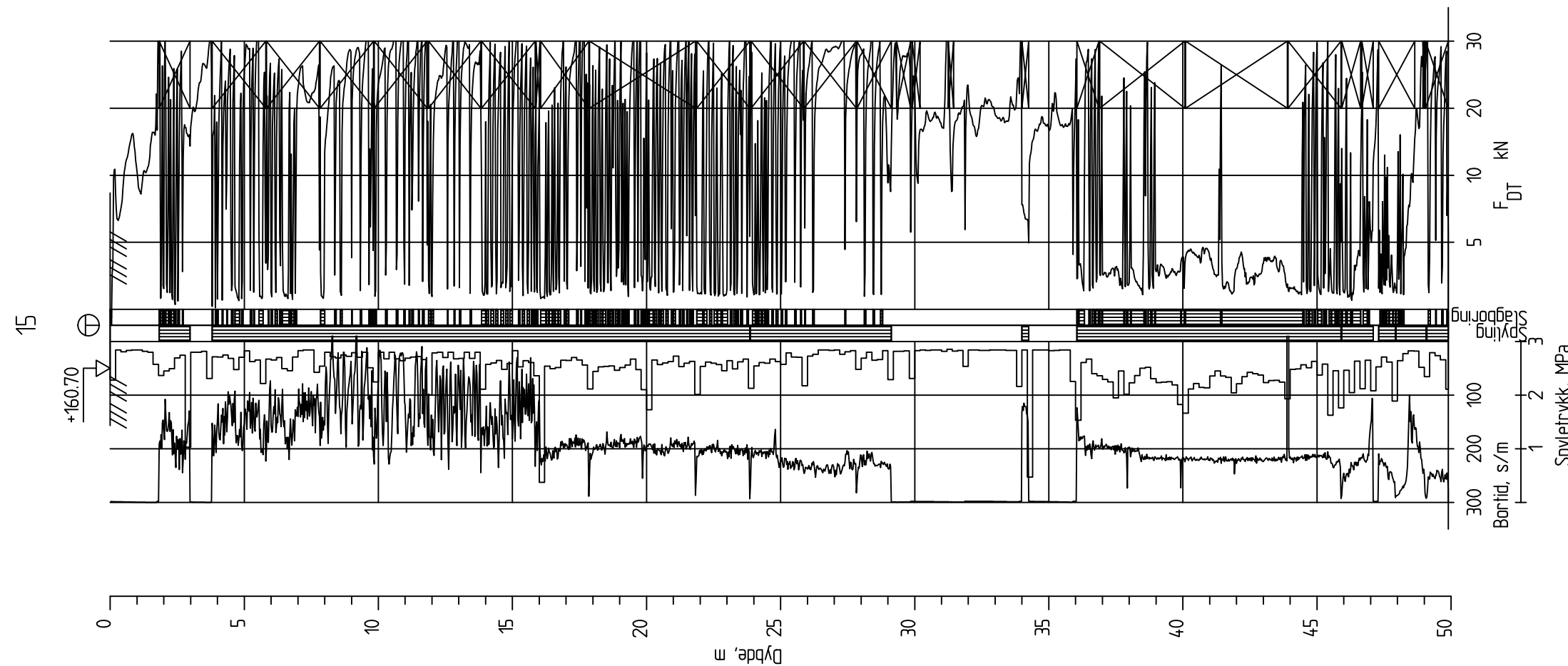
Dato 25.05.2016	Format A4	Saksbehandler LAAN
Oppdragsnr. A082437	Tegningsnr.	Rev. A



Dato boret:	02.05.2016	Posisjon:	X 6674239.77 Y 568851.86
Totalsondering			
Borhull	13	Sonderingstidspunkt	
Follummoen GU		Borhull	13
Målestokk	M = 1 : 200	Godekjent	JNHS
Fag	RIG	Sidemanskj.	MSBO
Format	A3	Sakstelslutter	LAN
Oppdragsgnr.	25.05.2016	Tegningstid:	
A082437		Rev:	A



Dato boref:	02.05.2016	Posisjon:	X 6674312.15 Y 568719.78
Totalsondering			
Borhull	14	Sonderingstid	00:00:00
Føllummoen GU		Borhull	14
Målestokk	M = 1 : 200	Godekjent	JNHS
Fag	RIG	Sidemanskj.	MSBO
Format	A3	Sakstehandler	ÅAN
Oppdragsgnr.	25.05.2016	Tegningstid:	
A082437		Rev:	A



Dato boret: 27.04.2016

Posisjon: X 6674491.42 Y 568346.67

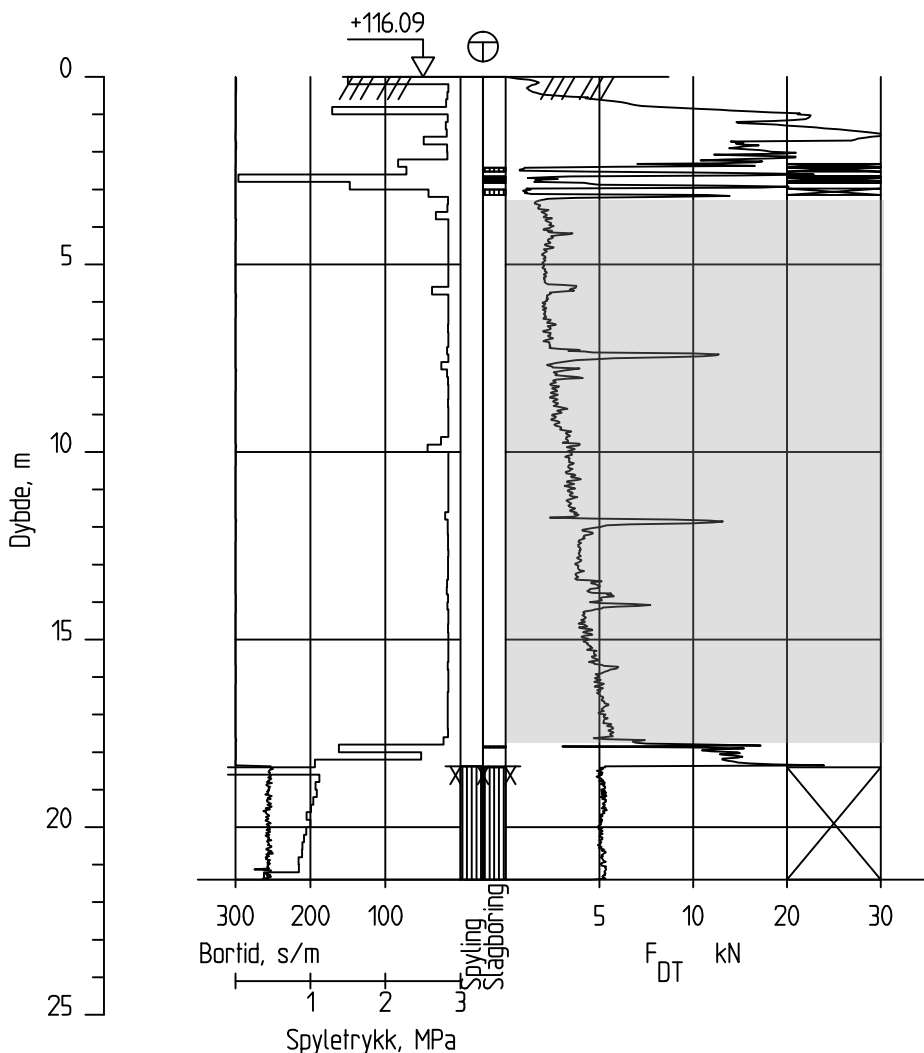
Totalsondering

Follummoen GU

COWI

Sonderingsnummer Borhull 15	
Målestokk M = 1 : 200	Godkjent JNHS
Fag RIG	Sidemanskjef. MSBO
Dato 25.05.2016	Format A3
Oppdragsnr. A082437	Tegningsnr. Rev. A

16



Dato boret :10.05.2016

Posisjon: X 6674188.23 Y 569247.09

Totalsondering

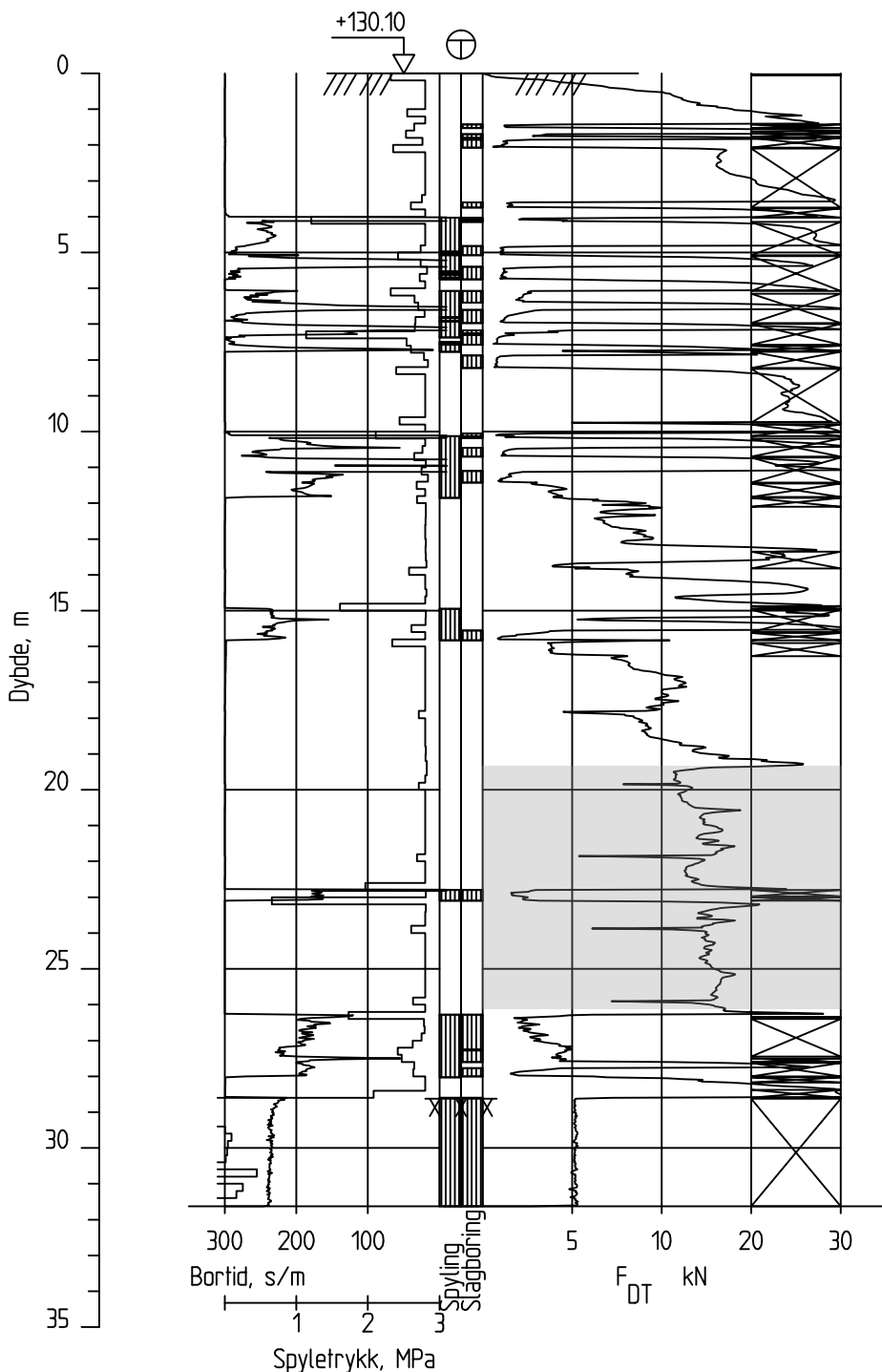
Sonderingsnummer
Borhull 16

Follummoen GU

Målestokk
M = 1 : 200
Godkjent
JNHSFag
RIG
Sidemanskj.
MSBO**COWI**Dato
25.05.2016
Oppdragsnr.
A082437Format
A4

Tegningsnr.

Saksbehandler
LAAN
Rev.
A



Dato boret :02.05.2016

Posisjon: X 6674332.30 Y 568942.58

Totalsondering

Sonderingsnummer
Borhull 17

Follummoen GU

Målestokk
M = 1 : 200Godkjent
JNHS

Fag

RIG

Sidemanskj.
MSBO**COWI**Dato
25.05.2016Format
A4Saksbehandler
LAAN

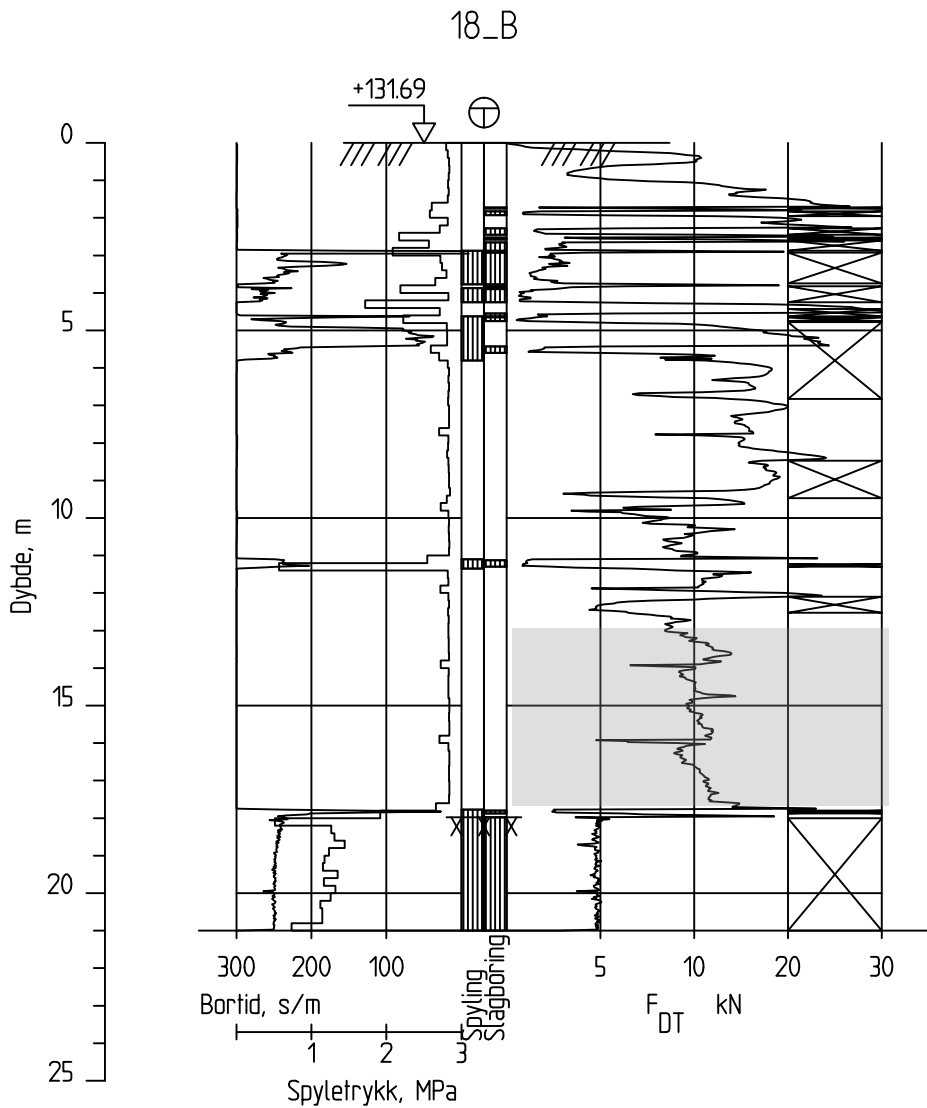
Oppdragsnr.

A082437

Tegningsnr.

Rev.

A



Dato boret :02.05.2016

Posisjon: X 6674567.60 Y 569118.11

Totalsondering

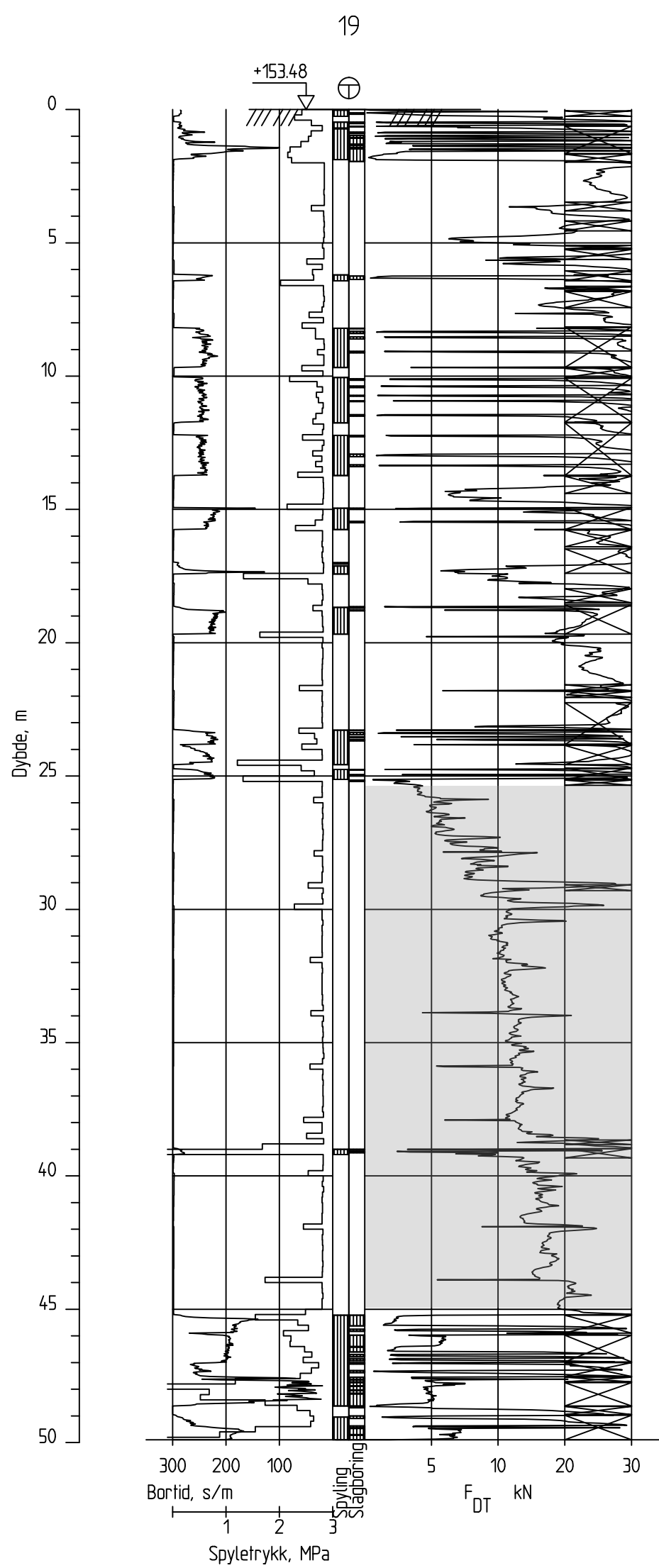
Sonderingsnummer
Borhull 18_B

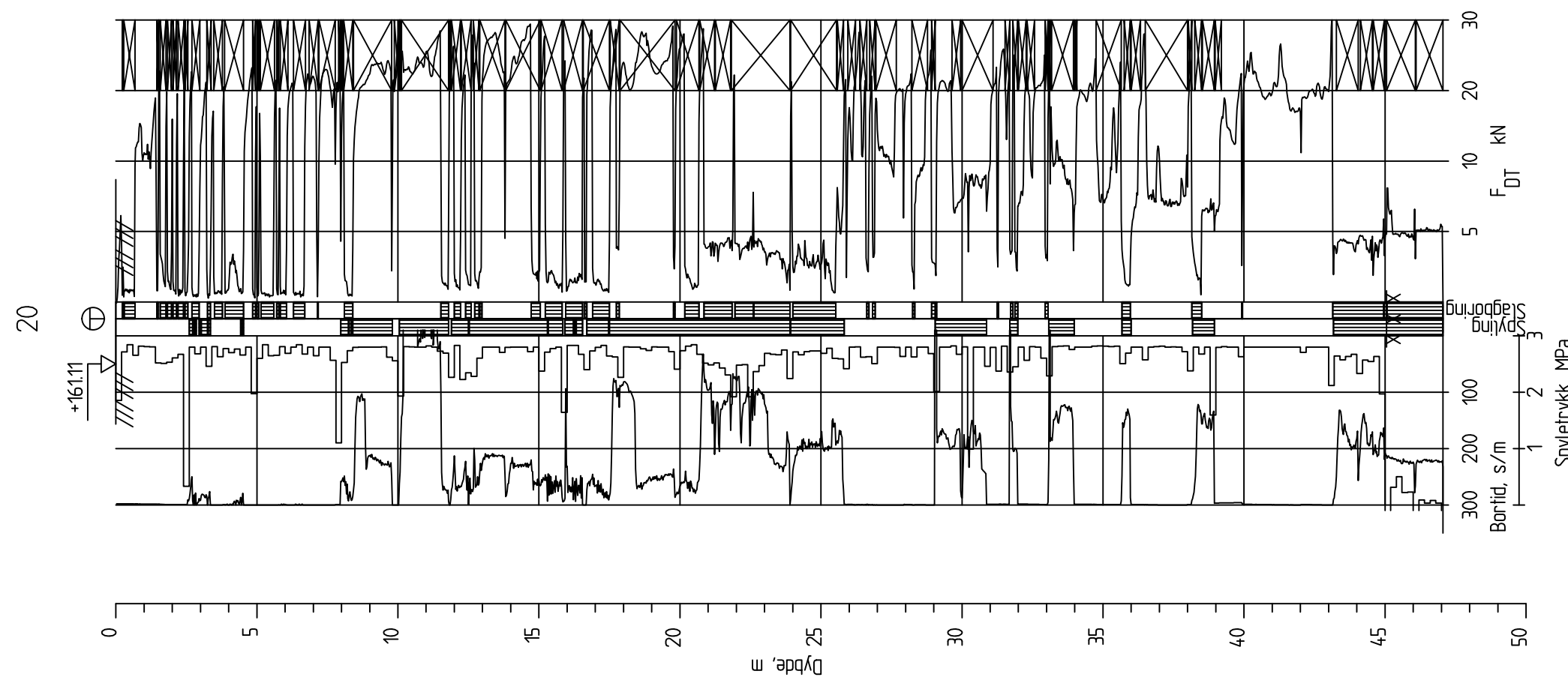
Follummoen GU

Målestokk M = 1 : 200	Godkjent JNHS
Fag RIG	Sidemanskj. MSBO

COWI

Dato 25.05.2016	Format A4	Saksbehandler LAAN
Oppdragsnr. A082437	Tegningsnr.	Rev. A





Dato boret: 27.04.2016

Posisjon: X 6674723.18 Y 568473.62

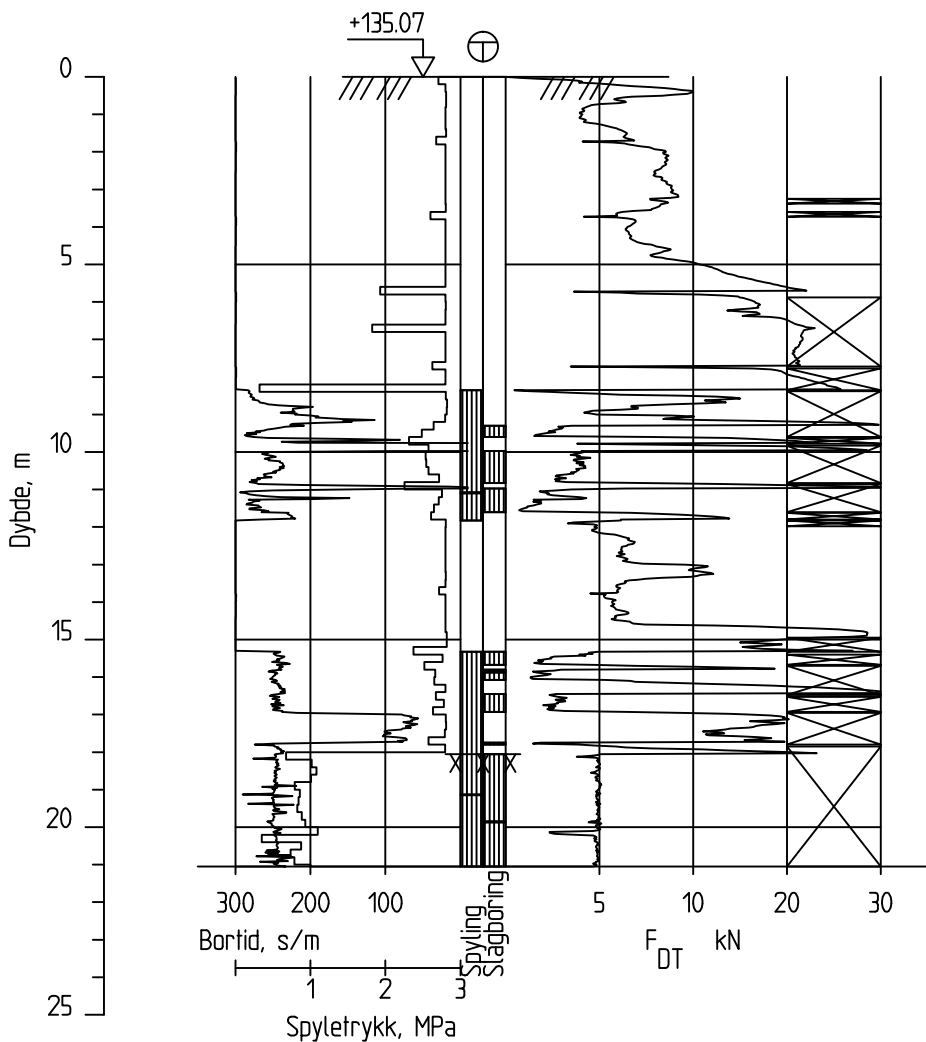
Totalsondering

Follummoen GU

COWI

Sonderingsnummer	
Borhull 20	
Målestokk	Godkjent
M = 1 : 200	JNHS
Fag	Sidemanskjef.
RIG	MSBO
Dato	Format
25.05.2016	A3
Oppdragsnr.	Saksbehandler
A082437	LAAN
Tegningsnr.	Rev.
	A

21



Dato boret :28.04.2016

Posisjon: X 6674768.57 Y 569137.88

Totalsondering

Sonderingsnummer
Borhull 21

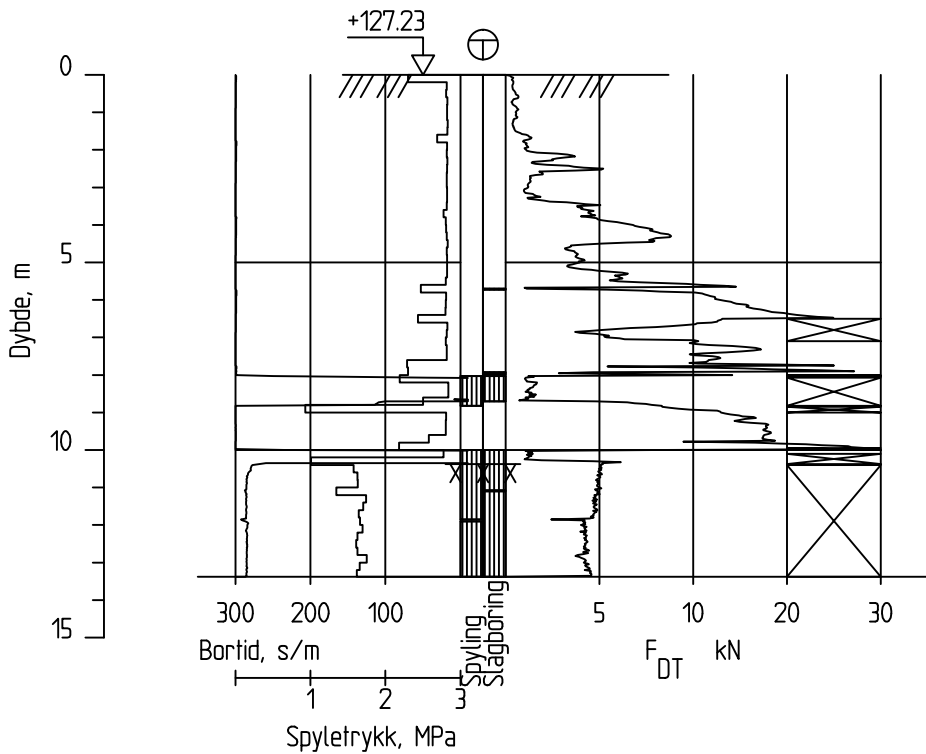
Follummoen GU

Målestokk
M = 1 : 200
Godkjent
JNHSFag
RIG
Sidemanskj.
MSBO**COWI**Dato
25.05.2016
Oppdragsnr.
A082437Format
A4

Tegningsnr.

Saksbehandler
LAAN
Rev.
A

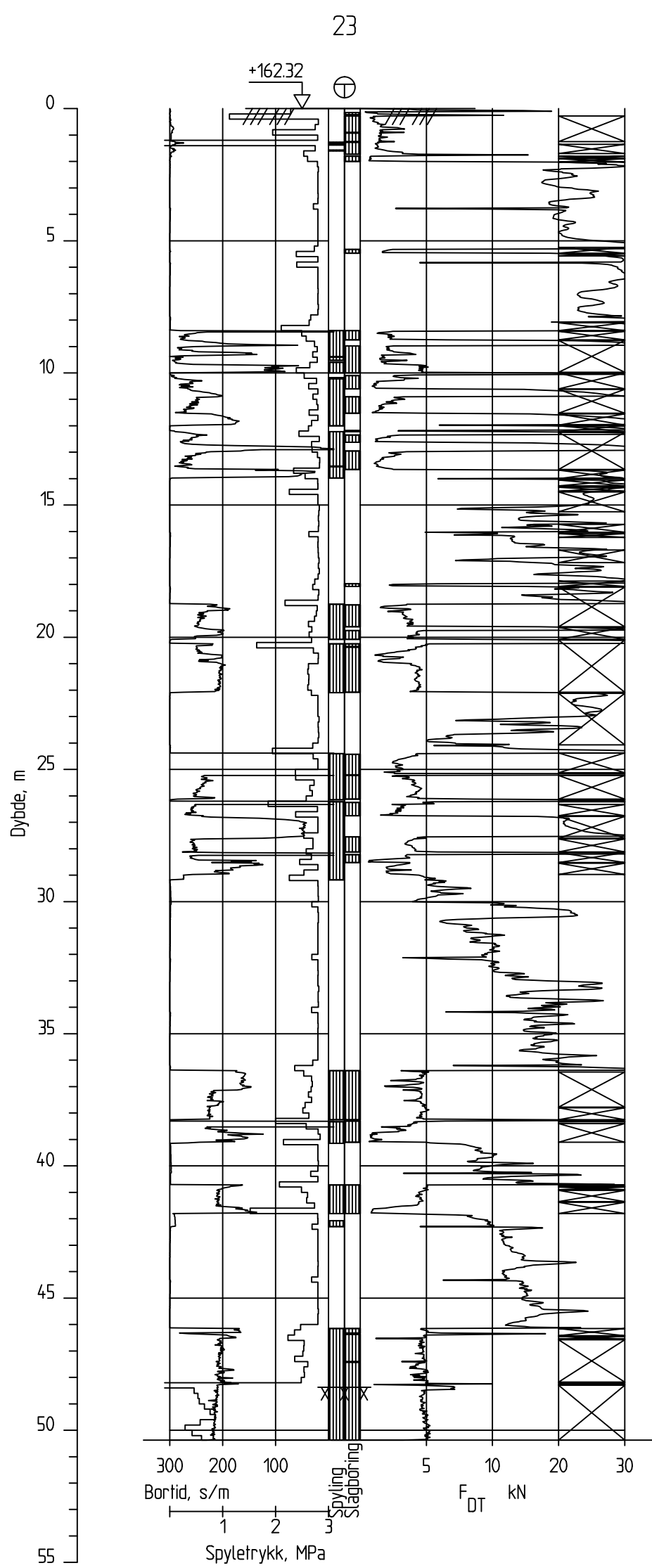
22



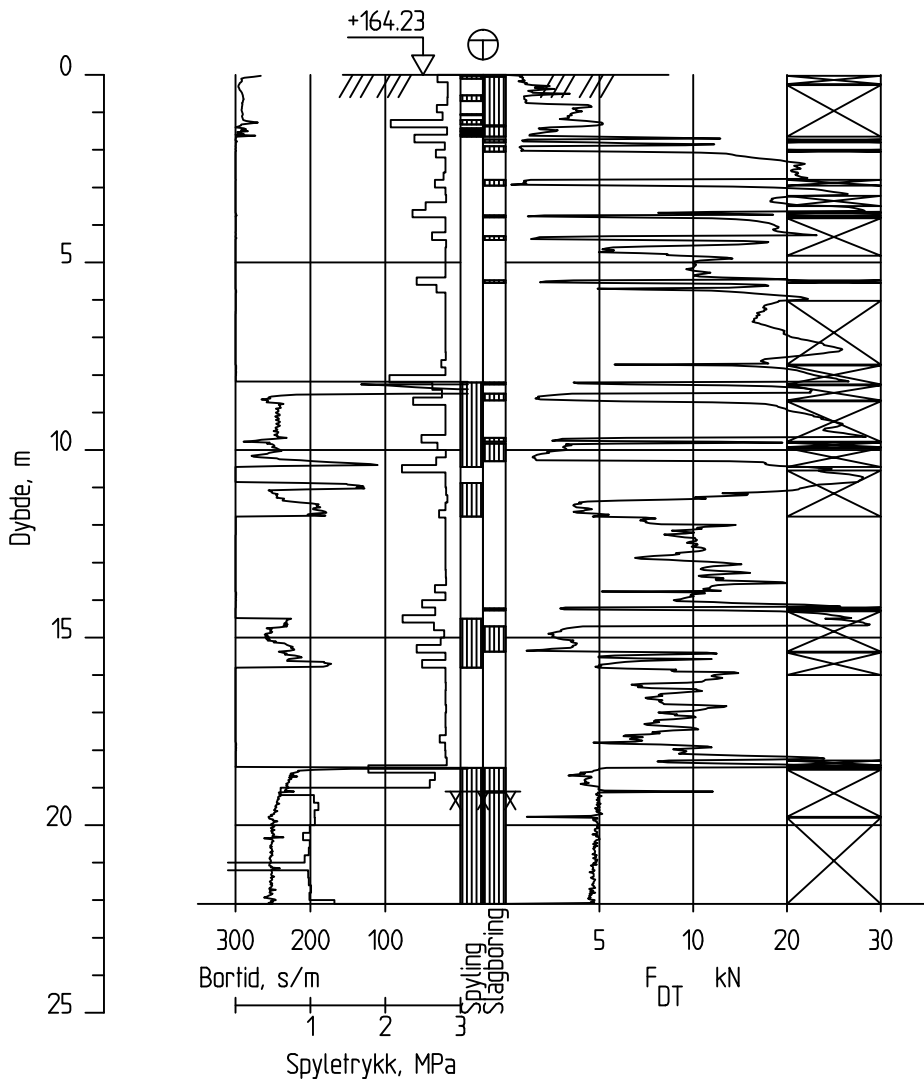
Dato boret :28.04.2016

Posisjon: X 6675059.24 Y 568734.38

Totalsondering		Sonderingsnummer Borhull 22	
Follummoen GU		Målestokk M = 1 : 200	Godkjent JNHS
		Fag RIG	Sidemanskj. MSBO
COWI	Dato 25.05.2016	Format A4	Saksbehandler LAAN
	Oppdragsnr. A082437	Tegningsnr.	Rev. A



Dato boref:	27.04.2016	Posisjon:	X 6675028.14 Y 568518.98
Totalsondering			
Follummoen GU	Sonderningsnummer Borhull 23	Målestokk $M = 1 : 200$	Godekjent JNHS
Rig	Sidemanskjønnt: MSBO	Fag	
A3	Sakstehandler LÅAN	Format	
Oppdragsgnr:	Tegningstnr:		Rev:
A082437			A



Dato boret :27.04.2016

Posisjon: X 6675292.19 Y 568501.75

Totalsondering

Sonderingsnummer
Borhull 24

Follummoen GU

Målestokk
 $M = 1 : 200$
Godkjent
JNHSFag
RIG
Sidemanskj.
MSBO**COWI**Dato
25.05.2016
Oppdragsnr.
A082437Format
A4

Tegningsnr.

Saksbehandler
LAAN
Rev.
A

Vedlegg 2

Piezometerliste, COWI 2016



Piezometerliste

PZ Nummer	Terregn-kote	Rørhøyde over terregn (meter)	Kote Topp Rør	Spissdybde (meter)	Spisskote	Innst. dato	Målt Dybde ¹ (meter)	Måledato	Målt kote Grunnvannstand
PZ 10	151,06	1,00	152,06	5,00	146,06	25.05.2016	Ikke vann i rør	12.02.2014	Ikke vann i rør
PZ 13	127,74	1,00	128,74	5,00	122,74	25.05.2016	3,00	12.02.2014	125,74
PZ 16	116,09	1,00	117,09	5,00	111,09	25.05.2016	0,90	12.02.2014	116,19

¹ Dybde er målt til vannstand fra topp rør

Vedlegg 3

Datarapport fra laboratorieundersøkelser, *Multiconsult 2016*



RAPPORT

Follummoen GU

OPPDAGSGIVER

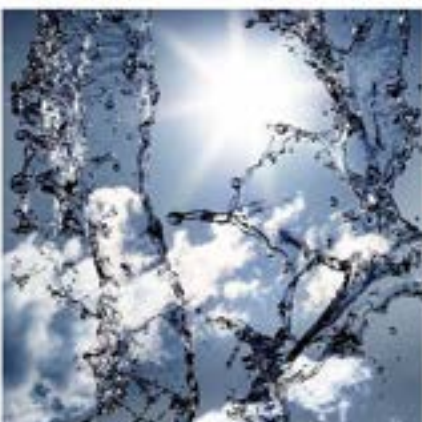
COWI

EMNE

Laboratorieundersøkelser

DATO / REVISJON: 19. juni 2016 / 00

DOKUMENTKODE: 129169-RIG-LAB-RAP-00



Multiconsult

Denne rapporten er utarbeidet av Multiconsult i egen regi eller på oppdrag fra kunde. Kundens rettigheter til rapporten er regulert i oppdragsavtalen. Tredjepart har ikke rett til å anvende rapporten eller deler av denne uten Multiconsults skriftlige samtykke.

Multiconsult har intet ansvar dersom rapporten eller deler av denne brukes til andre formål, på annen måte eller av andre enn det Multiconsult skriftlig har avtalt eller samtykket til. Deler av rapportens innhold er i tillegg beskyttet av opphavsrett. Kopiering, distribusjon, endring, bearbeidelse eller annen bruk av rapporten kan ikke skje uten avtale med Multiconsult eller eventuell annen opphavsrettshaver.

RAPPORT

OPPDRAG	Follummoen GU	DOKUMENTKODE	129169-RIG-LAB-RAP-00
EMNE	Laboratorieundersøkelser	TILGJENGELIGHET	Åpen
OPPDRAGSGIVER	COWI	OPPDRAGSLEDER	Grete Olaussen
KONTAKTPERSON	Jan Øyvind Holdhus	UTARBEIDET AV	Grete Olaussen
KOORDINATER	SONE: 32 ØST: 568370 NORD: 6674132	ANSVARLIG ENHET	1017 Oslo GeoLab
GNR./BNR./SNR.	50 / 294 / - / Ringerike		

SAMMENDRAG

Multiconsult er engasjert av COWI til å utføre laboratorieundersøkelser på prøver fra grunnundersøkelser utført av oppdragsgiver.

Foreliggende rapport beskriver utførelse og presenterer resultater fra utførte laboratorieundersøkelser

00	20.06.2016	Første utsendelse rapport	GEO	SIOR	GEO
REV.	DATO	BESKRIVELSE	UTARBEIDET AV	KONTROLLERT AV	GODKJENT AV

INNHOLDSFORTEGNELSE

1	Bakgrunn	5
2	Omfang av laboratorieundersøkelsen	5
3	Prosedyrer for gjennomføring.....	5
4	Resultater	6
4.1	Borpunkt 5	6
4.2	Borpunkt 6	6
4.3	Borpunkt 10	7
4.4	Borpunkt 13	7
4.5	Borpunkt 16	8
4.6	Borpunkt 19	8
4.7	Borpunkt 21	8
5	Tegningsliste.....	9
6	Vedlegg.....	9
6.1	Geotekniske bilag.....	9

1 Bakgrunn

Multiconsult AS har på oppdrag fra COWI utført laboratorieundersøkelser for oppdrag Follummoen GU. Det er utført rutineundersøkelser, kornfordelinger og organisk innhold. Prøvetakingen er utført av oppdragsgiver og prøvene ble levert til vårt laboratorium som poseprøver den 24.05.2016, bestilling av lab ble mottatt 30.05.2016.

2 Omfang av laboratorieundersøkelsen

Laboratorieundersøkelsen ble utført i perioden 06.-14.06.2016 og omfatter følgende undersøkelser:

Undersøkelse	Type	Antall	Merknad/avvik
Prøveåpning + vanninnhold	Poser	14	
Prøveåpning	Poser	45	Det ble også utført vanninnhold på disse prøvene og det er rapportert men oppdragsgiver blir ikke fakturerert for dette vanninnholdet.
Kornfordeling	Tørrsikting	9	
Kornfordeling	Våtsikting + slemming	8	
Kornfordeling	Kombianalyse	4	
Organisk innhold	Gløding	12	

3 Prosedyrer for gjennomføring

Multiconsult utfører sine laboratorieundersøkelser i henhold til Norsk standard NS 8000-serien, samt vår interne laboratoriehåndbok som er basert på denne. En oversikt over gjeldende standarder er vist i vedlegg 2.

Gjennomføringen av oppdraget er kvalitetssikret i henhold til Multiconsults styringssystem. Systemet er bygget opp med prosedyrer og beskrivelser som er dekkende for kvalitetsstandard NS-EN ISO 9000:2000.

4 Resultater

Laboratorieundersøkelsen er utført i henhold til avtalt omfang og følgende resultater er oppnådd:

4.1 Borpunkt 5

Beskrivelse	Pose nr	Del prøve	Dybde	Vann innhold	Omrørt	Utrulling	Flyte grense	Gjødeta p	Humus/ NaOH	Korn densitet
			z m	w %	curfc kN/m ²	wp	wf	O _{gl} %	O _{Na} %	r _s g/cm ³
TORV H5 m/plante- og trerester.	1	A	0,0-0,5	323,4					93,1	
SAND. Brun	2	A	0,5-1,0	12,5						
SAND. Enkelte gruskorn.	3	A	1,0-2,0	8,5						
SAND og GRUS	4	A	2,0-3,0	5,5				0,6		
SAND,grusig	5	A	3,0-4,0	10,3						
MATERIALE, sandig, siltg, grusig, leirig.	6	A	4,0-5,0	14,4						
LEIRE, siltig iblandet sand.	7	A	5,0-6,0	16,0						
LEIRE; siltig, sandig iblandet gruskorn.	8	A	6,0-7,0	17,2						
LEIRE, siltig grusig.	9	A	7,0-8,0	21,2						
SAND, siltig, noe leirig.	10	A	9,0-10,0	17,0						

4.2 Borpunkt 6

Beskrivelse	Pose nr	Del prøve	Dybde	Vann innhold	Omrørt	Utrulling	Flyte grense	Gjødeta p	Humus/ NaOH	Korn densitet
			z m	w %	curfc kN/m ²	wp	wf	O _{gl} %	O _{Na} %	r _s g/cm ³
SAND. m/enkelte gruskorn, uren.	1	A	0,0-1,0	6,4						
SAND. m/enkelte gruskorn, uren.	2	A	1,0-2,0	8,0						
SAND. m/enkelte gruskorn, uren.	3	A	2,0-3,0	7,1						
SAND, grusig.	4	A	3,0-4,0	6,8				0,4		
SAND	5	A	4,0-5,0	9,0						
SAND, grusig	6	A	5,0-6,0	9,4						
SAND, grusig	7	A	6,0-7,0	15,4						
SAND	8	A	7,0-8,0	19,0						
SAND	9	A	8,0-9,0	17,1						
SAND	10	A	9,0-10,0	16,9						

4.3 Borpunkt 10

Beskrivelse	Pose nr	Del prøve	Dybde	Vann innhold	Omrørt	Utrulling	Flyte grense	Glødeta p	Humus/ NaOH	Korn densitet
			z	w	curfc	wp	wf	O _{gl}	O _{Na}	r _s
			m	%	kN/m ²			%	%	g/cm ³
SAND, siltg, grusig m/rothår og humus.	1	A	0,0-1,0	15,9				3,2		
SAND. Ren	2	A	1,0-2,0	5,5						
SAND. Ren	3	A	2,0-3,0	5,5						
SAND. Ren	4	A	3,0-4,0	7,6						
SAND. Fin enkelte siltklumper.	5	A	4,0-5,0	14,0						
SAND. Ren	6	A	5,0-6,0	8,1						
MATERIALE, grusig, sandig. Ren	7	A	6,0-7,0	6,4						
SAND. Ren	8	A	7,0-8,0	6,4				0,2		
SAND. Ren	9	A	8,0-9,0	6,3						
SAND. Ren	10	A	9,0-10,0	8,5						

4.4 Borpunkt 13

Beskrivelse	Pose nr	Del prøve	Dybde	Vann innhold	Omrørt	Utrulling	Flyte grense	Glødeta p	Humus/ NaOH	Korn densitet
			z	w	curfc	wp	wf	O _{gl}	O _{Na}	r _s
			m	%	kN/m ²			%	%	g/cm ³
SAND, grusig	1	A	0,0-1,0	18,3				1,7		
SAND. Grov m/enkelte gruskorn, uren	2	A	1,0-2,0	17,7						
MATERIALE, sandig, grusig	3	A	2,0-3,0	12,7						
SILT blandet med noe leire	4	A	3,0-4,0	22,5				0,5		
SILT blandet med noe leire	5	A	4,0-5,0	21,7						
SILT, sandig, leirig	6	A	5,0-6,0	21,2						
SILT	7	A	6,0-7,0	17,7				0,2		
SILT, sandig, leirig. Med enkelte gruskorn	8	A	7,0-8,0	21,9						
SILT, sandig, leirig. Med en del gruskorn	9	A	8,0-9,0	17,0						
MATERIALE, grusig, siltig, sandig	10	A	9,0-10,0	14,5						

4.5 Borpunkt 16

Beskrivelse	Pose nr	Del prøve	Dybde	Vann innhold	Omrørt	Utrulling	Flyte grense	Glødetap	Humus/ NaOH	Korn densitet
			z	w	curfc	wp	wf	O _{gl}	O _{Na}	r _s
			m	%	kN/m ²			%	%	g/cm ³
SILT, sandig uren	1	A	0,0-1,0	27,8					1,2	
SILT, sandig uren	2	A	1,0-2,0	27,2						
SILT	3	A	2,0-3,0	20,7						
SILT, leirig	4	A	3,0-4,0	14,8						
LEIRE, siltig m/enkelte sand- og gruskorn	5	A	4,0-5,0	24,2						
LEIRE, siltig	6	A	5,0-6,0	24,3					0,6	
LEIRE, siltig med enkelte sand- og gruskorn	7	A	6,0-7,0	25,1						
LEIRE, siltig	8	A	7,0-8,0	24,8						

4.6 Borpunkt 19

Beskrivelse	Pose nr	Del prøve	Dybde	Vann innhold	Omrørt	Utrulling	Flyte grense	Glødetap	Humus/ NaOH	Korn densitet
			z	w	curfc	wp	wf	O _{gl}	O _{Na}	r _s
			m	%	kN/m ²			%	%	g/cm ³
SAND, siltig, grusig. Uren	1	A	0,0-1,0	5,5						
SAND, siltig, grusig. Uren	2	A	1,0-2,0	5,3						
MATERIALE, sandig, siltig	3	A	2,0-3,0	16,2						

4.7 Borpunkt 21

Beskrivelse	Pose nr	Del prøve	Dybde	Vann innhold	Omrørt	Utrulling	Flyte grense	Glødetap	Humus/ NaOH	Korn densitet
			z	w	curfc	wp	wf	O _{gl}	O _{Na}	r _s
			m	%	kN/m ²			%	%	g/cm ³
GRUS, sandig. Uren	1	A	0,0-1,0	2,8					0,6	
SAND	2	A	1,0-2,0	14,5						
SAND. Fin	3	A	2,0-3,0	14,8						
SAND. Fin	4	A	3,0-4,0	5,8						
SAND. Fin	5	A	4,0-5,0	23,3						
SAND/SILT	6	A	5,0-6,0	19,4						
SILT, sandig, leirig	7	A	6,0-7,0	19,6					0,5	
SILT, leirig	8	A	7,0-8,0	17,4						

5 Tegningsliste

129169-10	Geotekniske data, borpunkt 5
129169-11	Geotekniske data, borpunkt 6
129169-12	Geotekniske data, borpunkt 10
129169-13	Geotekniske data, borpunkt 13
129169-14	Geotekniske data, borpunkt 16
129169-15	Geotekniske data, borpunkt 19
129169-16	Geotekniske data, borpunkt 21
129169-60	Kornfordelingskurver, borpunkt 5
129169-61	Kornfordelingskurver, borpunkt 6
129169-62	Kornfordelingskurver, borpunkt 10
129169-63	Kornfordelingskurver, borpunkt 13
129169-64	Kornfordelingskurver, borpunkt 16
129169-65	Kornfordelingskurver, borpunkt 19
129169-66	Kornfordelingskurver, borpunkt 21

6 Vedlegg

6.1 Geotekniske bilag

1. Terminologi for laboratorieundersøkelser
2. Oversikt over metodestandarder

Dybde (m)	Beskrivelse	Prøve kt. +	Test	Vanninnhold (%) og konsistensgrenser					ρ (g/cm ³)	Porositet (%)	Organisk innhold (%)	Udrenert skjærfasthet (kPa)					S _t (-)
				10	20	30	40	50				10	20	30	40	50	
5	TORV H5								323		93,1						
	SAND med planter og trerester		K		O												
	SAND brun			O													
	SAND enkelte gruskorn			O													
	SAND, GRUS			O													
	SAND, grusig			O													
	MATERIALE, sandig, siltig, grusig, leirig		K		O												
	LEIRE, siltig iblandet sand			O													
	LEIRE, siltig, sandig iblandet gruskorn			O													
	LEIRE, siltig, grusig		K		O												
10	SAND, siltig noe leirig			O													
15																	
20																	

Symboler



Enaksialforsøk (strek angir deformasjon (%) ved brudd)

O Vanninnhold

▼ Omrørt konus

Ø = Densitet

T = Treaksialforsøk

ρ_s : 2.75 g/cm³

— Plastisitetsindeks, I_p

▽ Uomrørt konus

S_t = Sensitivitet

Ø = Ødometerforsøk

Grunnvannstand: m

K = Korngradering

Borbok: COWI

Lab-bok: DLB

PRØVESERIE

Borhull

5

COWI

Dato
2016-06-19

Follummoen GU

Multiconsult
www.multiconsult.no

Konstr./Tegnet
METS

Kontrollert.
GEO

Godkjent:
GEO

Oppdragsnr.:
129169

Tegningsnr.

10

Rev nr.:
00

Dybde (m)	Beskrivelse	Prøve kt. +	Test	Vanninnhold (%) og konsistensgrenser					ρ (g/cm ³)	Porositet (%)	Organisk innhold (%)	Udrenert skjærfasthet (kPa)					S_t (-)
				10	20	30	40	50				10	20	30	40	50	
5	SAND	enkelte gruskorn, uren	K	O						0,4							
	SAND	enkelte gruskorn, uren	K	O													
	SAND	enkelte gruskorn, uren	K	O													
	SAND, grusig		K	O													
	SAND		K	O													
	SAND, grusig		K	O													
	SAND, grusig		K	O													
	SAND		K	O													
	SAND		K	O													
	SAND		K	O													
10																	
15																	
20																	

Symboler


10

5

○ Vanninnhold ▼ Omrørt konus ρ = Densitet T = Treaksialforsøk

─ Plastisitetsindeks, I_p ▽ Uomrørt konus S_t = Sensitivitet Ø = Ødometerforsøk

■ Borbok: COWI Lab-bok: DLB

ρ_s : 2.75 g/cm³

Grunnvannstand: m

Borbok: COWI

Lab-bok: DLB

PRØVESERIE

Borhull

6

COWI

Dato
2016-06-19

Follummoen GU

Multiconsult
www.multiconsult.no

Konstr./Tegnet
METS

Oppdragsnr.:
129169

Kontrollert.
GEO

Tegningsnr.
11

Godkjent:
GEO

Rev nr.:
00

Dybde (m)	Beskrivelse	Prøve kt. +	Test	Vanninnhold (%) og konsistensgrenser					ρ (g/cm ³)	Porositet (%)	Organisk innhold (%)	Udrenert skjærfasthet (kPa)					S_t (-)
				10	20	30	40	50				10	20	30	40	50	
5	SAND, siltig, grusig med rothår og humus		K		O					3,2							
	SAND ren		K	O													
	SAND ren		K	O													
	SAND ren		K	O													
	SAND fin, enkelte siltklumper		K	O													
	SAND ren		K	O													
	MATERIALE, grusig, sandig		K	O													
	SAND ren		K	O													
	SAND ren		K	O													
	SAND ren		K	O													
10										0,2							
15																	
20																	

Symboler

 Enaksialforsøk (strek angir deformasjon (%) ved brudd)
 Vanninnhold  Omrørt konus  Ø = Ødometerforsøk
 Plastisitetsindeks, I_p  Uomrørt konus  T = Treaksialforsøk
 ρ = Densitet  K = Korngradering
 S_t = Sensitivitet  Grunnvannstand: m
 Borbok: COWI
 Lab-bok: DLB

PRØVESERIE

Borhull

10

COWI

Dato
2016-06-19

Follummoen GU

Multiconsult
www.multiconsult.no

Konstr./Tegnet
METS
Oppdragsnr.:
129169

Kontrollert.
GEO
Tegningsnr.:
12

Godkjent:
GEO
Rev nr.:
00

Dybde (m)	Beskrivelse	Prøve kt. +	Test	Vanninnhold (%) og konsistensgrenser					ρ (g/cm ³)	Porositet (%)	Organisk innhold (%)	Udrenert skjærfasthet (kPa)					S_t (-)
				10	20	30	40	50				10	20	30	40	50	
5	SAND, grusig		K		O						1.7						
	SAND		K		O												
	grov, enkelte gruskorn, uren		K		O												
	MATERIALE, sandig, grusig		K														
	SILT		K			O					0.5						
	iblandet noe leire		K			O											
	SILT		K			O											
	iblandet noe leire		K			O											
	SILT, sandig, leirig		K			O											
10	SILT		K			O					0.2						
	SILT, sandig, leirig		K			O											
	med enkelte gruskorn		K			O											
	SILT, sandig, leirig		K			O											
	med en del gruskorn		K			O											
15	MATERIALE, grusig, siltig, sandig		K			O											
20																	

Symboler

 Enaksialforsøk (strek angir deformasjon (%) ved brudd)
 Vanninnhold  Omrørt konus ρ = Densitet
 Plastisitetsindeks, I_p  Uomrørt konus S_t = Sensitivitet
 T = Treaksialforsøk ρ_s : 2.75 g/cm³
 \emptyset = Ødmeterforsøk Grunnvannstand: m
 K = Korngradering Borbok: COWI
Lab-bok: DLB

PRØVESERIE

Borhull

13

COWI

Dato
2016-06-19

Follummoen GU

Multiconsult
www.multiconsult.no

Konstr./Tegnet
METS
Oppdragsnr.:
129169

Kontrollert.
GEO
Tegningsnr.
13

Godkjent:
GEO
Rev nr.:
00

Dybde (m)	Beskrivelse	Prøve kt. +	Test	Vanninnhold (%) og konsistensgrenser					ρ (g/cm ³)	Porositet (%)	Organisk innhold (%)	Udrenert skjærfasthet (kPa)					S_t (-)
				10	20	30	40	50				10	20	30	40	50	
5	SILT, sandig	uren				O			1,2	0,6	0,6						(-)
	SILT, sandig					O											
	SILT					O											
	SILT, leirig		K		O												
	LEIRE, siltig med enkelte sand og gruskorn		K			O											
	LEIRE, siltig		K			O											
	LEIRE, siltig med enkelte sand og gruskorn		K			O											
	LEIRE, siltig		K			O											
10																	
15																	
20																	

Symboler



Enaksialforsøk (strek angir deformasjon (%)) ved brudd

○ Vanninnhold

— Plastisitetsindeks, I_p



Omrørt konus



Uomrørt konus

ρ = Densitet

S_t = Sensitivitet

T = Treaksialforsøk

\emptyset = Ødometerforsøk

K = Korngradering

ρ_s : 2.75 g/cm³

Grunnvannstand: m

Borbok: COWI

Lab-bok: DLB

PRØVESERIE

Borhull

16

COWI

Dato
2016-06-19

Follummoen GU

Multiconsult
www.multiconsult.no

Konstr./Tegnet

METS

Kontrollert.

GEO

Godkjent:

GEO

Oppdragsnr.: 129169

Tegningsnr.

14

Rev nr.:

00

Dybde (m)	Beskrivelse	Prøve kt. +	Test	Vanninnhold (%) og konsistensgrenser					ρ (g/cm ³)	Porositet (%)	Organisk innhold (%)	Udrenert skjærfasthet (kPa)					S_t (-)
				10	20	30	40	50				10	20	30	40	50	
5	SAND, siltig, grusig uren		K	○													
10	SAND, siltig, grusig uren			○													
15	MATERIALE, sandig, siltig				○												
20																	

Symboler

 Enaksialforsøk (strek angir deformasjon (%) ved brudd)
 Vanninnhold  Omrørt konus ρ = Densitet
 Plastisitetsindeks, I_p  Uomrørt konus S_t = Sensitivitet
 T = Treaksialforsøk ρ_s : 2.75 g/cm³
 \varnothing = Ødometerforsøk Grunnvannstand: m
K = Korngradering Borbok: COWI
Lab-bok: DLB

PRØVESERIE

Borhull 19

COWI

Dato
2016-06-19

Follummoen GU

Multiconsult
www.multiconsult.no

Konstr./Tegnet
METS
Oppdragsnr.:
129169

Kontrollert.
GEO
Tegningsnr.
15

Godkjent:
GEO
Rev nr.:
00

Dybde (m)	Beskrivelse	Prøve kt. +	Test	Vanninnhold (%) og konsistensgrenser					ρ (g/cm ³)	Porositet (%)	Organisk innhold (%)	Udrenert skjærfasthet (kPa)					S_t (-)
				10	20	30	40	50				10	20	30	40	50	
5	GRUS, sandig	uren	O						0.6	0.6	0.6						(-)
	SAND		K		Ø												
	SAND		fin		Ø												
	SAND		fin		Ø												
	SAND		fin		K		Ø										
	SAND/SILT				Ø				0.5	0.5	0.5						
	SILT, sandig, leirig		K		Ø												
	SILT, leirig				Ø												
10																	
15																	
20																	

Symboler



Enaksialforsøk (strek angir deformasjon (%)) ved brudd

○ Vanninnhold

▼ Omrørt konus

ρ = Densitet

T = Treaksialforsøk

ρ_s : 2.75 g/cm³

— Plastisitetsindeks, I_p

▽ Uomrørt konus

S_t = Sensitivitet

Ø = Ødometerforsøk
K = Korngradering

Grunnvannstand: m
Borbok: COWI
Lab-bok: DLB

PRØVESERIE

Borhull

21

COWI

Dato
2016-06-19

Follummoen GU

Multiconsult
www.multiconsult.no

Konstr./Tegnet
METS

Kontrollert.
GEO

Godkjent:
GEO

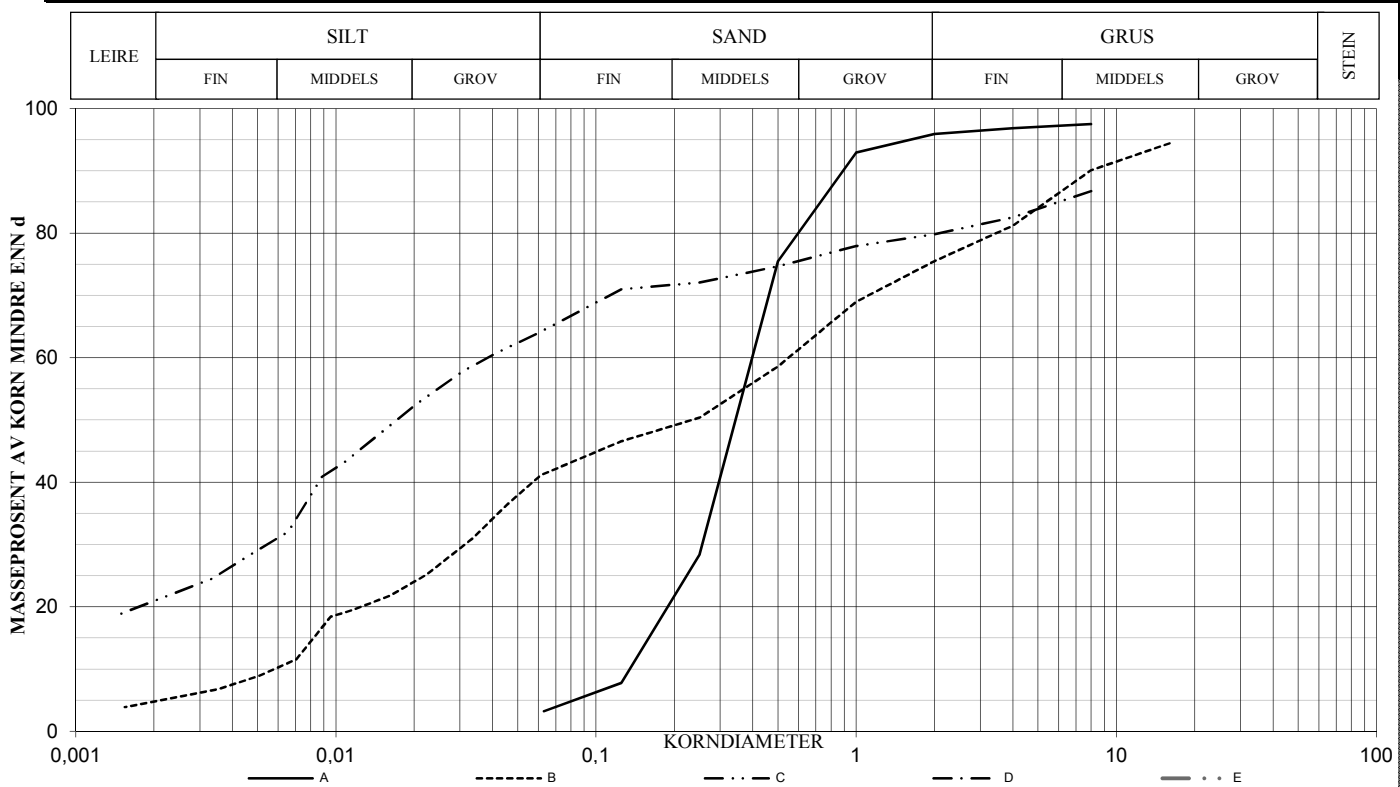
Oppdragsnr.:
129169

Tegningsnr.

Rev nr.:
16

00

SYMBOL	SERIE NR.	Dybde (m)	JORDARTS BETEGNELSE	Anmerkninger	METODE		
					TS	VS	HYD
A	5	0,5-1,0	SAND		X		
B	5	4,0-5,0	MATERIALE, sandig, siltig, grusig, leirig			X	X
C	5	7,0-8,0	LEIRE, siltig, grusig			X	X
D							
E							



SYMBOL:

Ogl. = Glødetap (%)

Ona. = Humusinnhold (%)

Perm. = Permeabilitet (m/s)

$$C_z = \frac{D_{30}^2}{(D_{60})(D_{10})}$$

$$C_u = \frac{D_{60}}{D_{10}}$$

METODE:

TS = Tørr sikt

VS = Våt sikt

HYD = Hydrometer

SYM BOL	Tele gruppe	W %	Su kN/m ²	Su r kN/m ²	Plastisitet		Glødetap Ogl %	< 0,02 mm %	Tot. densitet kN/m ³	D ₁₀ mm	D ₃₀ mm	D ₅₀ mm	D ₆₀ mm
					Wf	Wp							
A										0,1384	0,2583	0,3646	0,4177
B										0,0059	0,0316	0,2421	0,5671
C											0,0055	0,0173	0,0388
D													
E													

KORNGRADERING

COWI
Follummoen GU

Konstr./Tegnet METS	Kontrollert GEO
Godkjent GEO	Dato 15.06.16

Multiconsult
www.multiconsult.no

OPPDRAF NR.

129169

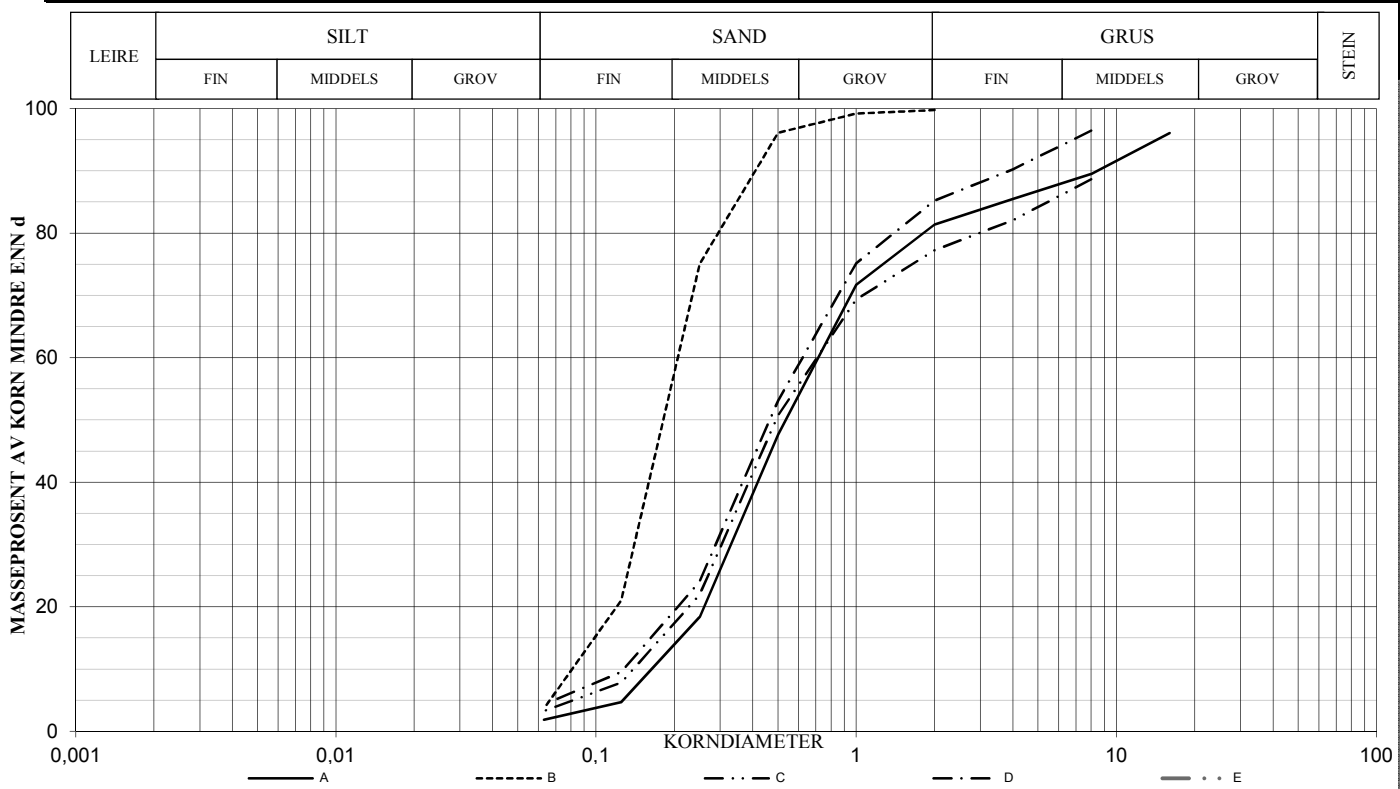
TEGN.NR.

60

REV.

00

SYMBOL	SERIE NR.	Dybde (m)	JORDARTS BETEGNELSE	Anmerkninger	METODE		
					TS	VS	HYD
A	6	0,0-1,0	SAND		X		
B	6	4,0-5,0	SAND		X		
C	6	6,0-7,0	SAND, grusig		X		
D	6	8,0-9,0	SAND		X		
E							



SYMBOL:

Ogl. = Glødetap (%)

Ona. = Humusinnhold (%)

Perm. = Permeabilitet (m/s)

$$C_z = \frac{D_{30}^2}{(D_{60})(D_{10})}$$

$$C_u = \frac{D_{60}}{D_{10}}$$

METODE:

TS = Tørr sikt

VS = Våt sikt

HYD = Hydrometer

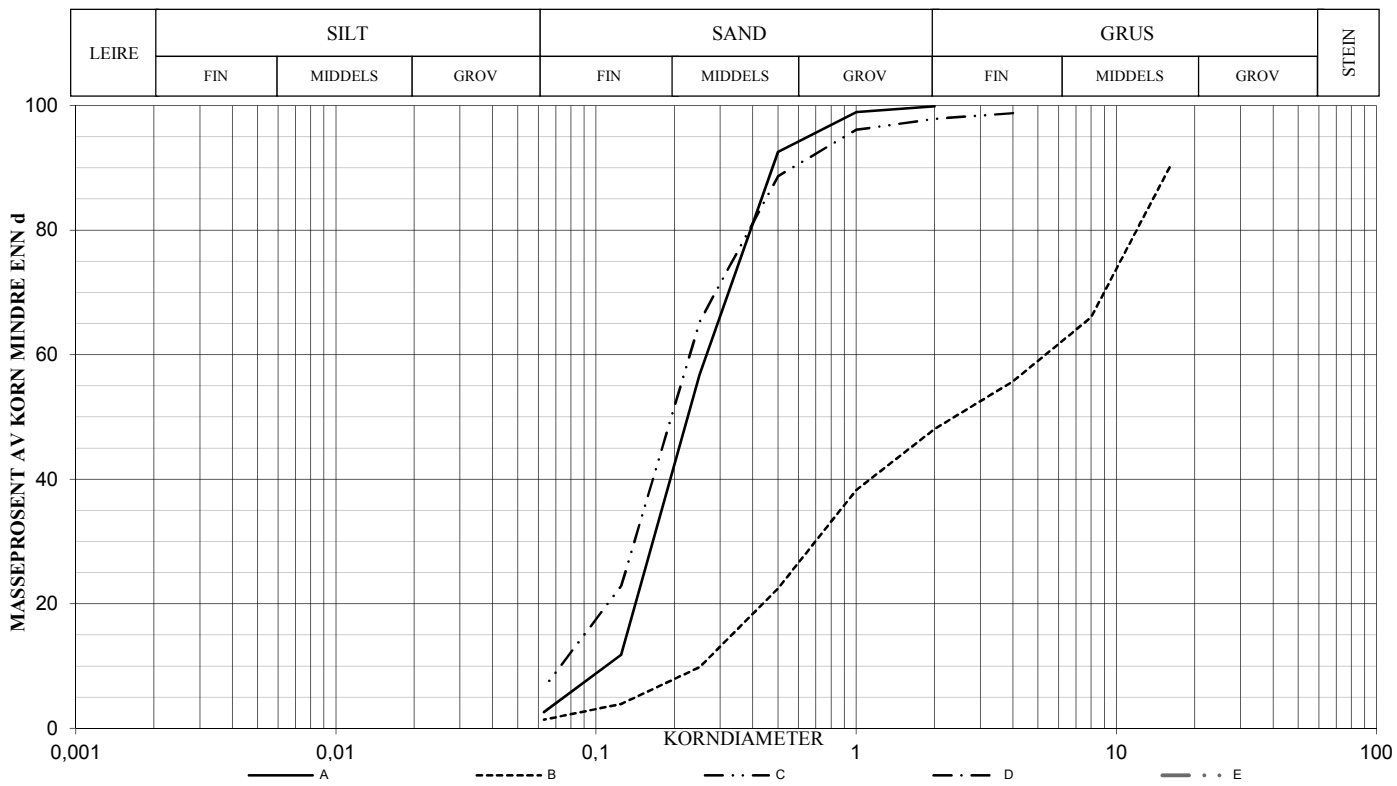
SYM BOL	Tele gruppe	W %	Su kN/m ²	Su r kN/m ²	Plastisitet		Glødetap Ogl %	< 0,02 mm %	Tot. densitet kN/m ³	D ₁₀ mm	D ₃₀ mm	D ₅₀ mm	D ₆₀ mm
					Wf	Wp							
A										0,1737	0,3495	0,5491	0,7567
B										0,0856	0,1458	0,1921	0,2152
C										0,1441	0,320	0,4936	0,7491
D										0,1292	0,301	0,473	0,656
E													

KORNGRADERING

COWI Follummoen GU	Konstr./Tegnet METS	Kontrollert GEO
	Godkjent GEO	Dato 15.06.16

Multiconsult www.multiconsult.no	OPPDRAF NR. 129169	TEGN.NR. 61	REV. 00
-------------------------------------	-----------------------	----------------	------------

SYMBOL	SERIE NR.	Dybde (m)	JORDARTS BETEGNELSE	Anmerkninger	METODE		
					TS	VS	HYD
A	10	2,0-3,0	SAND		X		
B	10	6,0-7,0	MATERIALE, grusig, sandig		X		
C	10	8,0-9,0	SAND		X		
D							
E							



$C_z = \frac{D_{30}^2}{(D_{60})(D_{10})}$	$C_u = \frac{D_{60}}{D_{10}}$
---	-------------------------------

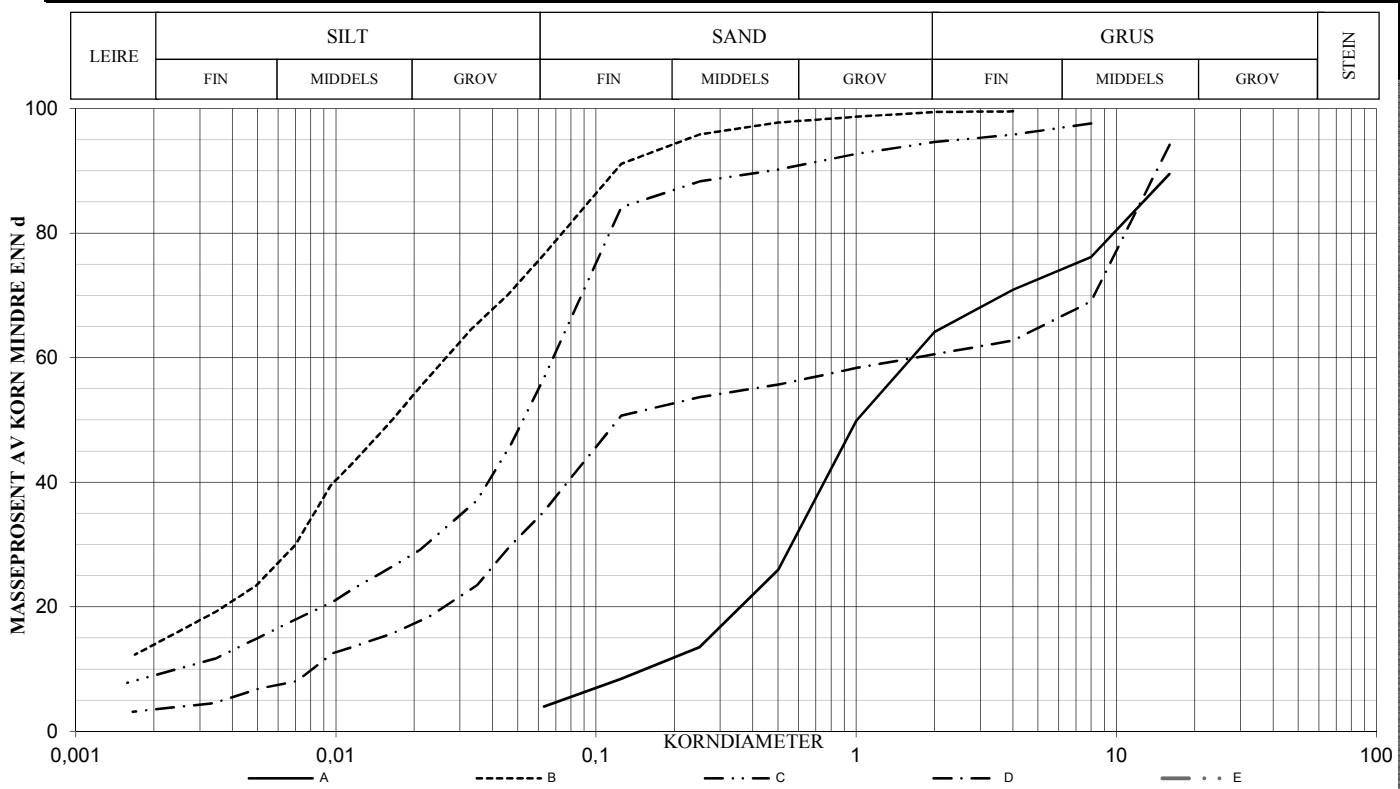
SYM BOL	Tele gruppe	W %	Su kN/m ²	Su r kN/m ²	Plastisitet		Glødetap Ogl %	< 0,02 mm %	Tot. densitet kN/m ³	D_{10} mm	D_{30} mm	D_{50} mm	D_{60} mm
					Wf	Wp							
A										0,1125	0,1754	0,2311	0,2723
B										0,2529	0,7390	2,5037	5,6687
C										0,0763	0,146	0,2050	0,2344
D													
E													

KORNGRADERING

COWI
Follummoen GU

Konstr./Tegnet METS	Kontrollert GEO
Godkjent GEO	Dato 15.06.16

SYMBOL	SERIE NR.	Dybde (m)	JORDARTS BETEGNELSE	Anmerkninger	METODE		
					TS	VS	HYD
A	13	2,0-3,0	MATERIALE, sandig, grusig		X		
B	13	5,0-6,0	SILT, sandig, leirig			X	X
C	13	7,0-8,0	SILT, sandig, leirig			X	X
D	13	9,0-10,0	MATERIALE, grusig, siltig, sandig			X	X
E							



SYMBOL:

Ogl. = Glødetap (%)

Ona. = Humusinnhold (%)

Perm. = Permeabilitet (m/s)

$$C_z = \frac{D_{30}^2}{(D_{60})(D_{10})}$$

$$C_u = \frac{D_{60}}{D_{10}}$$

METODE:

TS = Tørr sikt

VS = Våt sikt

HYD = Hydrometer

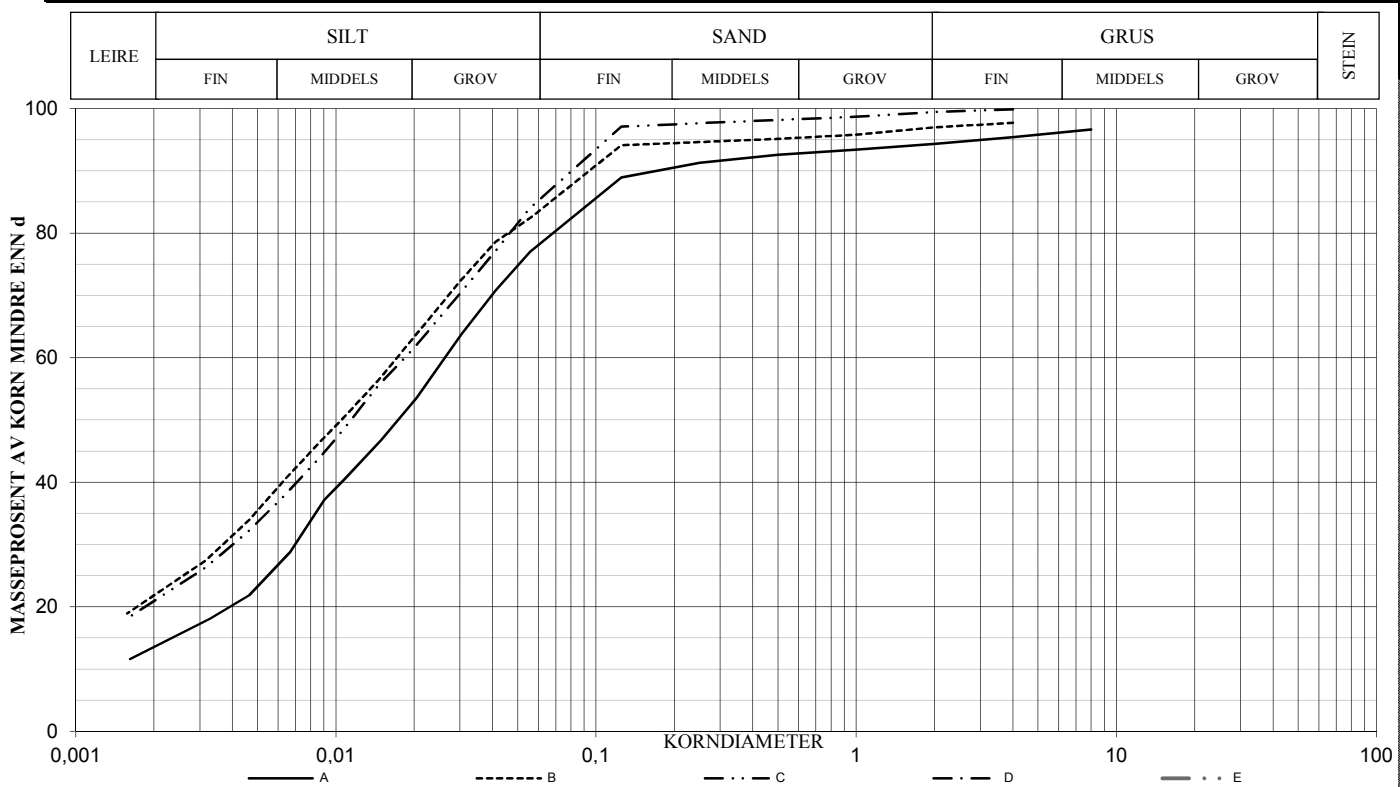
SYM BOL	Tele gruppe	W %	Su kN/m ²	Su r kN/m ²	Plastisitet		Glødetap Ogl %	< 0,02 mm %	Tot. densitet kN/m ³	D ₁₀ mm	D ₃₀ mm	D ₅₀ mm	D ₆₀ mm
					Wf	Wp							
A										0,1634	0,5856	1,0098	1,7087
B											0,0070	0,0165	0,0271
C										0,0026	0,023	0,0529	0,0829
D										0,0082	0,047	0,213	1,747
E													

KORNGRADERING

COWI
Follummoen GU

Konstr./Tegnet METS	Kontrollert GEO
Godkjent GEO	Dato 16.06.16

SYMBOL	SERIE NR.	Dybde (m)	JORDARTS BETEGNELSE	Anmerkninger	METODE		
					TS	VS	HYD
A	16	3,0-4,0	SILT, leirig			X	X
B	16	5,0-6,0	LEIRE, siltig			X	X
C	16	7,0-8,0	LEIRE, siltig			X	X
D							
E							



SYMBOL:

Ogl. = Glødetap (%)

Ona. = Humusinnhold (%)

Perm. = Permeabilitet (m/s)

$$C_z = \frac{D_{30}^2}{(D_{60})(D_{10})}$$

$$C_u = \frac{D_{60}}{D_{10}}$$

METODE:

TS = Tørr sikt

VS = Våt sikt

HYD = Hydrometer

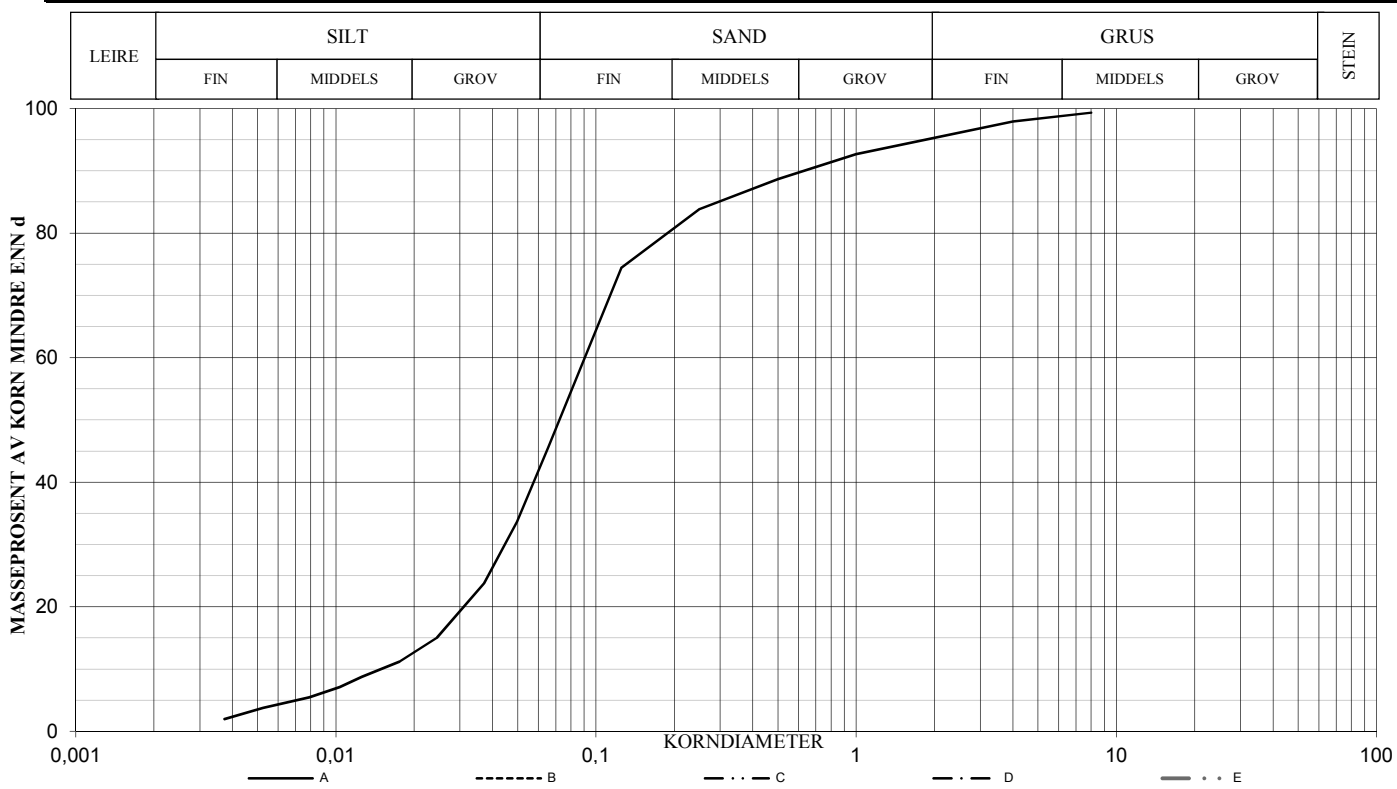
SYM BOL	Tele gruppe	W %	Su kN/m ²	Su kN/m ²	Plastisitet		Glødetap Ogl %	< 0,02 mm %	Tot. densitet kN/m ³	D ₁₀ mm	D ₃₀ mm	D ₅₀ mm	D ₆₀ mm
					Wf	Wp							
A											0,0070	0,0175	0,0267
B											0,0037	0,0105	0,0174
C											0,0041	0,0115	0,0185
D													
E													

KORNGRADERING

COWI
Follummoen GU

Konstr./Tegnet METS	Kontrollert GEO
Godkjent GEO	Dato 16.06.16

SYMBOL	SERIE NR.	Dybde (m)	JORDARTS BETEGNELSE	Anmerkninger	METODE		
					TS	VS	HYD
A	19	2,0-3,0	MATERIALE, sandig, siltig		X	X	
B							
C							
D							
E							



SYMBOL:

Ogl. = Glødetap (%)

Ona. = Humusinnhold (%)

Perm. = Permeabilitet (m/s)

$$C_z = \frac{D_{30}^2}{(D_{60})(D_{10})}$$

$$C_u = \frac{D_{60}}{D_{10}}$$

METODE:

TS = Tørr sikt

VS = Våt sikt

HYD = Hydrometer

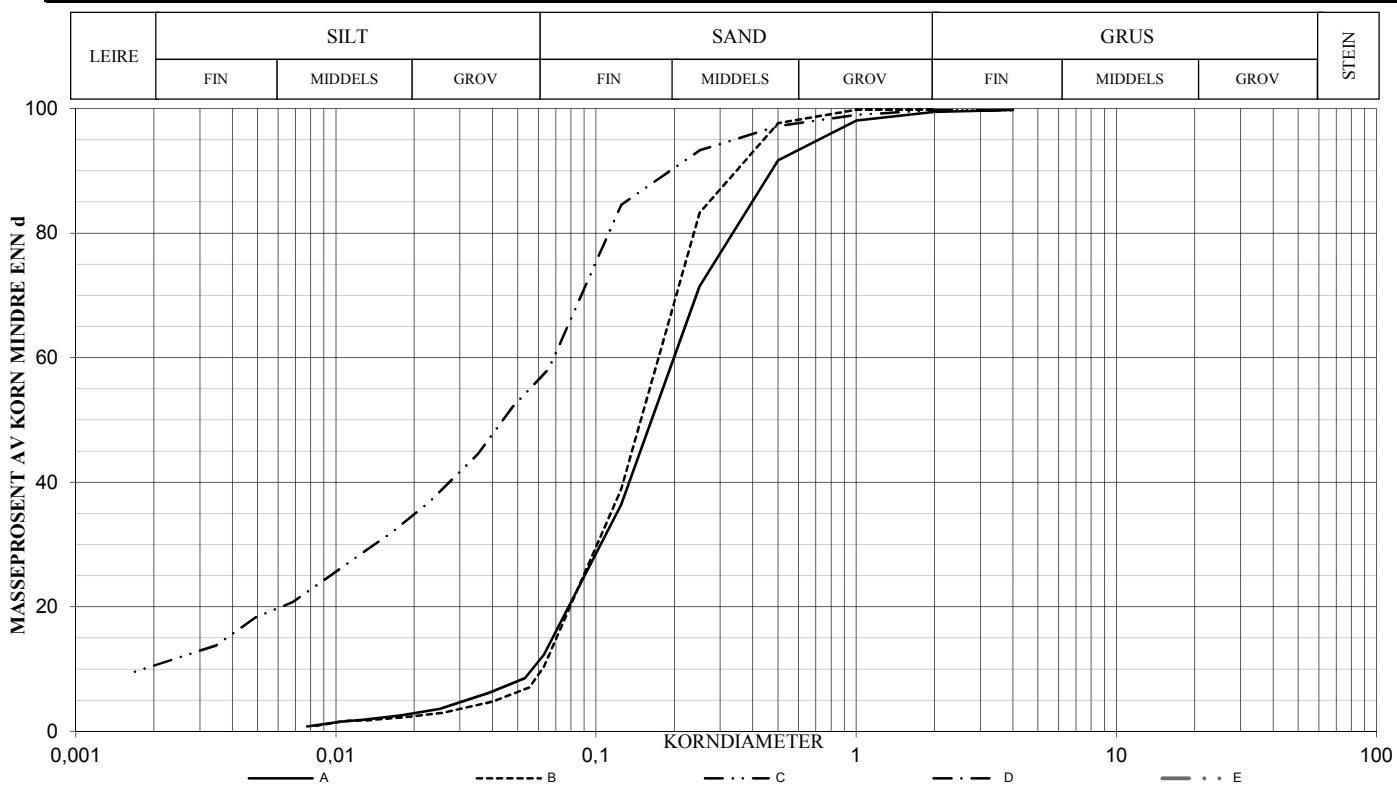
SYM BOL	Tele gruppe	W %	Su kN/m ²	Su kN/m ²	Plastisitet		Glødetap Ogl %	< 0,02 mm %	Tot. densitet kN/m ³	D ₁₀ mm	D ₃₀ mm	D ₅₀ mm	D ₆₀ mm
					Wf	Wp							
A										0,0151	0,0449	0,0867	0,1349
B													
C													
D													
E													

KORNGRADERING

COWI
Follummoen GU

Konstr./Tegnet METS	Kontrollert GEO
Godkjent GEO	Dato 16.06.16

SYMBOL	SERIE NR.	Dybde (m)	JORDARTS BETEGNELSE	Anmerkninger	METODE		
					TS	VS	HYD
A	21	1,0-2,0	SAND		X		X
B	21	4,0-5,0	SAND			X	X
C	21	6,0-7,0	SILT, sandig, leirig			X	X
D							
E							



SYMBOL:

Ogl. = Glødetap (%)

Ona. = Humusinnhold (%)

Perm. = Permeabilitet (m/s)

$$C_z = \frac{D_{30}^2}{(D_{60})(D_{10})}$$

$$C_u = \frac{D_{60}}{D_{10}}$$

METODE:

TS = Tørr sikt

VS = Våt sikt

HYD = Hydrometer

SYM BOL	Tele gruppe	W %	Su kN/m ²	Su r kN/m ²	Plastisitet		Glødetap Ogl %	< 0,02 mm %	Tot. densitet kN/m ³	D ₁₀ mm	D ₃₀ mm	D ₅₀ mm	D ₆₀ mm
					Wf	Wp							
A										0,0570	0,1085	0,1734	0,2090
B										0,0623	0,1057	0,1563	0,1845
C										0,0019	0,014	0,0443	0,0750
D													
E													

KORNGRADERING

COWI Follummoen GU	Konstr./Tegnet METS	Kontrollert GEO
	Godkjent GEO	Dato 16.06.16

Multiconsult www.multiconsult.no	OPPDRA格 NR. 129169	TEGN.NR. 66	REV. 00
-------------------------------------	------------------------------	-----------------------	-------------------

MINERALSKE JORDARTER (NS-EN ISO 14688-1 & 2)

Ved prøveåpning klassifiseres og identifiseres jordarten. Mineralske jordarter klassifiseres vanligvis på grunnlag av korngraderingen. Betegnelse og kornstørrelser for de enkelte fraksjoner er:

Fraksjon	Leire	Silt	Sand	Grus	Stein	Blokk
Kornstørrelse (mm)	<0,002	0,002-0,063	0,063-2	2-63	63-630	>630

En jordart kan inneholde en eller flere av fraksjonene over. Jordarten benevnes i henhold til korngraderingen med substantiv for den fraksjon som har dominerende betydning for jordartens egenskaper og adjektiv for medvirkende fraksjoner (for eksempel siltig sand). Leirinnholdet har størst betydning for benevnelse av jordarten. Morene er en usortert breavsetning som kan inneholde alle fraksjoner fra leire til blokk. Den største fraksjonen angis først i beskrivelsen etter egne benevningsregler, for eksempel grusig morene.

ORGANISKE JORDARTER (NS-EN ISO 14688-1 & 2)

Organiske jordarter klassifiseres på grunnlag av jordartens opprinnelse og omdanningsgrad. De viktigste typer er:

Benevnelse	Beskrivelse
Torv	Myrplanter, mer eller mindre omdannet.
• Fibrig torv	Fibrig med lett gjenkjennelig plantestruktur. Viser noe styrke.
• Delvis fibrig torv, mellomtorv	Gjenkjennelig plantestruktur, ingen styrke i planterestene.
• Amorf torv, svarttorv	Ingen synlig plantestruktur, svampig konsistens.
Gytje og dy	Nedbrutt struktur av organisk materiale, kan inneholde mineralske bestanddeler.
Humus	Planterester, levende organismer sammen med ikke-organisk innhold.
Mold og matjord	Sterkt omvandlet organisk materiale med løs struktur, utgjør vanligvis det øvre jordlaget.

SKJÆRFASTHET

Skjærfastheten uttrykkes ved jordens skjærfasthetsparametre a , c , ϕ ($\tan\phi$) (effektivspenningsanalyse) eller c_u (c_{uA} , c_{uD} , c_{uP}) (totalspenningsanalyse).

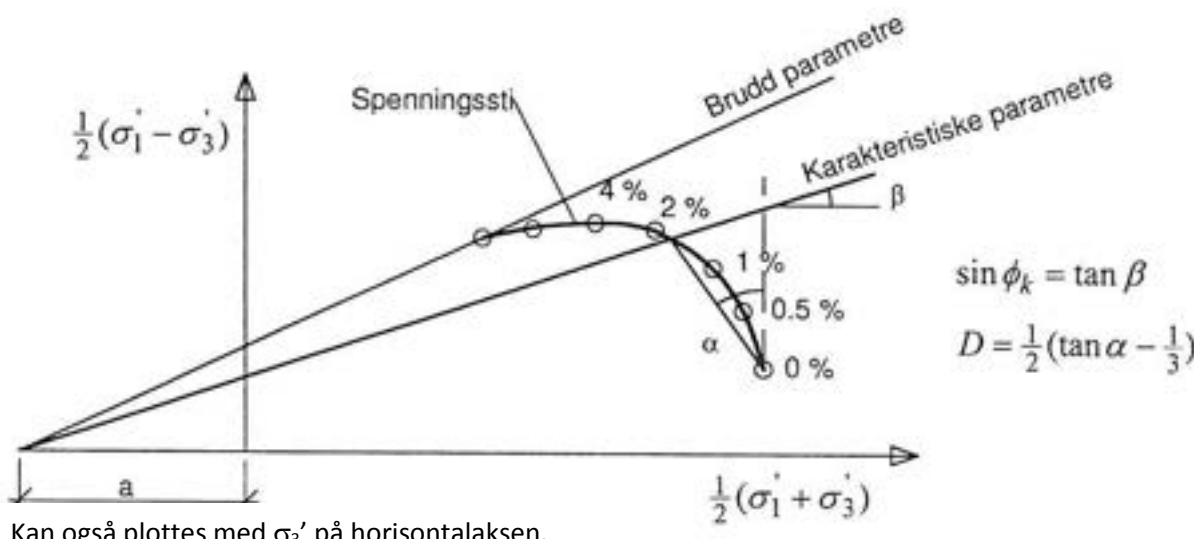
Effektivspenningsanalyse: Effektive skjærfasthetsparametre a , c , ϕ ($\tan\phi$) (kPa, kPa, °, (-))

Effektive skjærfasthetsparametre a (attraksjon), $\tan\phi$ (friksjon) og eventuelt $c = \text{atan}\phi$ (kohesjon) bestemmes ved treaksiale belastningsforsøk på uforstyrrede (leire) eller innbyggede prøver (sand). Skjærfastheten er avhengig av effektiv normalspenning (totalspenning – poretrykk) på kritisk plan. Forsøksresultatene fremstilles som spenningsstier som viser spenningsutvikling og tilhørende tøyningsutvikling i prøven frem mot brudd. Fra disse, samt fra annen informasjon, bestemmes karakteristiske verdier for skjærfasthetsparametre for det aktuelle problemet.

For korttids effektivspenningsanalyse kan også poretrykksparametrene A, B og D bestemmes fra forsøksresultatene.

Totalspenningsanalyse: Udreneret skjærfasthet, c_u (kPa)

Udreneret skjærfasthet bestemmes som den maksimale skjærspenningen et materiale kan påføres før det bryter sammen. Denne skjærfastheten representerer en situasjon med raske spenningsendringer uten drenering av poretrykk. I laboratoriet bestemmes denne egenskapen ved enaksiale trykkforsøk (c_{ut}) (NS8016), konusforsøk (c_{uk} , c_{ukr}) (NS8015), udrenerte treaksialforsøk (c_{uA} , c_{uP}) og direkte skjærforsøk (c_{uD}). Udreneret skjærfasthet kan også bestemmes i felt ved for eksempel trykksondering med poretrykksmåling (CPTU) (c_{ucptu}) eller vingebor (c_{uv} , c_{ur}).



SENSITIVITET S_t (-)

Sensitiviteten $S_t = c_u/c_r$ uttrykker forholdet mellom en leires udrenerte skjærfasthet i uforstyrret og omrørt tilstand. Denne størrelsen kan bestemmes fra konusforsøk i laboratoriet (NS 8015) eller ved vingeborforsøk i felt. Kvikkleire har for eksempel meget lav omrørt skjærfasthet c_r ($s_r < 0,5$ kPa), og viser derfor som regel meget høye sensitivitetsverdier.

VANNINNHOLD (w %) (NS 8013)

Vanninnholdet angir masse av vann i % av masse tørt (fast) stoff i massen og bestemmes fra tørking av en jordprøve ved 110°C i 24 timer.

KONSISTENSGRENSE – FLYTEGRENSE (w_f %) OG PLASTISITETSGRENSE (w_p %) (NS 8002 & 8003)

Konsistensgrensene (Atterbergs grenser) for en jordart angir vanninneholdsområdet der materialet er plastisk (formbart). Flytegrensen angir vanninnholdet der materialet går fra plastisk til flytende tilstand. Plastisitetsgrensen (utrullingsgrensen) angir vanninneholdet der materialet ikke lenger kan formas uten at det sprekker opp. Plastisiteten $I_p = w_f - w_p$ (%) angir det plastiske området for jordarten og benyttes til klassifisering av plastisiteten. Er det naturlige vanninneholdet høyere enn flytegrensen blir materialet flytende ved omrøring (vanlig for kvikkleire).

DENSITETER (NS 8011 & 8012)

Densitet (ρ , g/cm ³)	Massa av prøve pr. volumenhett. Bestemmes for hel sylinder og/eller utskåret del.
Korndensitet (ρ_s , g/cm ³)	Massa av fast stoff pr. volumenhett fast stoff
Tørr densitet (ρ_d , g/cm ³)	Massa av tørt stoff pr. volumenhett

TYNGDETETTHETER

Tyngdetethet (γ , kN/m ³)	Tyngde av prøve pr. volumenhett ($\gamma = \rho g = \gamma_s(1+w/100)(1-n/100)$, der $g = 10 \text{ m/s}^2$)
Spesifik tyngdetethet (γ_s , kN/m ³)	Tyngde av fast stoff pr. volumenhett fast stoff ($\gamma_s = \rho_s g$)
Tørr tyngdetethet (γ_d , kN/m ³)	Tyngde av tørt stoff pr. volumenhett ($\gamma_d = \rho_d g = \gamma_s(1-n/100)$)

PORETALL OG PORØSITET (NS 8014)

Poretall e (-)	Volum av porer dividert med volum fast stoff ($e = n/(100-n)$) der n er porositet (%)
Porositet n (%)	Volum av porer i % av totalt volum av prøven

KORNFORDELINGSANALYSER (NS 8005)

En kornfordelingsanalyse utføres ved våt eller tørr siktning av fraksjonene med diameter $d > 0,063 \text{ mm}$. For mindre partikler bestemmes den ekvivalente korndiameteren ved slemmeanalyse og bruk av hydrometer. I slemmeanalysen slemmes materialet opp i vann og densiteten av suspensjonen måles ved bestemte tidsintervaller. Kornfordelingen kan da bestemmes fra Stokes lov om sedimentering av kuleformede partikler i vann. Det vil ofte være nødvendig med en kombinasjon av metodene.

DEFORMASJONS- OG KONSOLIDERINGSEGENSKAPER (NS 8017 & 8018)

Jordartens deformasjons- og konsolideringsegenskaper benyttes ved setningsberegnung og bestemmes ved hjelp av belastningsforsøk i ødometer. Jordprøven bygges inn i en stiv ring som forhindrer sideveis deformasjon og belastes vertikalt med trinnvis eller kontinuerlig økende last. Sammenhørende verdier for last og deformasjon (tøyning ϵ) registreres, og materialets deformasjonsmodul (stivhet) kan beregnes som $M = \Delta\sigma'/\Delta\epsilon$. Denne presenteres som funksjon av vertikalspenningen σ' . Deformasjonsmodulen viser en systematisk oppførsel for ulike jordarter og spenningstilstander, og oppførselen kan hensiktsmessig beskrives med modulfunksjoner og inndeles i tre modeller:

Modell	Moduluttrykk	Jordart - spenningsområde
Konstant modul	$M = m_{oc}\sigma_a$	OC leire, $\sigma' < \sigma_c'$ ($\sigma_c' = $ prekonsolideringsspenningen)
Lineært økende modul	$M = m(\sigma' (\pm \sigma_r))$	Leire, fin silt, $\sigma' > \sigma_c'$
Parabolsk økende modul	$M = mv/(\sigma'\sigma_a)$	Sand, grov silt, $\sigma' > \sigma_c'$

PERMEABILITET (k cm/sek eller m/år)

Permeabiliteten defineres som den vannmengden q som under gitte betingelser vil strømme gjennom et jordvolum pr. tidsenhet. Generelt bestemmes permeabiliteten fra følgende sammenheng: $q = kiA$, der A er bruttoareal av tverrsnittet normalt på vannets strømningsretning og i = hydraulisk gradient i strømningsretningen (= potensialforskjell pr. lengdeenhet). Permeabiliteten kan bestemmes ved strømningsforsøk i laboratoriet ved konstant eller fallende potensial, eventuelt ved pumpe- eller strømningsforsøk i felt.

KOMPRIMERINGSEGENSKAPER

Ved komprimering av en jordart oppnås letttere lagring av mineralkornene. Komprimeringsegenskapene for en jordart bestemmes ved at prøver med forskjellig vanninnehold komprimeres med et bestemt komprimeringssarbeid (Standard eller Modifisert Proctor). Resultatene fremstilles i et diagram som viser tørr densitet ρ_r som funksjon av innbyggingsvanninnehold w_i . Den maksimale tørrdensiteten som oppnås (ρ_{dmax}) benyttes ved spesifikasjon av krav til utførelsen av komprimeringssarbeider. Det tilhørende vanninneholdet benevnes optimalt vanninnehold (w_{opt}).

TELEFARLIGHET

En jordarts telefarlighet bestemmes ut fra kornfordelingskurven eller ved å måle den kapillære stigehøyde for materialet. Telefarligheten klassifiseres i gruppene T1 (Ikke telefarlig), T2 (Litt telefarlig), T3 (Middels telefarlig) og T4 (Meget telefarlig).

HUMUSINNHOLD

Humusinneholdet bestemmes ved som glødning av jordprøve i glødeovn.

METODESTANDARDER OG RETNINGSLINJER – LABORATORIEUNDERSØKELSER

Laboratorieundersøkelser beskrevet i geotekniske bilag, samt terminologi og klassifisering benyttet i rapportering, baserer seg på følgende norske standarder (NS) og referansedokumenter:

Norske standarder NS	Tema
NS8000 (1982)	Konsistensgrenser – terminologi
NS8001 (1982)	Støtflytegrense
NS8002 (1982)	Konusflytegrense
NS8003 (1982)	Plastisitetsgrense (utrullingsgrense)
NS8004 (1982)	Svinngrense
NS8005 (1990)	Kornfordelingsanalyse
NS8010 (1982)	Jord – bestanddeler og struktur
NS8011 (1982)	Densitet
NS8012 (1982)	Korndensitet
NS8013 (1982)	Vanninnhold
NS8014 (1982)	Poretall, porøsitet og metningsgrad
NS8015 (1987)	Skjærfasthet ved konusforsøk
NS8016 (1987)	Skjærfasthet ved enaksialt trykkforsøk
NS8017 (1991)	Ødometerforsøk, trinnvis belastning
NS8018 (1993)	Ødometerforsøk, kontinuerlig belastning
NS14688-1 og -2 (2009)	Klassifisering og identifisering av jord
NS-EN ISO/TS 17892-8 + -9 (2005)	Treaksialforsøk (UU, CU)
Statens vegvesen Håndbok R210 (2005/2014)	Laboratorieundersøkelser

Vedlegg 4

Utklipp fra: «E68 Veien – Nymoen, Grunnundersøkelser for parsellen Follum gård – Begna (Del 4), sek. 35000-36080», Vegdirektoratet 1985

III GRUNN- OG FUNDAMENTERINGSFORHOLD

A. Generelt

Terrengformasjonen i området er dannet ved erosjon i marine avsetninger. Nedenfor Follum gård skråner terrenget mot øst og nordøst med maksimalt fall ca. 1:4. Lenger nord og nordøst mot Begna passerer veglinjen over to markerte terrasser i terrenget, med kotehøyde ca. +125 mellom profil 35450 - 35560 og +120-124 mellom profil 35580 - 36080.

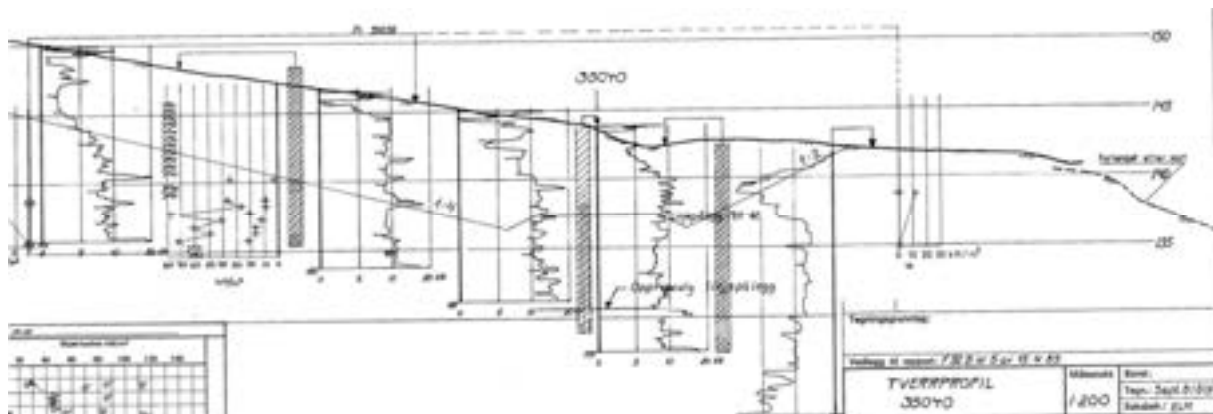
Ut fra fjellkontrollboringene ligger fjell mellom 0,5 - 19,5 m under terreng mellom profil 35000 - 35250. Mellom profil 35250 - 35410 ligger fjellet stort sett i dagen, mens på partiet profil 35410 - 36080 øker dybden til fast grunn/fjell fra 0,5 m til 23 m under terreng.

Mellan profil 35000 - 35140 nedenfor Follum gård, består løsmassene hovedsaklig av ca. 3 m siltig tørr-skorpeliale over fast og middels fast, stedvis bløt siltig leire med tynne silt- og finsandlaag. Leira er lite til middels sensitiv. I flere av prøveseriene på dette partiet er det registrert sandholdige masser i lag midt i og i bunnen av prøvehullet. Poretrykkmålingene i skråningen er utført to ganger fordi første gangs måling gav uventet lave poretrykkverdier, tildels også negative verdier. Også i andre omgang ble det registrert små utslag på målerne med største poretrykkverdi lik 35% av hydrostatisk poretrykk regnet fra terrengnivå (profil 35038 - 13 m V). Noe av forklaringen på det lave poretrykket i bakken må være å finne i den naturlige utdreneringen av leira gjennom sandholdige skrånende lag.

Grunnundersøkelser som er foretatt av Buskerud vektor, viser at videre fremover i linja mellom profil 35140 - 35250 består løsmassene av 3,5-10 m morene-materiale med innhold av grus og kulestein over sandig, siltig leirig materiale, jfr. rapport Fd 86A nr. 1 av 30/6-1981.

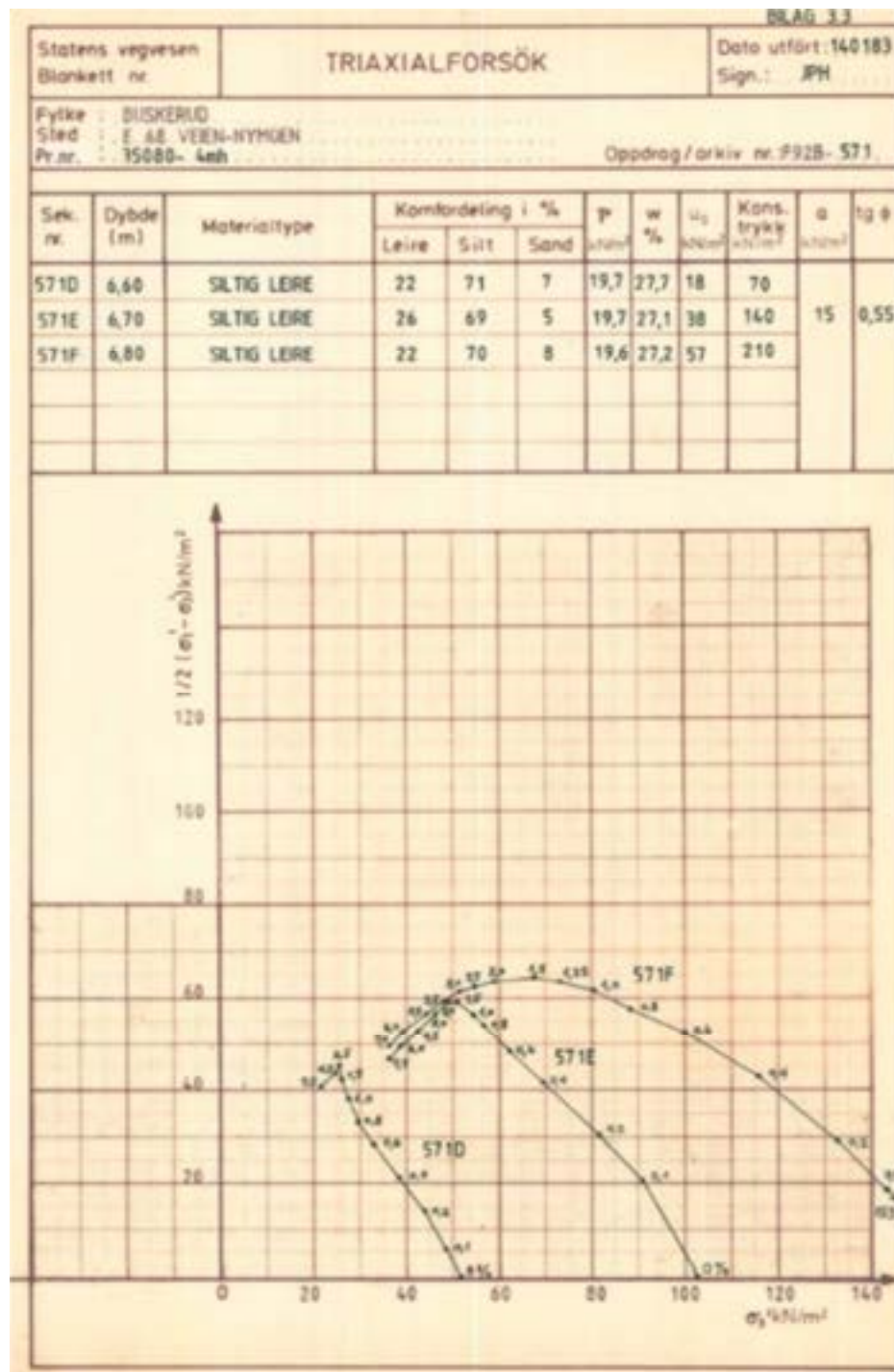
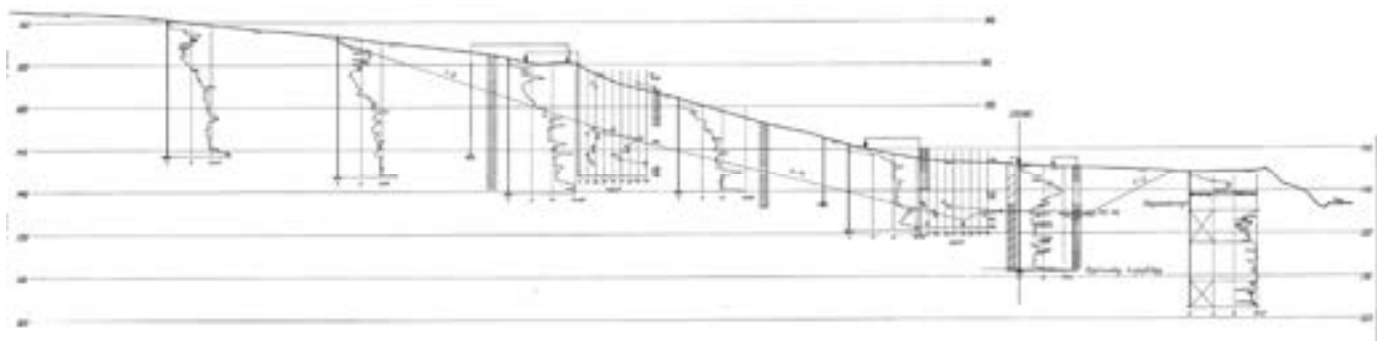
På partiet pr. 35410 - 36080 er det hovedsaklig sand- og siltmasser i 0-6 m dybde. Fremover mot Begna er det derunder registrert middels fast og middels sensitiv leire og silt (prøveserie pr. 35810 f).

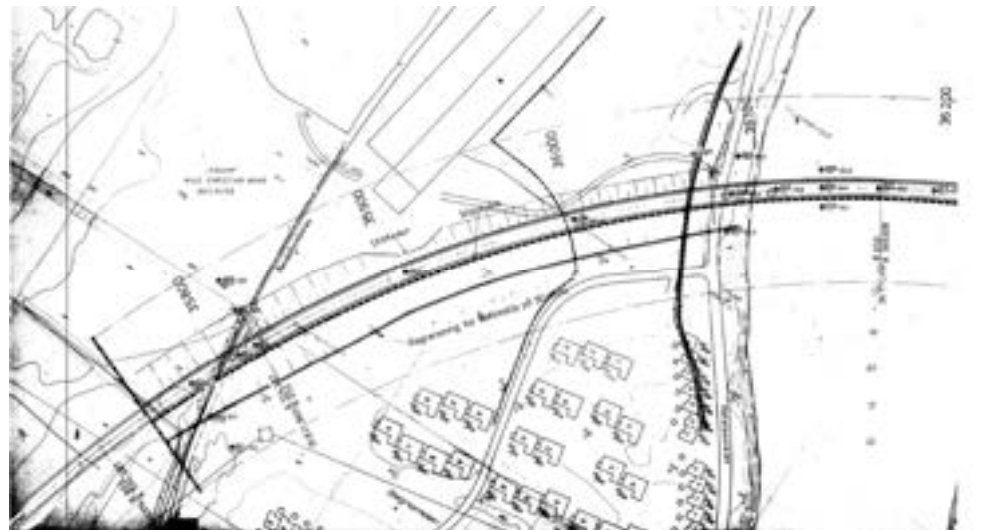
Ut fra terrengformasjonene antas det at massene i grunnen på fyllingspartiet er forbelastet av neddykket vekt av eroderte masser fra ca. kote +155, dvs. av ca. 30 m leirmasser, slik at setninger i undergrunnen blir neppe langvarige. Egensetninger i fyllingene reduseres ved at de legges ut og komprimeres lagvis, jfr. bilag 2.



Dybde m	Material	Vanninnhold %	T mm	S _c kN/m ²	Ekspansjon MN/m ²						
					20	40	60	80	100	120	140
1.	SILTIG LEIRE Jordbund	10	20,2	19,2	0,0	0,0	0,0	0,0	0,0	0,0	0,0
2.	LEIRIG SILT Gassurtag	10	20,2	19,2	0,0	0,0	0,0	0,0	0,0	0,0	0,0
3.		10	20,2	19,2	0,0	0,0	0,0	0,0	0,0	0,0	0,0
4.		10	20,2	19,2	0,0	0,0	0,0	0,0	0,0	0,0	0,0
5.	LEIRIG SILT Slidig leire	10	20,2	19,2	0,0	0,0	0,0	0,0	0,0	0,0	0,0
6.		10	20,2	19,2	0,0	0,0	0,0	0,0	0,0	0,0	0,0
7.		10	20,2	19,2	0,0	0,0	0,0	0,0	0,0	0,0	0,0
8.		10	20,2	19,2	0,0	0,0	0,0	0,0	0,0	0,0	0,0
9.	LEIRE	10	20,2	19,2	0,0	0,0	0,0	0,0	0,0	0,0	0,0
10.	LEIRIG SILT	10	20,2	19,2	0,0	0,0	0,0	0,0	0,0	0,0	0,0
11.		10	20,2	19,2	0,0	0,0	0,0	0,0	0,0	0,0	0,0

Dybde m	Material	Vanninnhold %	T mm	S _c kN/m ²	Ekspansjon MN/m ²				
					20	40	60	80	100
1.	SILTIG LEIRE Terrilsopp	4	20,2	19,2	0,0	0,0	0,0	0,0	0,0
2.		4	20,2	19,2	0,0	0,0	0,0	0,0	0,0
3.		4	20,2	19,2	0,0	0,0	0,0	0,0	0,0
4.	LEIRIG SILT Terrilsopp	4	20,2	19,2	0,0	0,0	0,0	0,0	0,0
5.		4	20,2	19,2	0,0	0,0	0,0	0,0	0,0
6.		4	20,2	19,2	0,0	0,0	0,0	0,0	0,0
7.		4	20,2	19,2	0,0	0,0	0,0	0,0	0,0
8.	SILTIG LEIRE Terrils opplag	7	20,2	19,2	0,0	0,0	0,0	0,0	0,0
9.		7	20,2	19,2	0,0	0,0	0,0	0,0	0,0
10.		7	20,2	19,2	0,0	0,0	0,0	0,0	0,0
11.		7	20,2	19,2	0,0	0,0	0,0	0,0	0,0
12.		7	20,2	19,2	0,0	0,0	0,0	0,0	0,0
13.	SILTIG FINNSAND	2	20,2	19,2	0,0	0,0	0,0	0,0	0,0
14.	LEIRIG SANDIG SILT	1	20,2	19,2	0,0	0,0	0,0	0,0	0,0
15.		1	20,2	19,2	0,0	0,0	0,0	0,0	0,0





Dybde i m.	Materiale	Prøve	Prøvetaker Nøker av 56 mm.			S_1	Skjærfasthet kN/m ²				
			Vanninnhold %								
			20	40	60						
1		430	-								
2		431	-								
3	SAND	432	-								
4		433	-								
5		434	-								
6	SILT	435	-			20,4					
7		436	-			20,9					
8	LEIRE %/siltlag	437	-			20,4	13	▼ P			
9		438	-			20,0	16	▼ P			
10	SILT	439	-			20,0	11	▼ P			
11		440	-			20,5	4	▼ P			
12	LEIRE %/silt - og finsandlag	441	-			19,8					
13		442	-			18,1					
14	SILT	443	-			20,5					
15		444	-			19,1					
16		445	-			19,5					
		446	-								

Vedlegg 5

Utklipp fra: Kartbladet 1815-3 Hønefoss – Vurderinger 01.09.1988, *NGI 1988*



81040-1

A4



Kile (200 mål)

Koordinater: UTM NM 677 735
X 243900, Y -27600

Vurderingsgrunnlag: Kvartærgeologisk kart, flyfoto, topografisk kart,
befaring, dreie-trykksondering nr. 73.

Området utgjør hoydedraget med Kile gård og det skrånende terrenget ned mot Hallumsdalen. Høydeforskjellen er 30-35 m. Deler av området er en gammel skredgrop.

Dreie-trykksonderingen indikerer kvikkleire fra 7 til 15 m dybde. Over kvikkleire ligger trolig lagdelt leire med relativt lav sensitivitet.



Hall nr.: 73		Sed: Kile		
Tillr. nr.	Nedpressningskraft, kN	Merksad		
		5	10	25
18				
19				
20				
21				
22				
23				
24				
25				
26				
27				
28				
29				
30				
31				
32				
33				
34				
35				
36				
37				
38				
39				
40				
41				
42				
43				
44				
45				
46				
47				
48				
49				
50				
51				
52				
53				
54				
55				
56				
57				
58				
59				
60				
61				
62				
63				
64				
65				
66				
67				
68				
69				
70				
71				
72				
73				
74				
75				
76				
77				
78				
79				
80				
81				
82				
83				
84				
85				
86				
87				
88				
89				
90				
91				
92				
93				
94				
95				
96				
97				
98				
99				
100				
101				
102				
103				
104				
105				
106				
107				
108				
109				
110				
111				
112				
113				
114				
115				
116				
117				
118				
119				
120				
121				
122				
123				
124				
125				
126				
127				
128				
129				
130				
131				
132				
133				
134				
135				
136				
137				
138				
139				
140				
141				
142				
143				
144				
145				
146				
147				
148				
149				
150				
151				
152				
153				
154				
155				
156				
157				
158				
159				
160				
161				
162				
163				
164				
165				
166				
167				
168				
169				
170				
171				
172				
173				
174				
175				
176				
177				
178				
179				
180				
181				
182				
183				
184				
185				
186				
187				
188				
189				
190				
191				
192				
193				
194				
195				
196				
197				
198				
199				
200				
201				
202				
203				
204				
205				
206				
207				
208				
209				
210				
211				
212				
213				
214				
215				
216				
217				
218				
219				
220				
221				
222				
223				
224				
225				
226				
227				
228				
229				
230				
231				
232				
233				
234				
235				
236				
237				
238				
239				
240				
241				
242				
243				
244				
245				
246				
247				
248				
249				
250				
251				
252				
253				
254				
255				
256				
257				
258				
259				
260				
261				
262				
263				
264				
265				
266				
267				
268				
269				
270				
271				
272				
273				
274				
275				
276				
277				
278				
279				
280				
281				
282				
283				
284				
285				
286				
287				
288				
289				
290				
291				
292				
293				
294				
295				
296				
297				
298				
299				
300				
301				
302				
303				
304				
305				
306				
307				
308				
309				
310				
311				
312				
313				
314				
315				
316				
317				
318				
319				
320				
321				
322				
323				
324				
325				
326				
327				
328				
329				
330				
331				
332				
333				
334				
335				
336				
337				
338				
339				
340				
341				
342				
343				
344				
345				
346				
347				
348				
349				
350				
351				
352				
353				
354				
355				
356				
357				
358				
359				
360				
361				
362				
363				
364				
365				
366				
367				
368				
369				
370				
371				
372				
373				
374				
375				
376				
377				
378				
379				
380				
381				
382				
383				
384				
385				
386				
387				
388				
389				
390				
391				
392				
393				
394				
395				
396				
397				
398				
399				
400				
401				
402				
403				
404				
405				
406				
407				
408				
409				
410				
411				
412				
413				
414				
415				
416				
417				
418				
419				
420				
421				
422				
423				
424				
425				
426				
427				
428				
429				
430				
431				
432				
433				
434				
435				
436				
437				
438				
439				
440				
441				
442				
443				
444				

Vedlegg 6

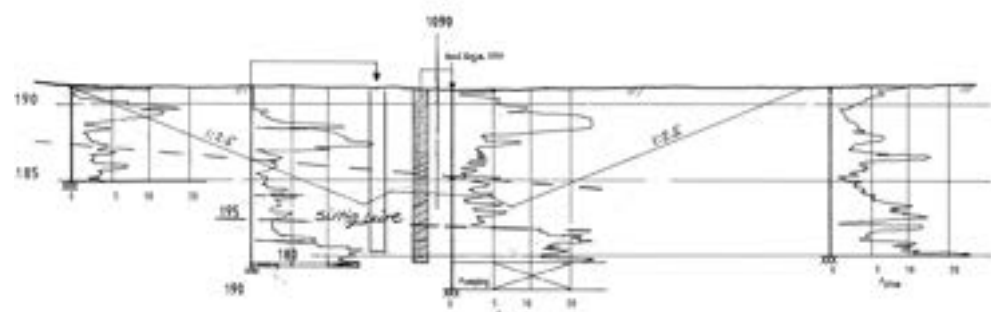
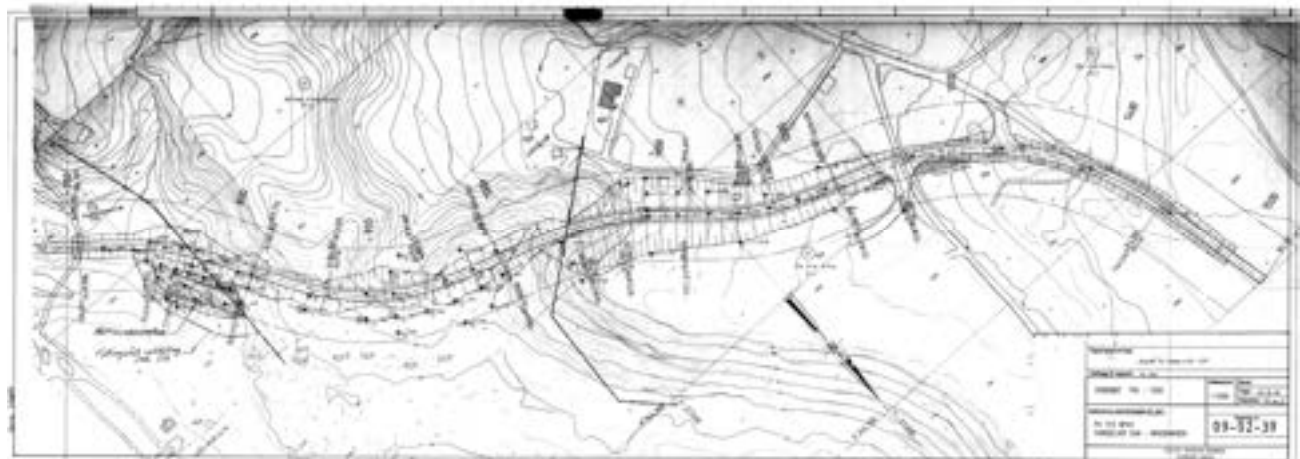
Utklipp fra: Grunnundersøkelse for: FV172 HP:01, Parsell: Ny E68 – Kihlebakken,
Statens vegvesen Buskerud, 1989

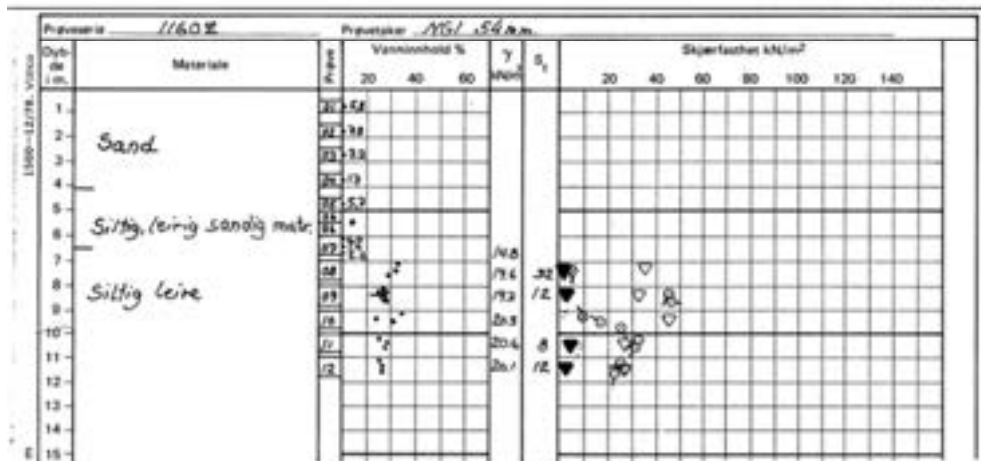
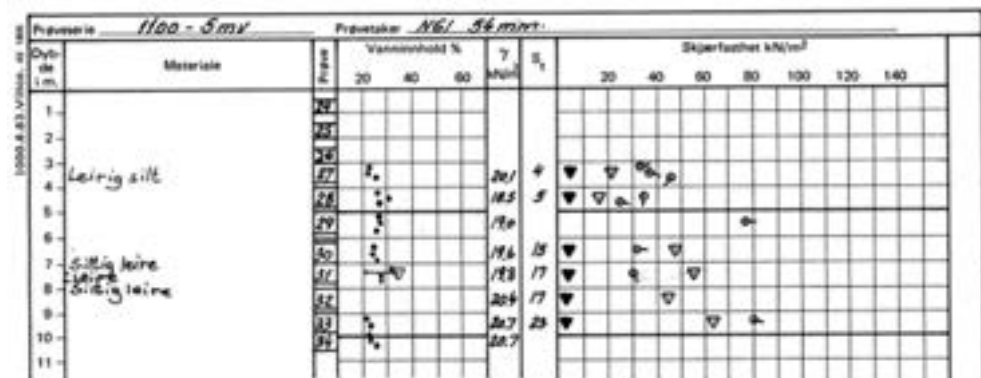
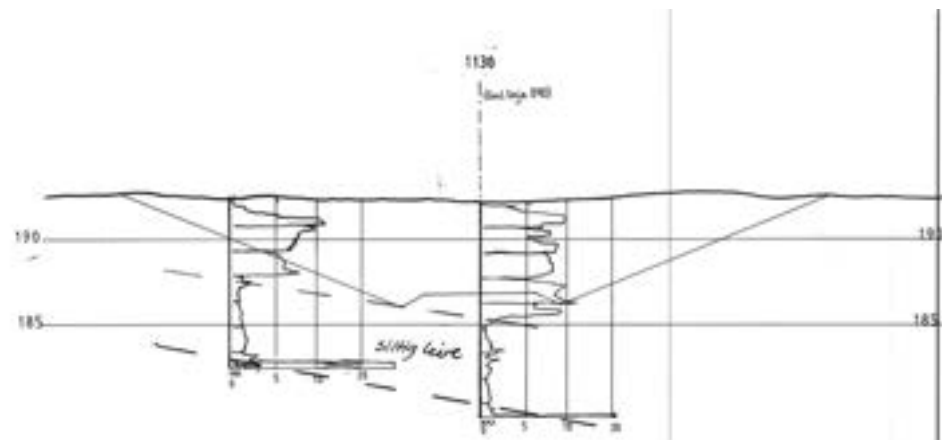
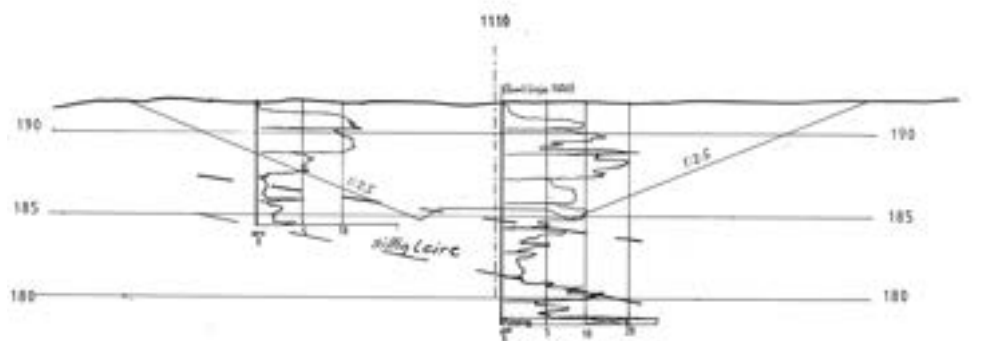




Profil 100 - 700 Fyllinger/skjæringer.

Mellom profil 100 - 400 er det stort sett fjell i dagen. Fra profil 400 - 550 vil det bli lav skjæring. Det er målt dybder til fjell i inntil 4.4 m. Massene består av sand og grusig sand mellom profil 400 - 550. Mellom profil 550 - 650 blir det opptil 3.5 m høy fylling. De øvre 1.5 m i grunnen består av siltige, sandige og grusige materialer. Under er det sand. Mellom profil 650 - 700 er det fjell i dagen/grunt til fjell. Skjæringsmassene i partiet ser ut til å være brukbare til fyllinger. Ingen spesielle stabilitetsproblemer.





Klassifisering av skjæringsmassene

Profil 1030-10mH: 0- 2.0 m dybde Sand :Brukbar
1.0- 3.0 m " Siltig sand : "
3.0- 7.0 m " Leirig silt :Ikke brukbar
7.0-11.0 m " Siltig leire: " "

Profil 1150 : 0- 4.0 m dybde Sand :Brukbar
4.0- 6.5 " Siltig leirig,
sandig: "
6.5-12.0 " Siltig leire : Ikke brukbar

Profil 1210 : 0-1.5 m dybde Sand :Brukbar
1.5-6.0 " Siltig leire : "

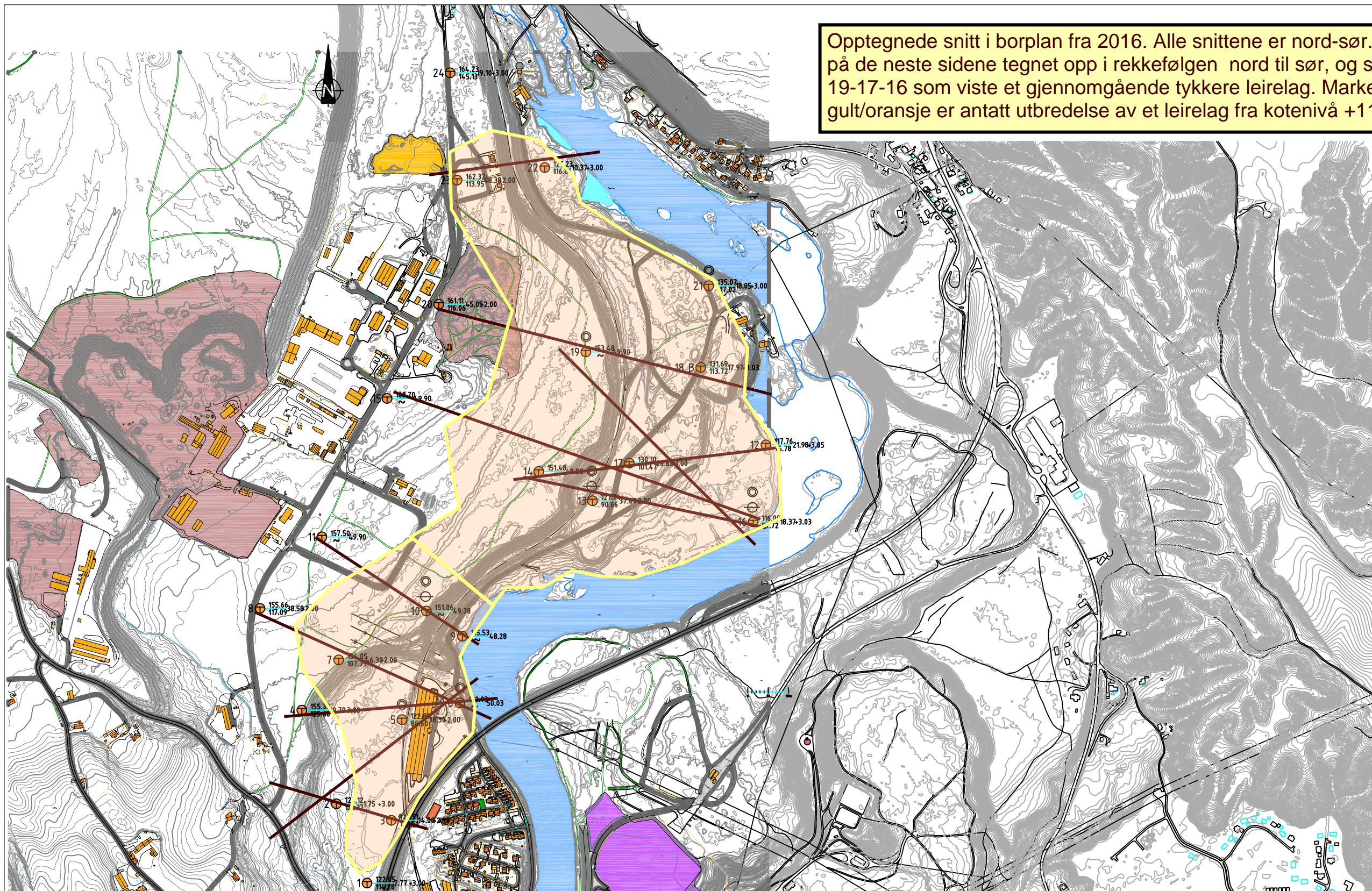
Profil 1270 : 0-1.0 m dybde Sand :Brukbar
1.0-2.0 " Siltig sand : "

Profil 1330 : 0-2.0 m dybde Grusig sand :Brukbar
Profil 1390 : 0-2.0 m dybde Grusig sand :Brukbar

Vedlegg 7

Grunnforhold og topografi. Opptegnede tverrsnitt og sammenfallende leirelag før supplerende grunnundersøkelser.



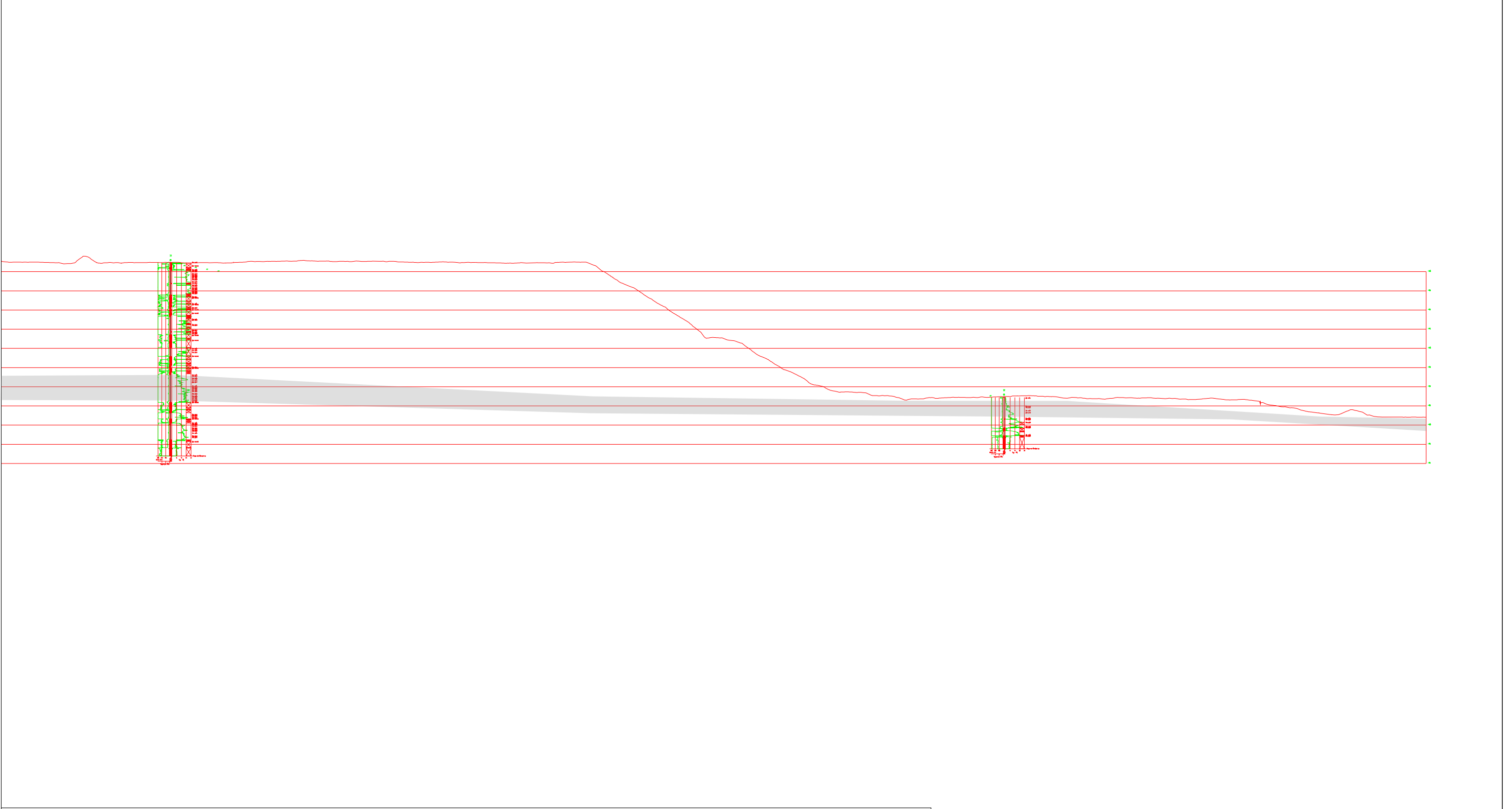


- DREIESONDERING ✶ FJELLKONTROLLBORING ○ PRØVESERIE + VINGEBORING
- ENKEL SONDERING ○ KJERNEBORING □ PRØVEGROP ○ PORETRYKKMÅLING
- ▼ RAMSONDERING ◆ DREIETRYKKSONDERING ▽ TRYKKSONDERING ▲▲ FJELL I DAGEN
- ⊕ TOTALSONDERING ⊕ TERRENGKOTE (BUNN)KOTE ⊕ BORET DYBDE + BORET I FJELL
- ⊕ ANTATT FJELLKOTE

Rev.	Dato	Revideringen gjelder	Nr.	Saksb.	Sidem.k.	Oppdr.a.
		Ringerike kommune	Tegnet av	Saksbehandler		
		Follummoen grunnundersøkelser	OMHA	ASBJ		
		Utførte grunnundersøkelser	Slidemannskontr.	Oppdragsansvarlig		
			ASBJ	KTBR		
			RIG	Målestokk		
				1:10000		
			Dato	A3		
			29.06.2016			
		Oppdragsnr.	A082437	Status		
		Tegning nr.	V-001	00	Rev.	

COWI

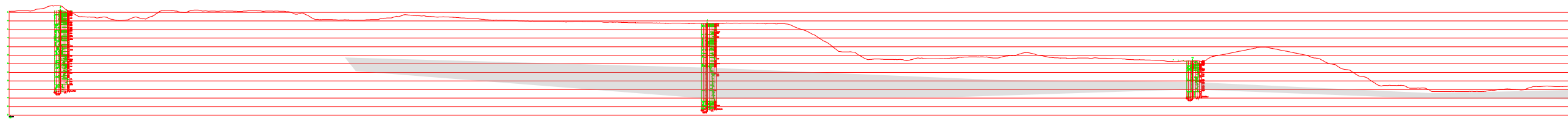




Rev.	Dato	Revideringen gjelder	Nr.	Saksb.	Sidem.k.	Oppdr.o.
		Follummoen - Områdestabilitet	Tegnet av OSLD	Saksbehandler		
		Snitt 23-22 Grunnforhold og topografi	Sidemannskontr. MDMR	Oppdragssvarlig SAHS		
			FAG RIG	Målestokk		
			Dato 09.11.2022			
			Oppdragsnr. A246122	Status		
			Tegning nr.			
			1	Rev.		

Koordinatsystemer
Horizontalt: UTM Sone 32
Vertikalt: NN2000

COWI 

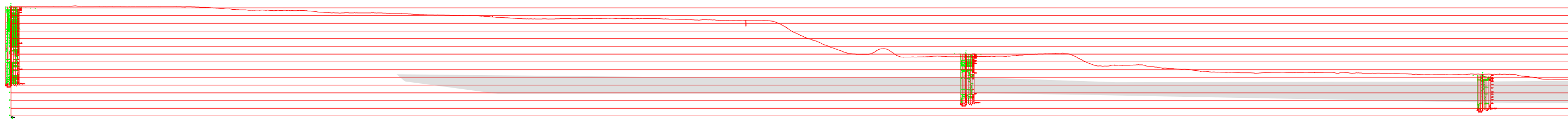


Rev.	Dato	Revideringen gjelder	Nr.	Saksb.	Sidem.k.	Oppdr.o.
		Follummoen - Områdestabilitet	Tegnet av OSLD		Saksbehandler	
		Snitt 20-19-18_B Grunnforhold og topografi	Sidemannskontr. MDMR	Oppdragssvarlig SAHS		
			FAG RIG	Målestokk		
			Date 09.11.2021			
			Oppdragsnr. A246122	Status		
			Tegning nr.			
			2	Rev.		

Koordinatsystemer
Horisontalt: UTM Sone 32
Vertikalt: NN2000

COWI





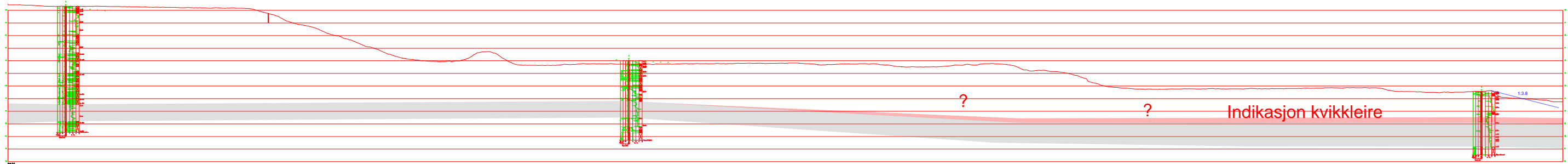
Rev.	Dato	Revideringen gjelder	Nr.	Saksb.	Sidem.k.	Oppdr.o.
		Follummoen - Områdestabilitet	Tegnet av OSLD		Saksbehandler	
		Snitt 15-17-16 Grunnforhold og topografi	Sidemannskontr. MDMR	Oppdragssvarlig SAHS		
			FAG RIG	Målestokk		
			Dato 09.11.2022			
			Oppdragsnr. A246122	Status		
			Tegning nr.			
			3	Rev.		

Koordinatsystemer
Horizontalt: UTM Sone 32
Vertikalt: NN2000

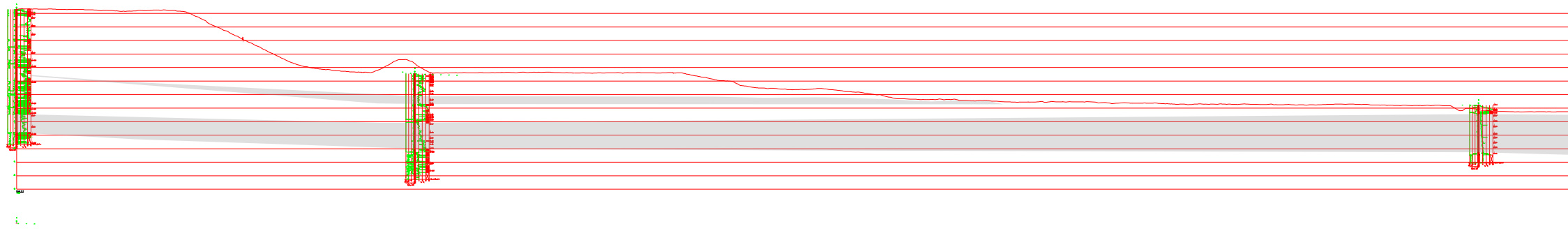
COWI



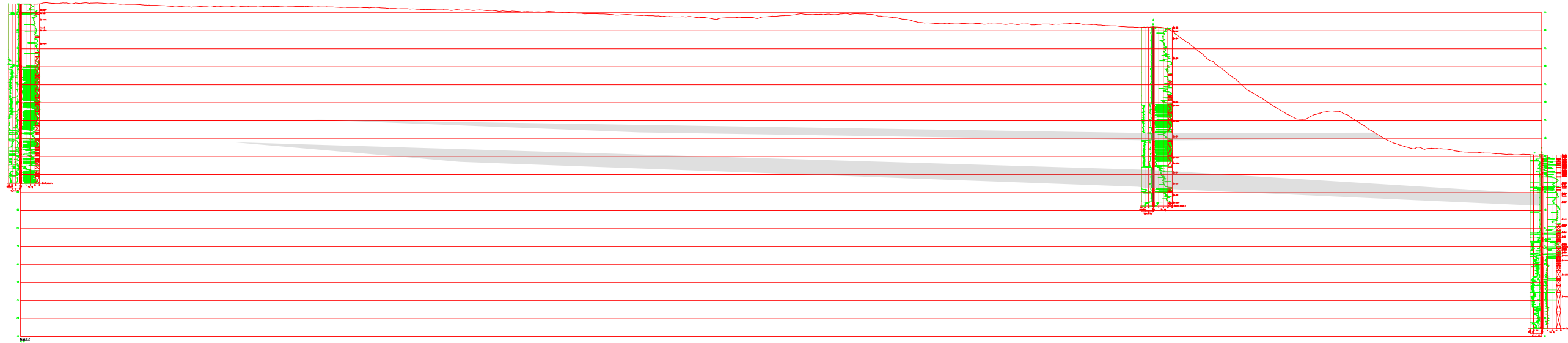
RIF



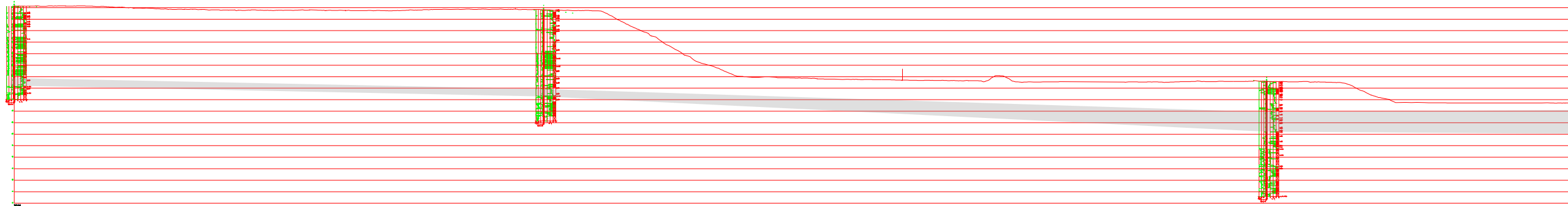
Rev.	Dato	Revideringen gjelder	Nr.	
Follummoen - Områdestabilitet			Saksb.	
			Sidem.k.	
			Oppdr.a.	
Snitt 14-17-12 Grunnforhold og topografi			Tegnet av OSLD	
			Sidemannskontr. MDMR	Saksbehandler SAHS
			FAG RIG	Målestokk
			Dato 09.11.2022	
Oppdragsnr. A246122		Status		
Tegning nr.		Rev.		
COWI		RIF	4	



Rev.	Dato	Revideringen gjelder	Nr.	Saksb.	Sidem.k.	Oppdr.a.
Follummoen - Områdestabilitet			Tegnet av OSLD	Saksbehandler		
Snitt 14-13-16 Grunnforhold og topografi			Sidemannskontr. MDMR	Oppdragsansvarlig SAHS		
			FAG RIG	Målestokk		
			Dato 09.11.2022			
			Oppdragsnr. A246122	Status		
			Tegning nr.	5		Rev.



Rev.	Dato	Revideringen gjelder	Nr.	Saksb.	Sidem.k.	Oppdr.o.
		Follummoen - Områdestabilitet	Tegnet av OSLD		Saksbehandler	
			Sidemannskontr. MDMR		Oppdragssvarlig SAHS	
			FAG RIG		Målestokk	
			Date 09.11.2022			
			Oppdragsnr. A246122		Status	
			Tegning nr.			
			6	Rev.		



Rev.	Dato	Revideringen gjelder	Nr.	Saksb.	Sidem.k.	Oppdr.o.
		Follummoen - Områdestabilitet	Tegnet av OSLD		Saksbehandler	
			Sidemannskontr. MDMR	Oppdragssvarlig SAHS		
			FAG RIG	Målestokk		
			Date 09.11.2022			
			Oppdragsnr. A246122	Status		
			Tegning nr.			
			7	Rev.		

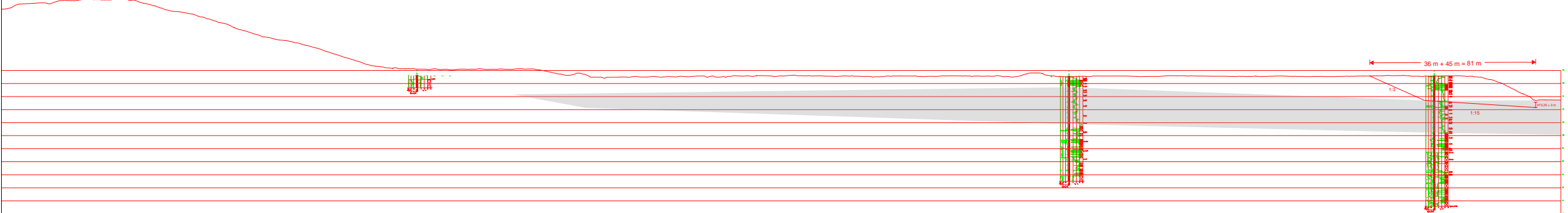
Koordinatsystemer
Horisontalt: UTM Sone 32
Vertikalt: NN2000

COWI

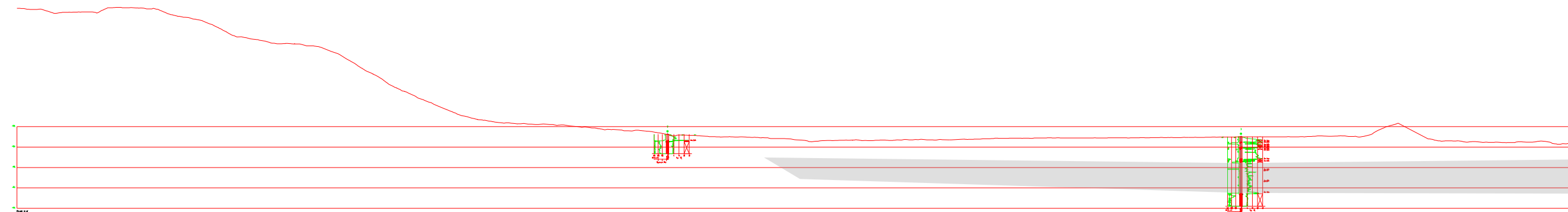




Rev.	Dato	Revideringen gjelder	Nr.	Saksb.	Sidem.k.	Oppdr.o.
		Follummoen - Områdestabilitet	Tegnet av OSLD		Saksbehandler	
		Snitt 4-5-6 Grunnforhold og topografi	Sidemannskontr. MDMR	Oppdragssvarlig SAHS		
			FAG RIG	Målestokk		
			Date 09.11.2022			
			Oppdragsnr. A246122	Status		
			Tegning nr.			
			8	Rev.		



Rev.	Dato	Revideringen gjelder	Nr.	Saksb.	Sidem.k.	Oppdr.o.
		Follummoen - Områdestabilitet	Tegnet av	OSLD	Saksbehandler	
			Sidemannskontr.	MDMR	Oppdragssvarlig	
			FAG	RIG	SAHS	
			Date	09.11.2022	Målestokk	
			Oppdragsnr.	OSLD	Status	
			Tegning nr.			
			9	Rev.		

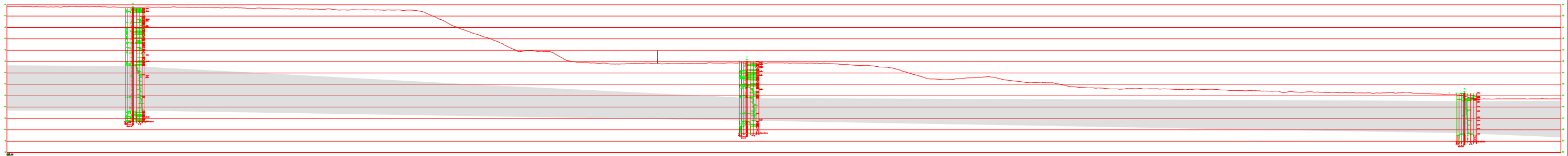


Rev.	Dato	Revideringen gjelder	Nr.	Saksb.	Sidem.k.	Oppdr.o.
		Follummoen - Områdestabilitet	Tegnet av OSLD		Saksbehandler	
			Sidemannskontr. MDMR		Oppdragssvarlig SAHS	
			FAG RIG		Målestokk	
			Date 09.11.2022			
			Oppdragsnr. A246122		Status	
			Tegning nr.			
			10	Rev.		

Koordinatsystemer
Horizontalt: UTM Sone 32
Vertikalt: NN2000

COWI





Tydelig gjennomgående bløtt lag for snittet mellom borpunkt 19-17-16.

Rev.	Dato	Revideringen gjelder	Nr.	Saksb.	Sidem.k.	Oppdr.a.
		Follummoen - Områdestabilitet	Tegnet av OSLD		Saksbehandler	
			Sidemannskontr. MDMR		Oppdragssvarlig SAHS	
			FAG RIG		Målestokk	
			Date 09.11.2022			
			Oppdragsnr. A246122		Status	
			Tegning nr.			
			10	Rev.		

Vedlegg 8

Berg i dagen -registreringer fra Google Street view

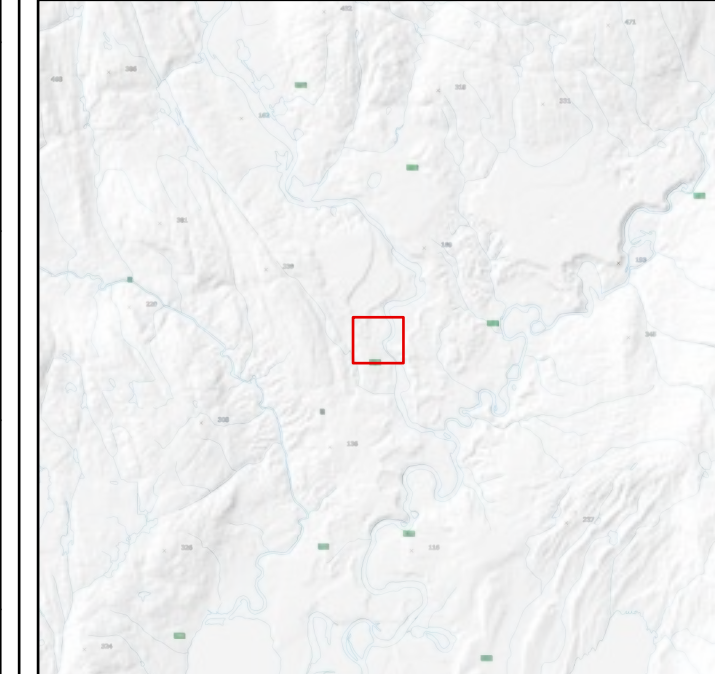
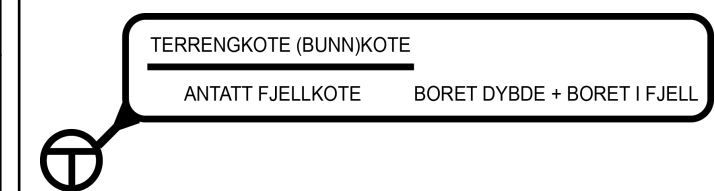




Berg i dagen-Registreringer

Tegnforklaring

- GEO_Intern_Berg_i_dagen_punkt
- GEO_Intern_Berg_i_dagen_linje



Prosjekt	Follummoen geoteknikk
Prosjekt nr.	A246122
Oppdragsgiver	Ringerike kommune
Dato	08.06.2023
Tegning nr.	2
Tegnet av	OSLD
Sidemannskontroll	MDMR
Godkjent	SAHS
Format	A3
Kilde	Kartverket, COWI
Koordinatsystem	ETRS 1989 NTM Zone 10
Høydesystem	NN2000
Målestokk	1:4 000

Vedlegg 9

Datarapport: Supplerende grunnundersøkelser, COWI 2022

JANUAR 2023
RINGERIKE KOMMUNE

FOLLUMMOEN SUPPLERENDE GU

GEOTEKNISK DATARAPPORT



COWI

ADRESSE COWI AS
Karvesvingen 2
Postboks 6412 Etterstad
0605 Oslo
TLF +47 02694
WWW cowi.no

JANUAR 2023
RINGERIKE KOMMUNE

FOLLUMMOEN SUPPLERENDE GU

GEOTEKNISK DATARAPPORT

OPPDRAKSNR. DOKUMENTNR.
A248227 A248227 -RAP-RIG-001

VERSJON	UTGIVELSESDATO	BESKRIVELSE	UTARBEIDET	KONTROLLERT	GODKJENT
1.0	20.01.2023	RIG	SESB	CHFS	OSLD

INNHOLD

1	Innledning	7
1.1	Generelt	7
1.2	Formål	8
1.3	Endringslogg	8
2	Grunnundersøkelser	9
2.1	Eksisterende geoteknisk grunnlag	9
2.2	Feltarbeid	10
2.3	Laboratorieundersøkelser	10
2.4	Avvik	10
3	Undersøkelsesresultater	12
3.1	Presentasjon av resultater	12
3.2	Grunnforhold	12
3.3	Konklusjon	13
3.4	Kontroll av grunnundersøkelser	13
4	Tegning-, vedlegg- og tilleggslister	14

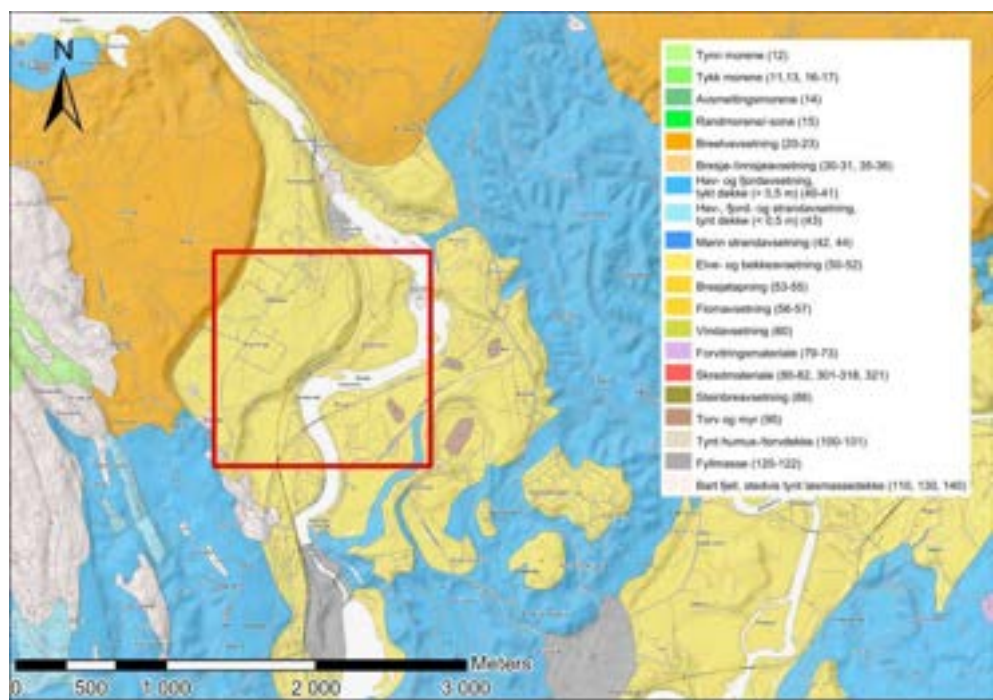
1 Innledning

COWI AS har utført supplerende grunnundersøkelsjer i Hønefoss, i forbindelse med mulig industriutvikling på Follummoen samt utredning av områdestabilitet. Oppdraget er bestilt av Ringerike kommune.

Foreliggende rapport presenterer resultatene fra geotekniske grunnundersøkelsjer utført av COWI AS i uke 50 og 51, 2022.

1.1 Generelt

Kvartærgeologisk kart fra Norges geologiske undersøkelse (NGU), viser at området hovedsakelig består av elve- og bekkeavsetninger (fluvial avsetning). Det registreres fyllmasser (antropogent materiale), breelvavsetning (glasifluvial avsetning) samt hav- og fjordavsetning i omkringliggende områder, se Figur 1.



Figur 1: Løsmassekart fra NGU.no. Rød markering angir undersøkelsesområdet.
Inneholder data under Norsk lisens for offentlig data (NLOD) tilgjengiggjort av NGU.

1.2 Formål

Foreliggende rapport presenterer supplerende grunnundersøkelser utført i forbindelse med mulig industriutvikling på Follummoen samt utredning av områdestabilitet.

1.3 Endringslogg

Versjon	Dato	Utarbeider	Beskrivelse av endring
1.0	20.01.2023	SESB	Første utgave

2 Grunnundersøkelser

Feltundersøkelsene ble utført i uke 50 og 51, 2022, med geoteknisk borerigg av typen Geotech 605, henholdsvis under ledelse av borformann Adam Kihlbom og Daniel Maberg.

Feltundersøkelsene ble utført i henhold til Norsk geoteknisk forenings (NGF) meldinger samt Statens Vegvesen Håndbok R211 *Feltundersøkelser*.

2.1 Eksisterende geoteknisk grunnlag

Nasjonal database for grunnundersøkelser (NADAG) viser at det eksisterer geoteknisk grunnlag i planområdet. Tidligere geotekniske grunnundersøkelser i området framgår av Tabell 1 under.

Tabell 1: Oversikt over eksisterende grunnundersøkelser

Dokument nr.	Utførende	Oppdragsnavn	Utgitt år
A082437-RIG-N-01	COWI AS	Follummoen GU	2016

Resultater fra overnevnte rapport omhandles ikke i foreliggende datarapport. Eksisterende grunnundersøkelser med boredybder er vist på detaljert borplan i Tegning 2, men ikke plottet opp i profil eller vist i borpunktliste.

2.2 Feltarbeid

Feltarbeidet omfattet:

- 5 stk. totalsonderinger
- 1 stk. trykksonderinger (CPTu)
- 1 stk. prøveserier

2.3 Laboratorieundersøkelser

De opptatte prøvene er undersøkt i laboratoriet hos Løvlien Georåd med tanke på klassifisering og identifisering av jordart.

Følgende undersøkelser ble utført:

- 2 stk. rutineundersøkelser på sylinderprøver (Ø54). Rutineundersøkelser av sylinderprøvene omfatter visuell beskrivelse av prøvemateriale, bestemmelse av densitet, 3 stk. vanninnhold, 2 stk. konus u/o, og 1 stk. enaks.
- 2 stk. plastisitet- og flytegrense (wp/wl) på utvalgte prøver
- 1 stk. kornfordelingsundersøkelse ved kombianalyse

2.4 Avvik

- Det ble ingen bergpåvisning i borpunkt 2 på grunn av at vanntanken gikk tom. Det ble anvendt mye spyling i dette punktet i tillegg var det begrenset med tilgang på vann i skogen.
- Det ble ingen bergpåvisning i borpunkt 6 på grunn av utilstrekkelig med vann i vanntanken.
- I borpunkt 1 er det registrert små avvik knyttet til korrekt rekkefølge for å ta på og av rotasjon, spyling og slag pga. kulde (minus 15 grader celsius) og fare for at vannet skulle fryse. Det ble benyttet slag uten spyling for å komme forbi stein.
- I borpunkt 2 og 3 er det registrert et større avvik knyttet til korrekt rekkefølge for å ta på og av rotasjon, spyling og slag. Det ble benyttet slag uten spyling for å penetrere topplaget pga. kulde (minus 15 grader celsius) og fare for at vannet skulle fryse. Videre har spyletrykket delvis ikke blitt registrert i disse to sonderingene pga. at det har ligget lavere enn grensen på 1bar (0,10 MPa).
- I borpunkt 4 er det registrert et lite avvik knyttet til korrekt rekkefølge for å ta på og av rotasjon, spyling og slag pga. kulde (minus 15 grader) og fare

for at vannet skulle fryse. Det ble kun benyttet spyling hvor det var nødvendig.

- I borpunkt 5 og 6 er det registrert mindre avvik knyttet til korrekt rekkefølge for å ta på og av rotasjon, spyling og slag. Det ble benyttet slag uten spyling for å penetrere topplaget pga. kulde (minus 9 grader) og fare for at vannet skulle fryse. Det ble kun benyttet spyling hvor det var nødvendig.

Det er ikke registrert noen avvik fra planlagt borprogram eller fra opprinnelig bestilling til geoteknisk laboratorium.

Tap av boreutstyr

Det er ikke registrert noe tap av utstyr.

3 Undersøkelsesresultater

3.1 Presentasjon av resultater

Lokalitet er vist på Figur 1 og Tegning 1.

Borplanoversikt og topografisk kart er vist i Tegning 2-0.

Borpunktene plassering med boredybder er vist på borplan, Tegning 2-1 – 2-2. Det er benyttet kartdatum EUREF 89 UTM sone 32 med høyderefaranse NN2000.

Borpunktene er målt inn med en GNSS-mottaker, der samtlige målinger har en nøyaktighet på max. 5 cm.

Resultater fra feltundersøkelser er vist i Vedlegg 1.

Resultater fra geoteknisk laboratorium er vist i Vedlegg 2.

Koordinat- og borpunktliste er vist i Vedlegg 3.

CPTu kalibreringsskjema er vist i Vedlegg 4.

Undersøkelsesmetoder er forklart i Tillegg 1, 2, 3, 4 og 5.

3.2 Grunnforhold

Terren

Terrengnivået for sonderingene ligger mellom kote + 119,52 meter over havet (moh.) ved borpunkt 6 til + 154,79 moh. ved borpunkt 2.

Berg

Det ble utført sikker bergpåvisning med 3,0 m innboring i berg i 4 borpunkt. I borpunkt 2 og 6 ble det utført henholdsvis 0,3 m og 1,5 m innboring i berg.

Bergkote i borpunktene varierer fra mellom + 89,51 moh. i borpunkt 5 til kote + 113,50 moh. i borpunkt 2.

Løsmasser

Den påtruffede løsmassemektigheten varierer fra mellom 9,77 m i borpunkt 1 til 52,75 m i borpunkt 2.

Det er tatt opp prøver fra 1 borpunkt for testing i geoteknisk laboratorium. Prøvedybdene er på mellom 17,0 og 21,0 meter under terreng.

Basert på borloggene består løsmassene generelt av mektige lag med høy bormotstand. Den generelle avstanden til berg varierer i planområdet, men løsmassemektigheten avtar generelt i retningen mot elvestrekningen Molvald.

Nedenfor er en kort beskrivelse av løsmassene som er analysert i laboratoriet. Resultatene er vist i sin helhet i Vedlegg 2.

Basert på borprofil fra laboratorieundersøkelsene består massene i borpunkt 5 av siltig leire i intervallene 17,0 – 18,0 m dybde og 20,0 – 21,0 m dybde.

Det er IKKE påvist kvikkleire iht. definisjonen i NVE veileder 1/2019 «Sikkerhet mot kvikkleireskred».

Materialene er beskrevet i henhold til NGF-melding nr. 2 utgitt i 1982, revisert 2011 "Veiledning for symboler og definisjoner i geoteknikk, identifisering og klassifisering av jord".

3.3 Konklusjon

Ytre forhold har ikke påvirket kvaliteten på feltarbeidet.

Prosedyrer og styringssystem er fulgt og det er ingen kvalitetsavvik.

3.4 Kontroll av grunnundersøkelser

Arbeidene samt egen- og sidemannskontroll er utført iht. COWIs Felthåndbok. Felthåndboken samsvarer med kravene i gjeldende NGF meldinger og retningslinjene i Statens Vegvesen (SVV) håndbok R211 *Feltundersøkelser*.

Utførelse og kvalitetssikring av rapporteringsarbeidet er utført i henhold til COWIs kvalitetssikringsrutiner.

4 Tegning-, vedlegg- og tilleggslister

Tegning	Nummer
---------	--------

Oversiktskart	1
Borplanoversikt	2-0
Detaljert borplan	2-1 – 2-2

Vedlegg	Nummer
---------	--------

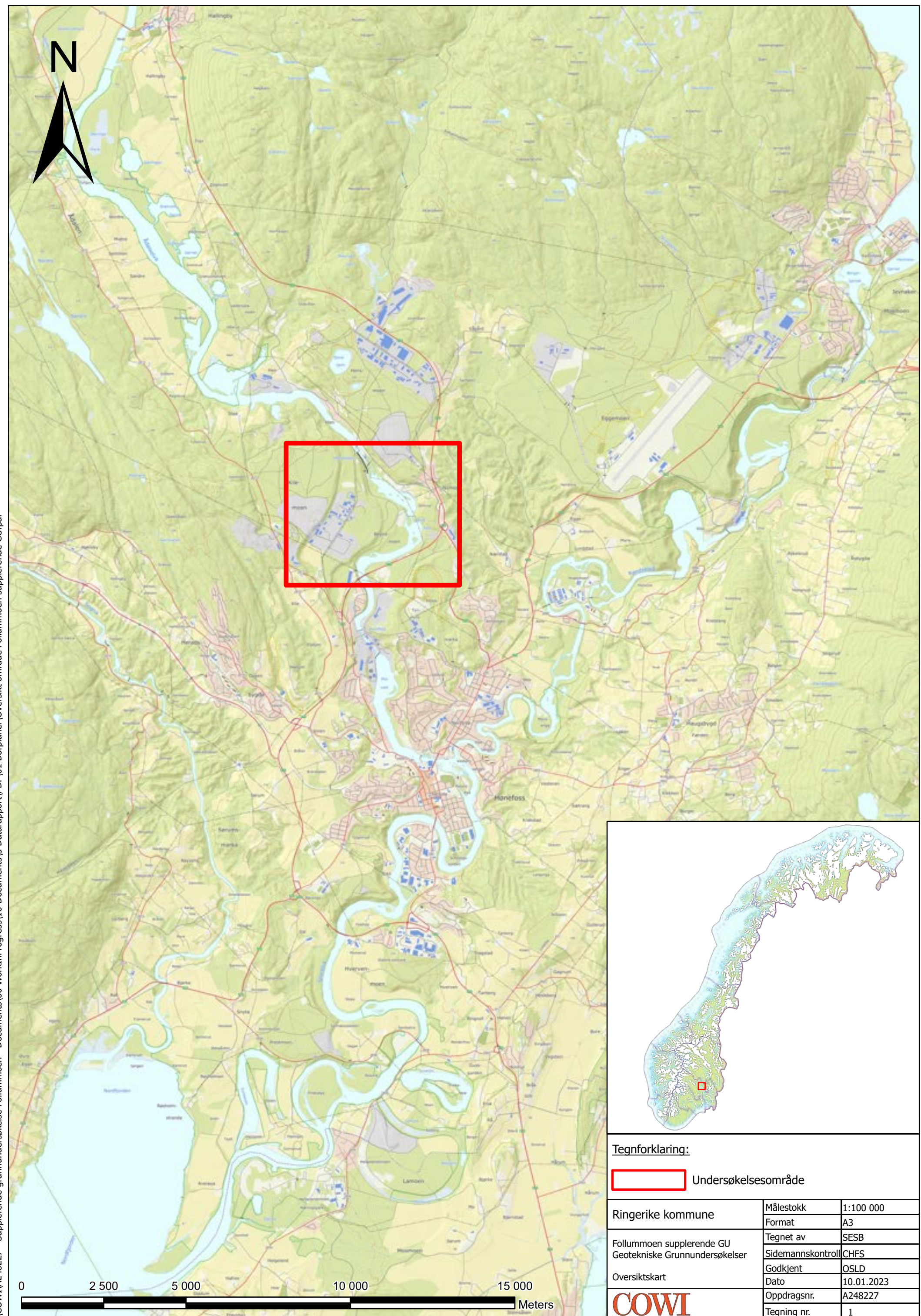
Resultater fra feltundersøkelser	1
Resultater fra geoteknisk laboratorium	2
Koordinat- og borpunktliste	3
CPTu kalibreringsskjema	4

Tillegg	Nummer
---------	--------

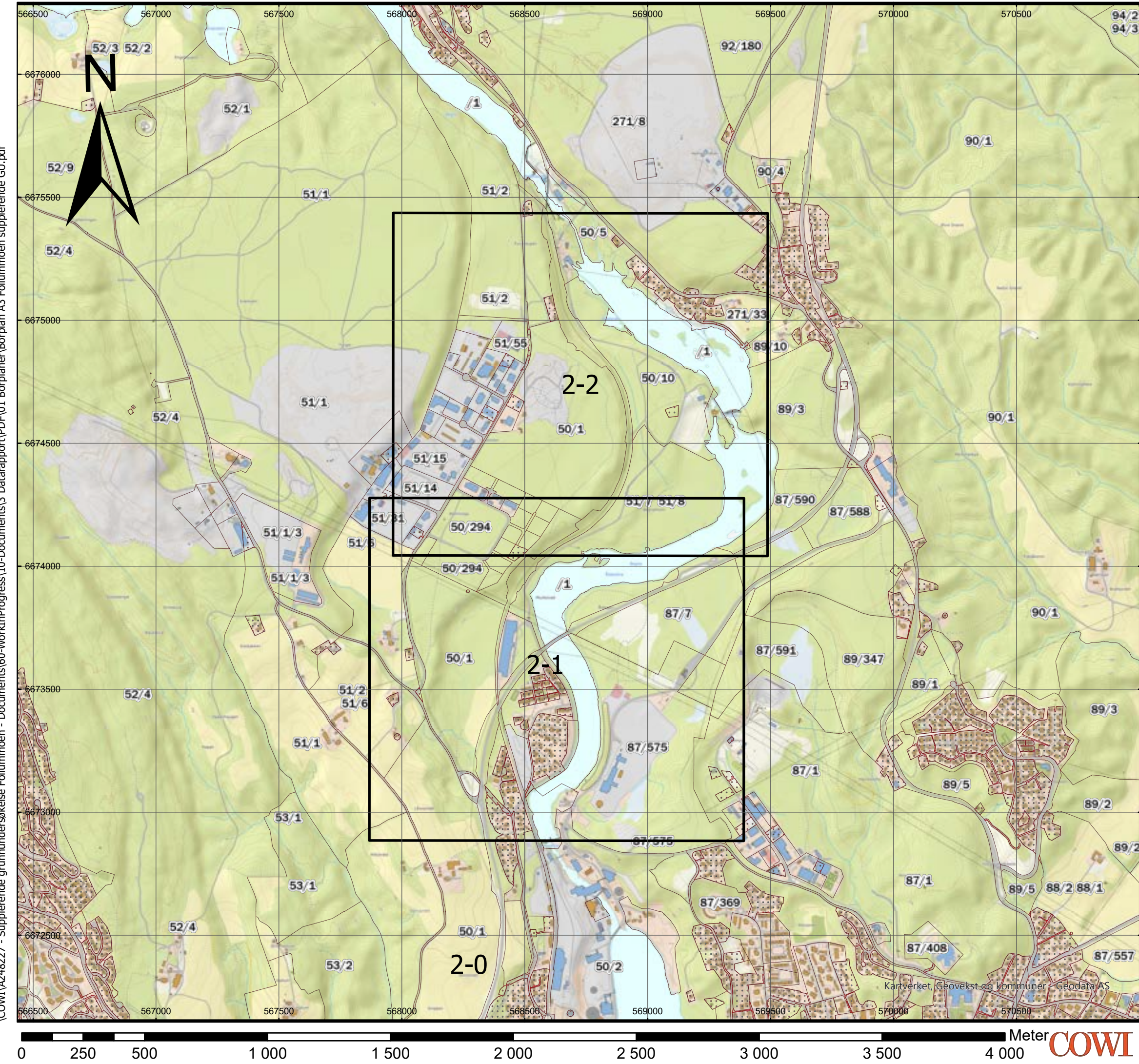
Beskrivelse av totalsonderinger	1
Beskrivelse av vingeboring	2
Beskrivelse av trykksondering	3
Beskrivelse av grunnvannstandsmåling	4
Beskrivelse av løsmasseprofil	5

Tegninger



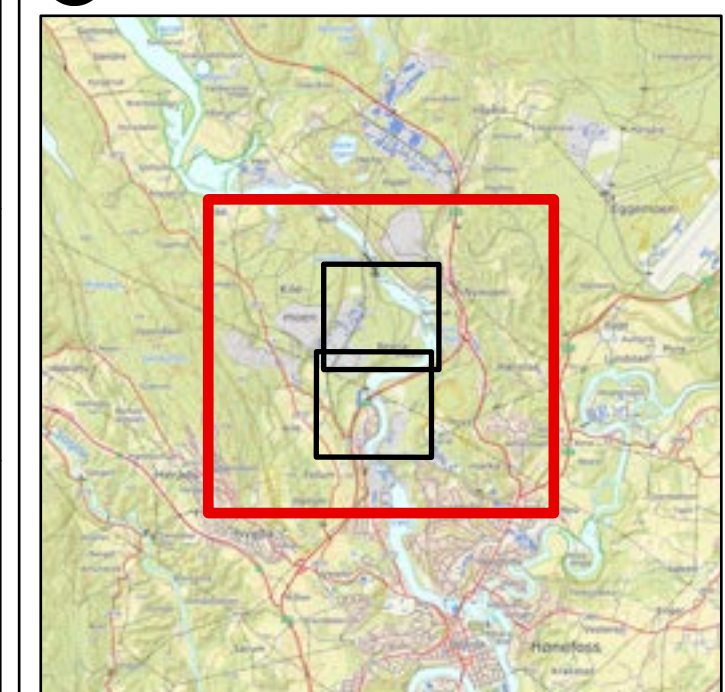


**Geotekniske grunnundersøkelser
Borplan 2-0**



TERRENGKOTE (BUNN)KOTE
 ANTATT FJELLKOTE BORET DYBDE + BORET I FJELL

*Grønn farge er grunnlag



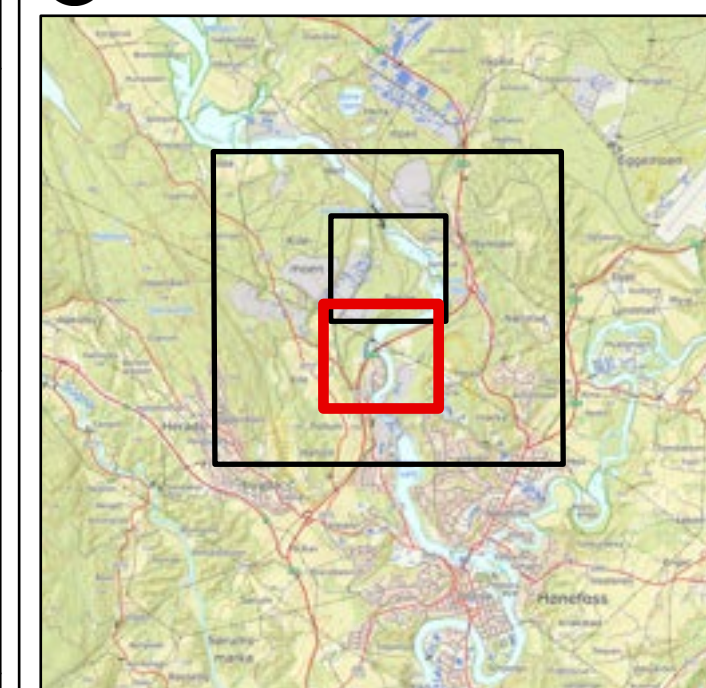
Prosjekt	Follummoen supplerende GU
Prosjekt nr.	A248227
Oppdragsgiver	Ringerike kommune
Dato	18.01.2023
Tegning nr.	2-0 (side 1 av 3)
Tegnet av	SESB
Sidemannskontroll	CHFS
Godkjent	OSLD
Format	A3
Kilde	Kartverket, COWI
Koordinatsystem	ETRS 1989 UTM Zone 32N
Høydesystem	NN2000
Målestokk	1:15 000

Tegnforklaring

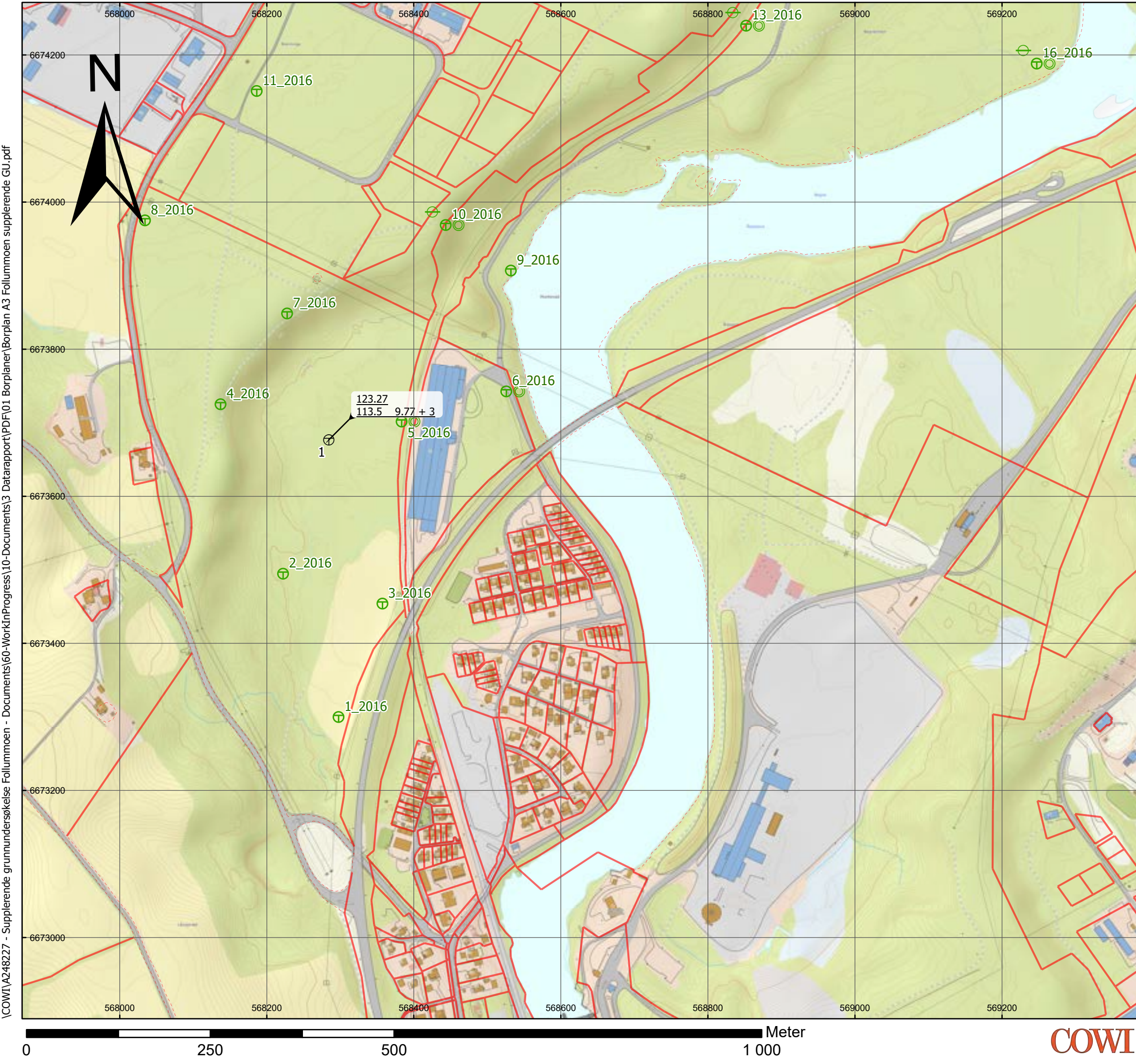
- ⊕ Totalsondering
- Annet
- Prøveserie
- ⊖ Poretrykksmåling
- ⊕ Totalsondering
- Eiendomsgrense

TERRENGKOTE (BUNN)KOTE
ANTATT FJELLKOTE BORET DYBDE + BORET I FJELL

*Grønn farge er grunnlag



Prosjekt	Follummoen supplerende GU
Prosjekt nr.	A248227
Oppdragsgiver	Ringerike kommune
Dato	18.01.2023
Tegning nr.	2-1 (side 2 av 3)
Tegnet av	SESB
Sidemannskontroll	CHFS
Godkjent	OSLD
Format	A3
Kilde	Kartverket, COWI
Koordinatsystem	ETRS 1989 UTM Zone 32N
Høydesystem	NN2000
Målestokk	1:5 000

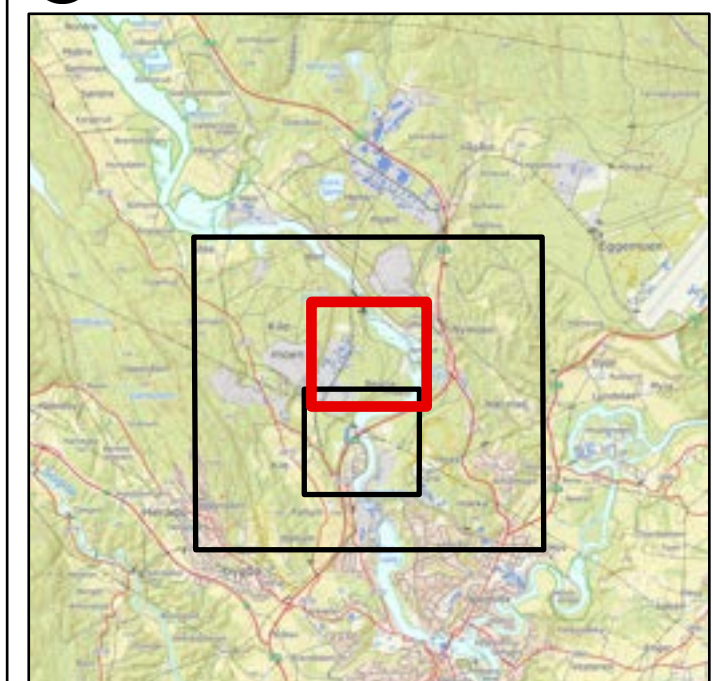


Tegnforklaring

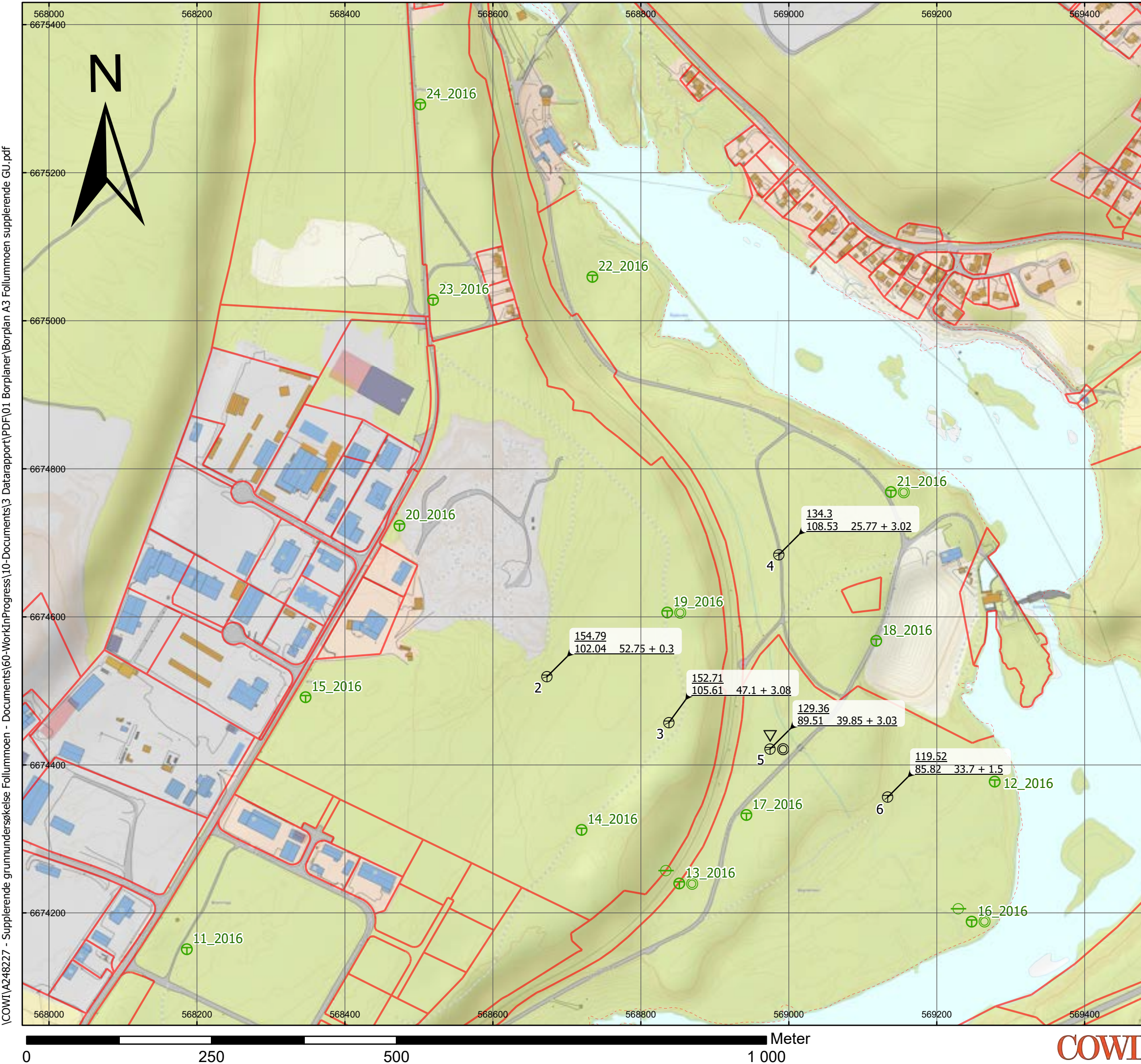
- ⊕ Totalsondering
- Annet
- Prøveserie
- ⊖ Poretrykksmåling
- ⊕ Totalsondering
- Prøveserie
- ▽ Trykksøring
- Eiendomsgrense

TERRENGKOTE (BUNN)KOTE
ANTATT FJELLKOTE BORET DYBDE + BORET I FJELL

*Grønn farge er grunnlag

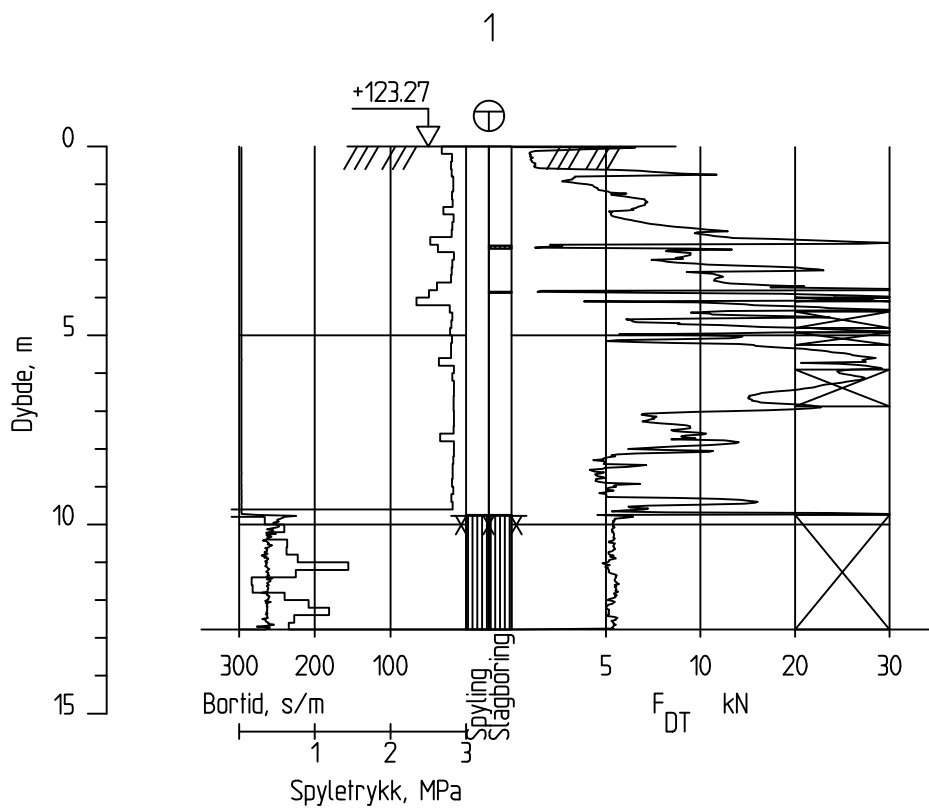


Prosjekt	Follummoen supplerende GU
Prosjekt nr.	A248227
Oppdragsgiver	Ringerike kommune
Dato	18.01.2023
Tegning nr.	2-2 (side 3 av 3)
Tegnet av	SESB
Sidemannskontroll	CHFS
Godkjent	OSLD
Format	A3
Kilde	Kartverket, COWI
Koordinatsystem	ETRS 1989 UTM Zone 32N
Høydesystem	NN2000
Målestokk	1:5 000



Vedlegg 1

Resultater fra feltundersøkeler

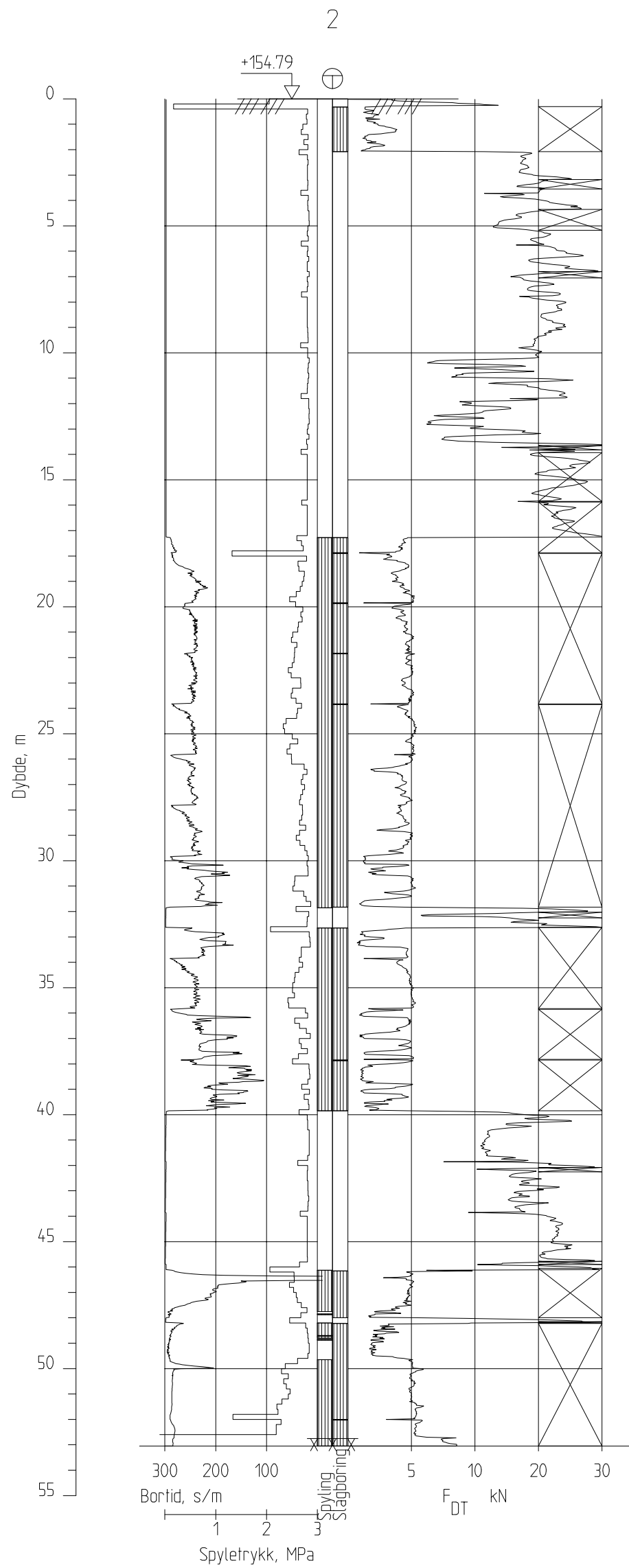


Dato boret : 15.12.2022

Posisjon: X 6673676.74 Y 568284.43

Totalsondering	Sonderingsnummer Borhull 1		
Supplerende grunnundersøkelser Follummoen	Målestokk $M = 1 : 200$	Godkjent OSLD	
	Fag RIG	Kontrollert AEPN	
	Dato 10.01.2022	Format A4	Tegnet SESB
	Oppdragsnummer A248227	Tegningsnummer Borhull 1	

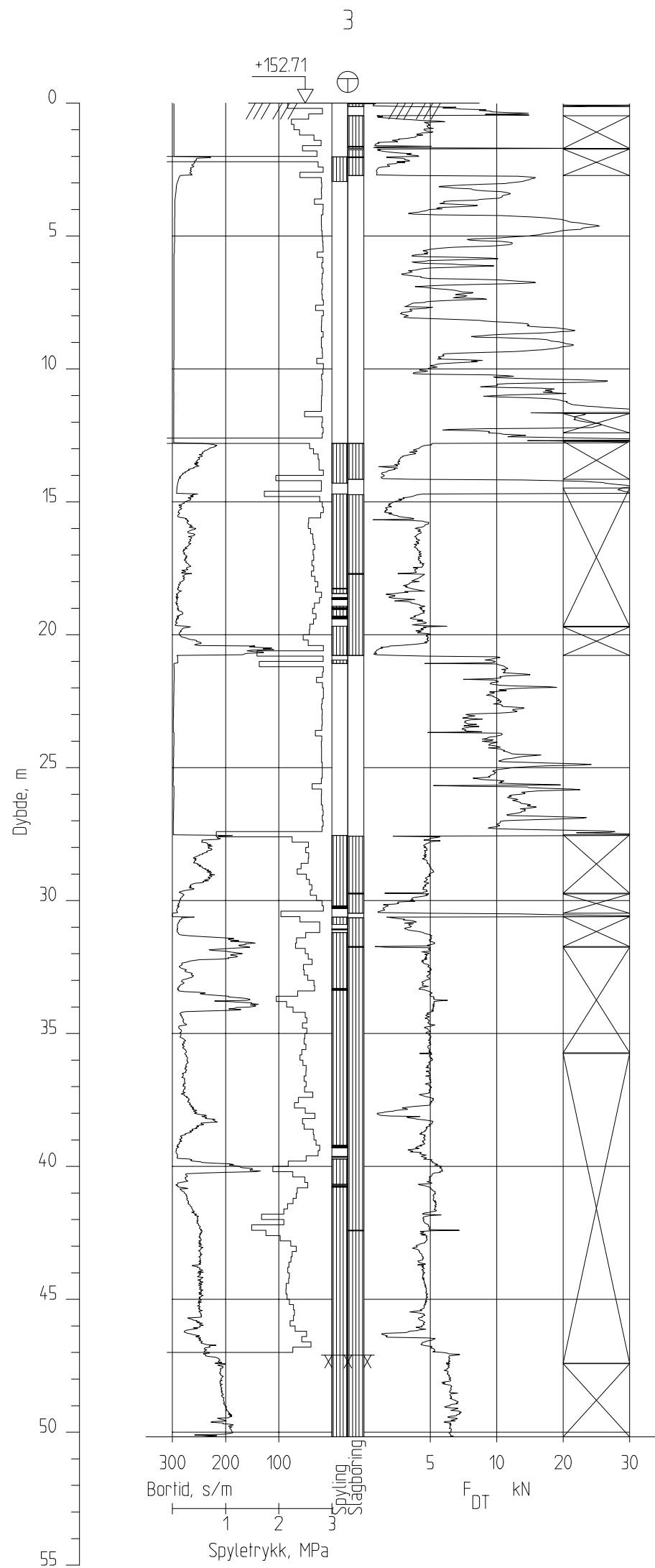
COWI



Dato boret :14.12.2022

Posisjon: X 6674519.10 Y 568673.17

Totalsondering		Sondningsnummer Borhull 2	
Supplerende grunnundersøkelser Follummoen		Målestokk M = 1 : 200	Godkjent OSLD
Fag	RIG	Fag	Kontrollert AEPN
Dato 10.01.2022	Format A4	Tegningsnummer A248227	Tegnet SESB
Oppdragsnummer A248227	Borhull 2		

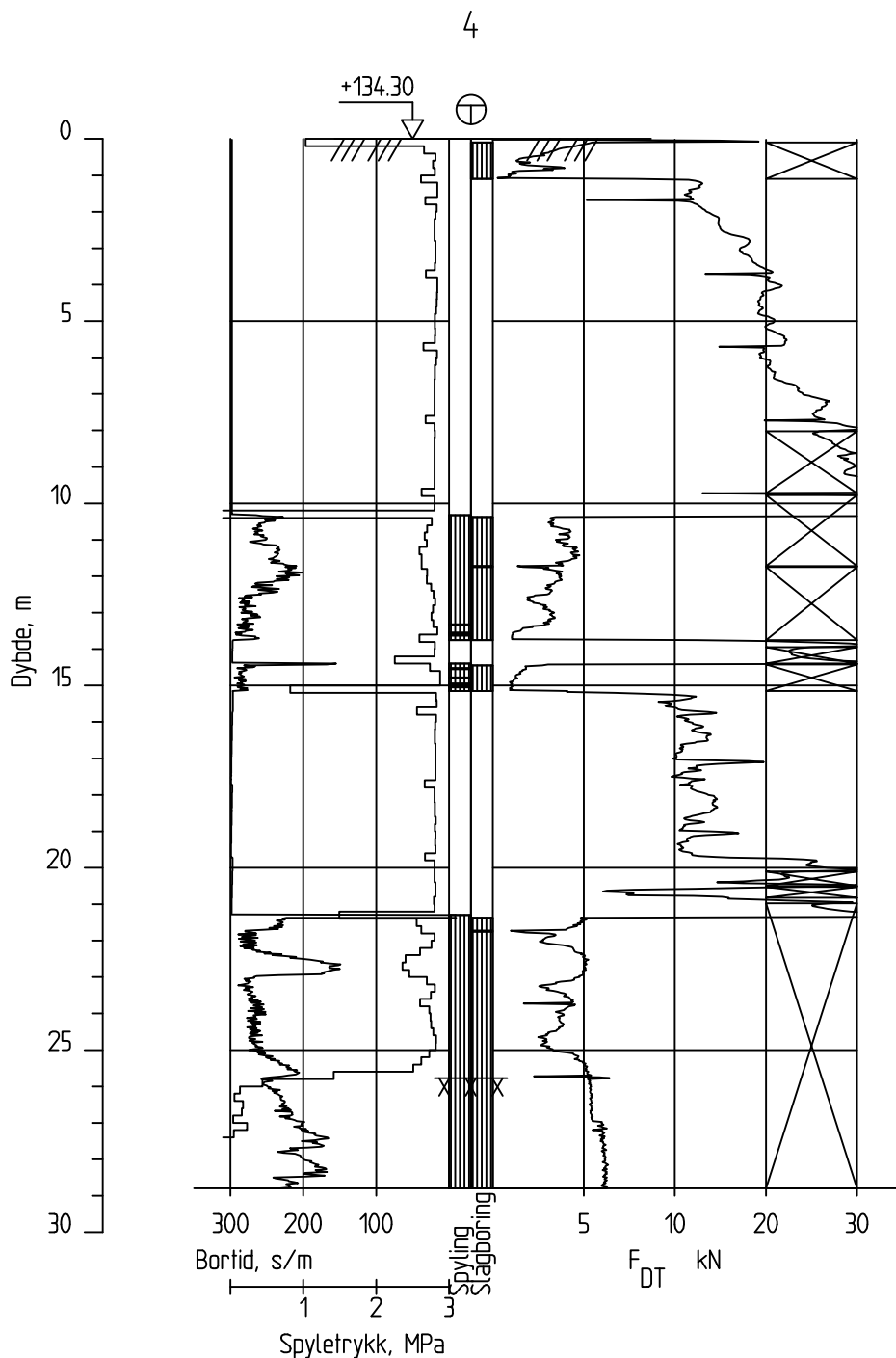


Dato boret :14.12.2022

Posisjon: X 6674457.00 Y 568837.91

Totalsondering	Sondningsnummer Borhull 3	
Supplerende grunnundersøkelser Follummoen	Målestokk M = 1 : 200	Godkjent OSLD
	Fog RIG	Kontrollert AEPN
	Dato 10.01.2022	Format A4
	Oppdragsnummer A248227	Tegningsnummer Borhull 3

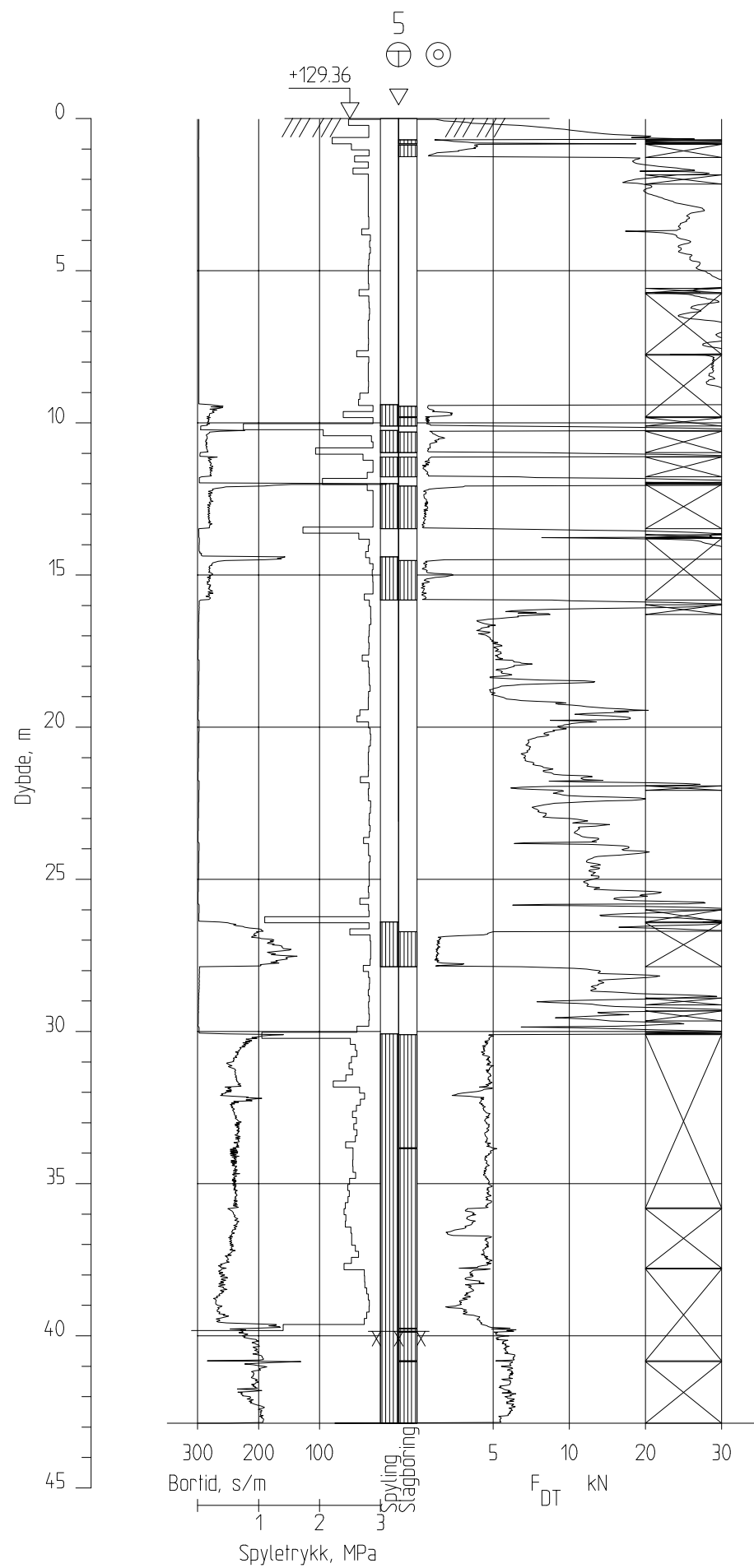
COWI



Dato boret :13.12.2022

Posisjon: X 6674683.90 Y 568986.53

Totalsondering	Sonderingsnummer Borhull 4		
Supplerende grunnundersøkelser Follummoen	Målestokk $M = 1 : 200$	Godkjent OSLD	
	Fag RIG	Kontrollert AEPN	
	Dato 10.01.2022	Format A4	Tegnet SESB
	Oppdragsnummer A248227	Tegningsnummer Borhull 4	



Dato boret :19.12.2022

Posisjon: X 6674421.35 Y 568974.78

Totalsondering	Sondningsnummer Borhull 5	
Supplerende grunnundersøkelser Follummoen	Målestokk M = 1 : 200	Godkjent OSLD
	Føg RIG	Kontrollert AEPN
	Dato 10.01.2022	Format A4
	Oppdragsnummer A248227	Tegningsnummer Borhull 5

COWI

Sonde og utførelse

Sonenummer	4898	Boreleder	DAMG
Type sonde	Nova	Temperaturendring (°C)	1,1
Kalibreringsdato	02.11.2022	Maks helning (°)	30,6
Dato sondering	19.12.2022	Maks avstand målinger (m)	0,02
Filtertype	Spaltefilter		

Kalibreringsdata

	Spissmotstand	Sidefriksjon	Poretrykk
Maksimal last (MPa)	50	0,5	2
Måleområde (MPa)	50	0,5	2
Skaleringsfaktor	1599	3616	3608
Oppløsning 2 ¹² bit (kPa)	-	-	-
Oppløsning 2 ¹⁸ bit (kPa)	0,4771	0,0105	0,0211
Arealforhold	0,8420	0,0000	
Maks ubelastet temp. effekt (kPa)	19,074	0,453	1,669
Temperaturområde (°C)	35		

Nullpunktsskontroll

	NA	NB	NC
Registrert før sondering (kPa)	5883,5	136,3	255,0
Registrert etter sondering (kPa)	46,3	-5,7	-0,6
Avvik under sondering(kPa)	46,3	5,7	0,6
Maksimal temperatureffekt (kPa)	0,6	0,0	0,1
Maksverdi under sondering (kPa)	27088,5	189,4	1742,7

Vurdering av anvendelsesklasse ihht. ISO 22476-1:2012

	Spissmotstand	Sidefriksjon	Poretrykk	
	(kPa)	(%)	(kPa)	(%)
Samlet nøyaktighet (kPa)	47,4	0,2	5,7	3,0
Tillatt nøyaktighet klasse 1	35	5	5	10
Tillatt nøyaktighet klasse 2	100	5	15	15
Tillatt nøyaktighet klasse 3	200	5	25	15
Tillatt nøyaktighet klasse 4	500	5	50	20
Anvendelsesklasse	2	1	2	1
Anvendelsesklasse måleintervall	1			
Anvendelsesklasse	1			

Måleverdier under kapasitet/krav

Spissmotstand	Sidefriksjon	Poretrykk	Helning	Temperatur
OK	OK	OK	Ikke OK	OK

Kommentarer:

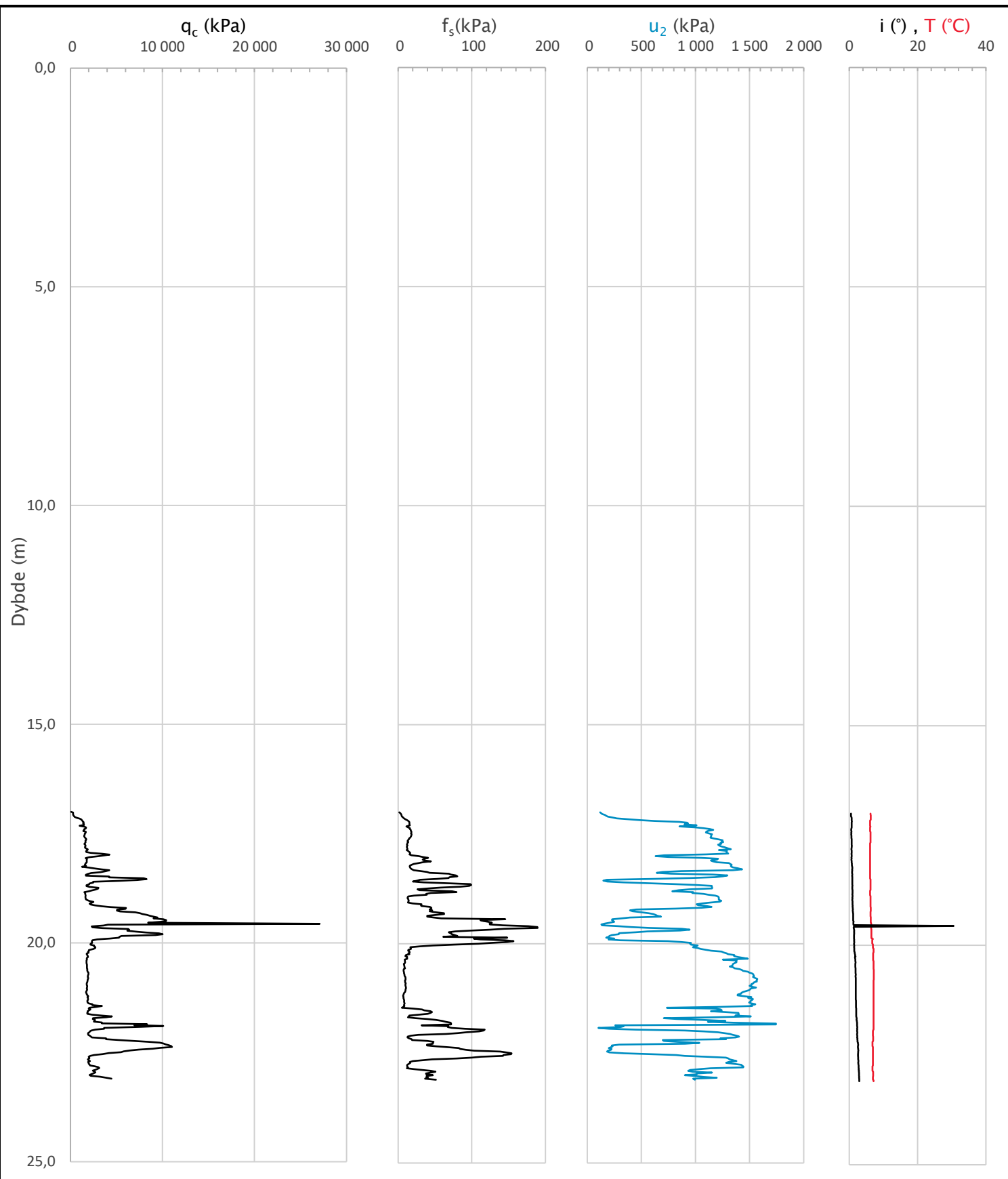
Forboret 17,0 m

Avvik på helning pga. ekstremverdi som oppstår på ca. 19,5 m dybde. Skyldes trolig stein.

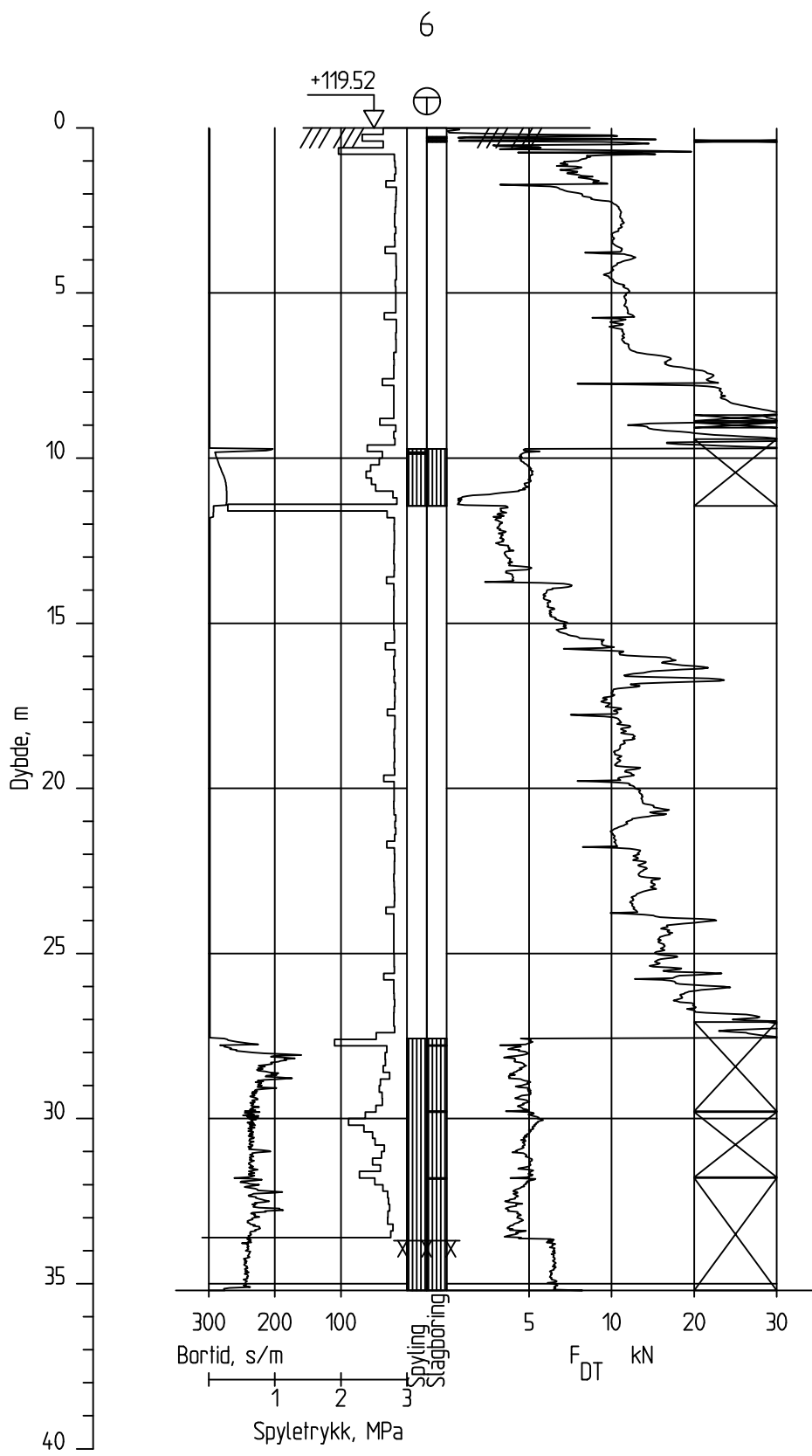
Prosjekt	Prosjektnummer: A248227 Rapportnummer: A248227-RAP-RIG-001	Borhull Kote +129,364
Supplerende grunnundersøkelser Follummoen		5

Innhold	Sondenummer
Dokumentasjon av utstyr og målenøyaktighet	4898

COWI	Utført SESB	Kontrollert OSLD	Godkjent CHFS	Anvend.klasse 1
	Divisjon Geo og felt	Dato sondering 19.12.2022	Revisjon Rev. dato	Figur CPT-1



Prosjekt	Prosjektnummer: A248227 Rapportnummer: A248227-RAP-RIG-001	Borhull Kote +129,364		
Supplerende grunnundersøkelser Follummoen		5		
Innhold		Sondenummer		
Måledata og korrigerte måleverdier		4898		
COWI	Utført SESB	Kontrollert OSLD	Godkjent CHFS	Anvend.klasse 1
	Divisjon Geo og felt	Date sondering 19.12.2022	Revisjon Rev. dato	Figur CPT-2



Dato boret : 12.12.2022

Posisjon: X 6674356.38 Y 569133.58

Totalsondering	Sonderingsnummer Borhull 6		
Supplerende grunnundersøkelser Follummoen	Målestokk $M = 1 : 200$	Godkjent OSLD	
	Fag RIG	Kontrollert AEPN	
	Dato 10.01.2022	Format A4	Tegnet SESB
	Oppdragsnummer A248227	Tegningsnummer Borhull 6	

Vedlegg 2
Resultater fra geoteknisk laboratorium



R01C00

Cowi AS

A248227 Grunnundersøkelser Follummoen,
Ringerike Kommune

Labresultater
Prosjekt 22683

Utførende laborant	Dato	Kontrollert av	Dato
LH <i>Laith Hussein</i>	05.01.23	KS <i>Kristen Størmean</i>	09.01.23

Bilagsoversikt

Løsmasseprofiler og laboratorieundersøkelser

C

Løsmasseprofiler	R01C01
Presentasjon enaksiale trykkforsøk	R01C21
Kornfordelingsanalyser	R01C41
Bilder av prøver	R01C91
Samleark rådata	R01C92
GB - laboratorieundersøkelser	

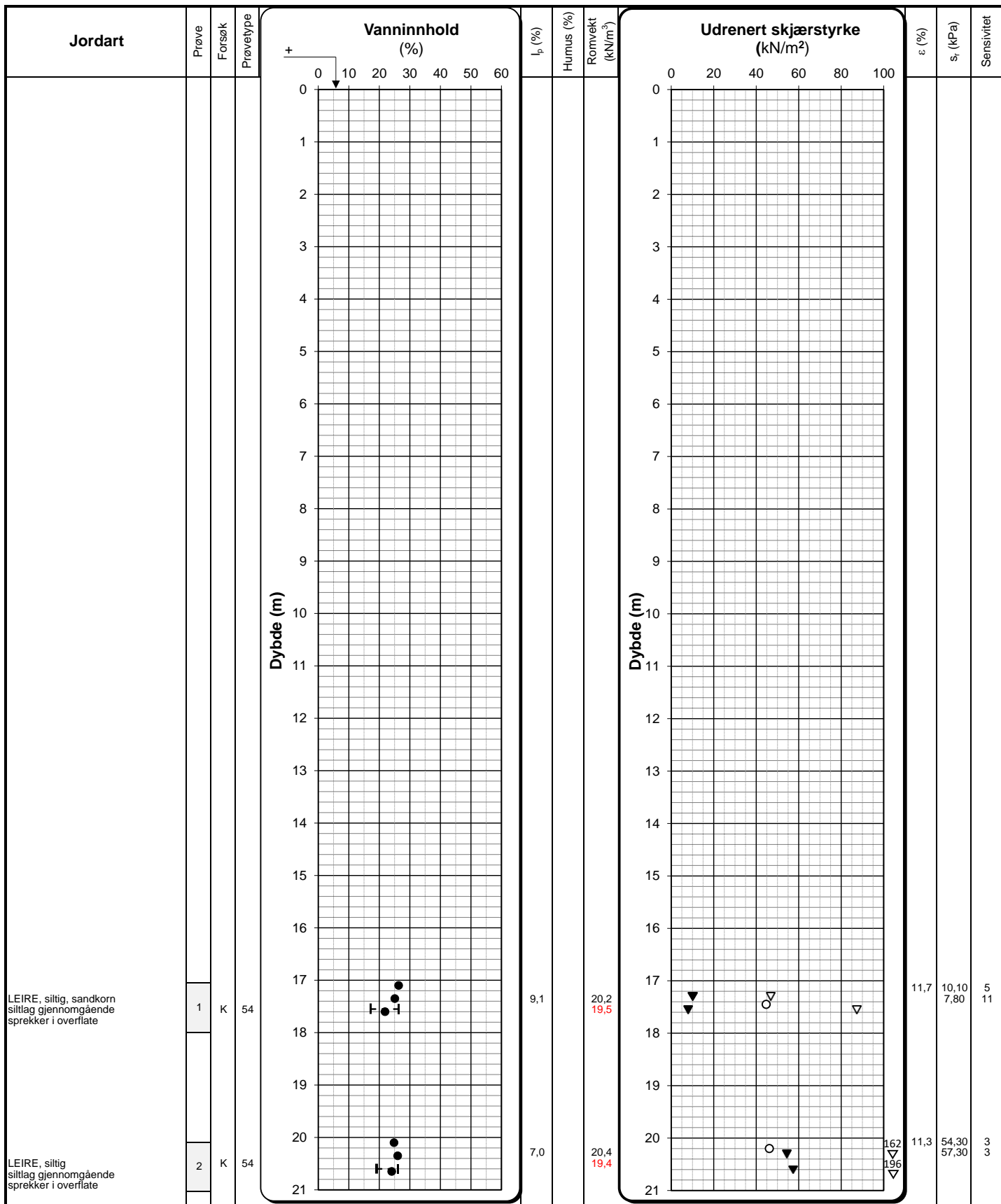
1.1 Laboratorieundersøkelser

Laboratorieundersøkelsene som ble utført er oppsummert i tabell 1.1.

Tabell 1.1 Oppsummering av utførte laboratorieundersøkelser.

Kode	Beskrivelse	Antall
10.5	Konsistensgrenser Ip	2
10.63	Slemmeanalyse	1
10.64	Kombianalyse NS 8005/8006	1
11.11	54 mm cylinder, leire, rutine	2

Resultater fra laboratorieundersøkelsene er presentert iht. bilagsoversikt, se tegning GB-laboratorieundersøkelser for forklaring av løsmasseprofil.



Enaksialforsøk
O = Omrørt konus
Uforstyrret konus
Plastisitets- og flytgrense
Målt vanninnhold

Forsøk:
▼ = Treaksialforsøk
Ø = Ødometerforsøk
K = Kornkurve
D = Kornndisitet

Prøvetype:
P = Representativ poseprøve
Tall = Diameter på sylinderprøve
V = Visuell vurdering på stedet

Romvekt:
Rømekt liten ring
Rømekt hel sylinder

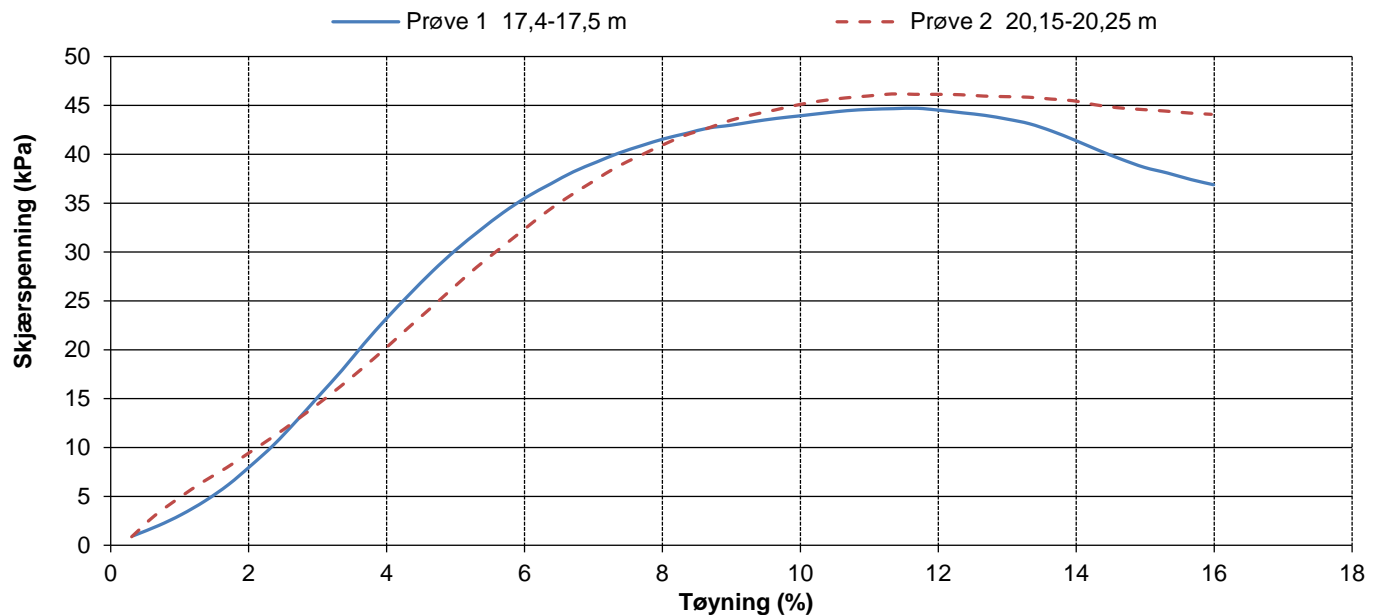
Humusinnhold:
Humus % total
Humus % av materiale < 2 mm

I_b = Plastisitetsindeks

ε = Aksial bruddtøyning enaksialforsøk

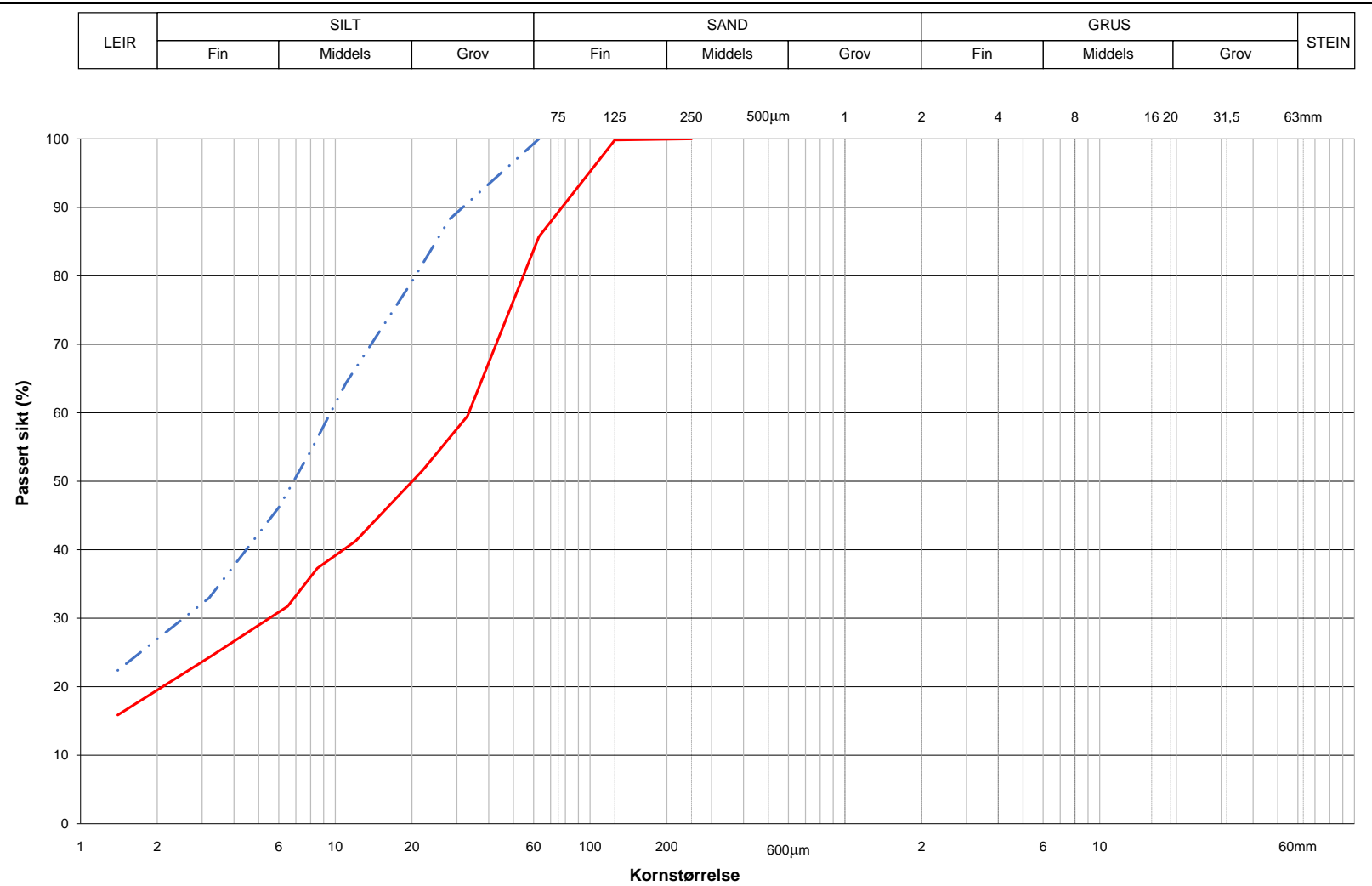
s_r = omrørt skjærstyrke fra konusforsøk iht. ISO 17892-6:2017

Enaks punkt 5



**Løvlien
Georåd**

Oppdragsgiver Cowi AS	Prosjekt nr. 22683	Tegning nr. R01C21
Prosjekt A248227 Grunnundersøkelser Follum	Dato 04.01.23	Borpunkt 5
Tittel Presentasjon av enakstester	Ansvarlig LH	Kontrollert KS



* Telefarligheten oppgis i forhold til materiale < 22,4 mm.

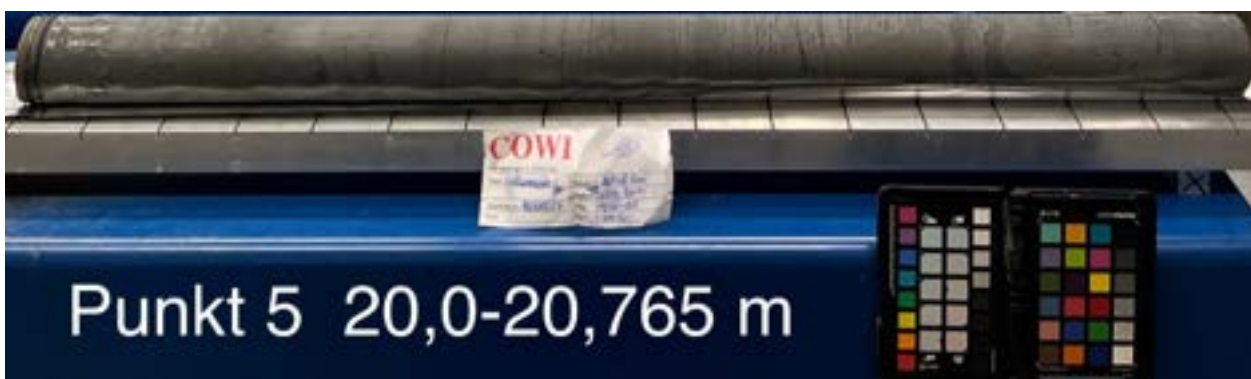
** Humus andelen oppgis som 2 verdier hvorav den første angir % i forhold til total masse, og den andre % i forhold til materiale < 2 mm

**22683 A248227 Grunnundersøkelser
Follummoen
Tegning nr.: R01C91
Bilde av prøver**

Oppdragsgiver:
Antall sider

Cowi AS v/ Charlotte Schive Fürst
1

Revisjon	Grunnlag	Dato
00	Første utgave	04.01.2023



Punkt	Vanninnhold						Plastisitetsgrense				Konus						Enaks			Middeldybde					Annet			
	Dybde w1 [m]	Vanninnhold [%]	Dybde w2 [m]	Vanninnhold [%]	Dybde w3 [m]	Vanninnhold [%]	Dybde lp [m]	Wp [%]	WL [%]	Ip [%]	Dybde f1 [m]	Su [kPa]	Sr [kPa]	St [-]	Dybde f2 [m]	Su [kPa]	Sr [kPa]	St [-]	Dybde [m]	Su aksiel [kPa]	Aksiell def. Enaks [%]	Dybde[m]	Tyngdetetthet liten ring [kN/m³]	Tyngdetetthet cylinder [kN/m³]	Humus < 2 mm [%]	Humus total [%]	Beskrivelse	
5	17,1	26,3	17,4	25,1	17,6	21,9	17,6	17,1	26,2	9,1	17,3	46,7	10,1	4,6	17,6	87,2	7,8	11,2	17,5	44,7	11,7	17,4	19,5	20,2			LEIRE, siltig, sandkorn	
5	20,1	24,8	20,4	26,0	20,7	24,1	20,6	19,1	26,1	7,0	20,3	162,1	54,3	3,0	20,6	196,2	57,3	3,4	20,2	46,2	11,3	20,4	19,4	20,4			LEIRE, siltig	

Vedlegg 3
Koordinat- og borpunktliste



Vedlegg 3

Koordinat- og borpunktsliste

A248227 - Follummoen supplerende GU

Borhull	Dato boret	Metode	Koordinater (EUREF89 UTM sone 32. NN2000)			Bergkote (moh.)	Boret i (m)		
			X	Y	Z		Løsmasser	Berg	Total
1	15.12.2022	Total	6673676,74	568284,43	+123,27	+113,50	9,77	3,00	12,77
2	14.12.2022	Total	6674519,10	568673,17	+154,79		52,75	0,30	53,05
3	14.12.2022	Total	6674457,00	568837,91	+152,71	+105,61	47,10	3,08	50,18
4	13.12.2022	Total	6674683,90	568986,53	+134,30	+108,53	25,77	3,02	28,79
5	19.12.2022	Total Cpt Prøve	6674421,35	568974,78	+129,36	+89,51	39,85	3,03	42,88
6	12.12.2022	Total	6674356,38	569133,58	+119,52		33,7	1,5	35,20

Vedlegg 4
CPTu kalibreringsskjema



Göteborg 2022-11-02

CALIBRATION CERTIFICATE FOR CPT PROBE 4898

Probe No	4898
Date of Calibration	2022-11-02
Calibrated by	Alexander Dahlén <i>Magnus Dahlén</i>
Run No	2401
Test Class:	ISO 1

Point Resistance	Tip Area 10cm ²
Maximum Load	50 MPa
Range	50 MPa
Scaling Factor	1599
Resolution	0,4771 kPa
Area factor (a)	0,842
Zero	5,844 MPa

ERRORS

Max. Temperature effect when not loaded 19,074 kPa
Temperature range 5 –40 deg. Celsius.

Local Friction	Sleeve Area 150cm ²
Maximum Load	0,5 MPa
Range	0,5 MPa
Scaling Factor	3616
Resolution	0,0105 kPa
Area factor (b)	0
Zero	133,28 kPa

ERRORS

Max. Temperature effect when not loaded 0,453 kPa
Temperature range 5 –40 deg. Celsius.

Pore Pressure	
Maximum Load	2 MPa
Range	2 MPa
Scaling Factor	3608
Resolution	0,0211 kPa
Zero	257,23 kPa

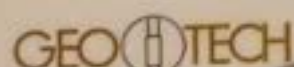
ERRORS

Max. Temperature effect when not loaded 1,669 kPa
Temperature range 5 –40 deg. Celsius.

Tilt Angle	
Scaling Factor	0,92
Range	0 - 40 Deg.

Backup memory

Temperature sensor



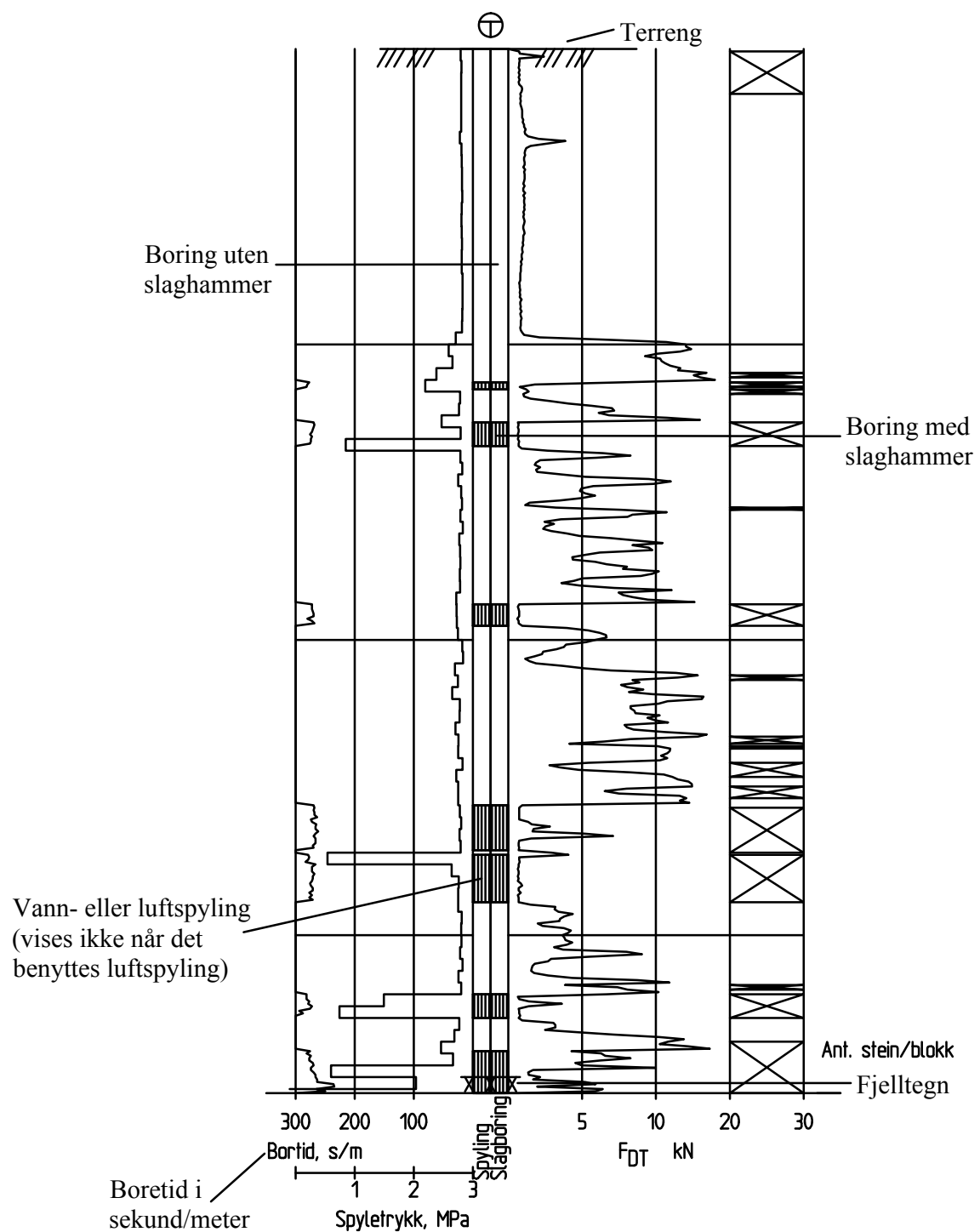
Specialists in
Geotechnical
Field Equipment

Ingenjörsvirman Geotech AB +46 (0)31-28 99 20 www.geotech.se
Datavägen 53 +46 (0)31-68 16 39 VAT No.

Tillegg

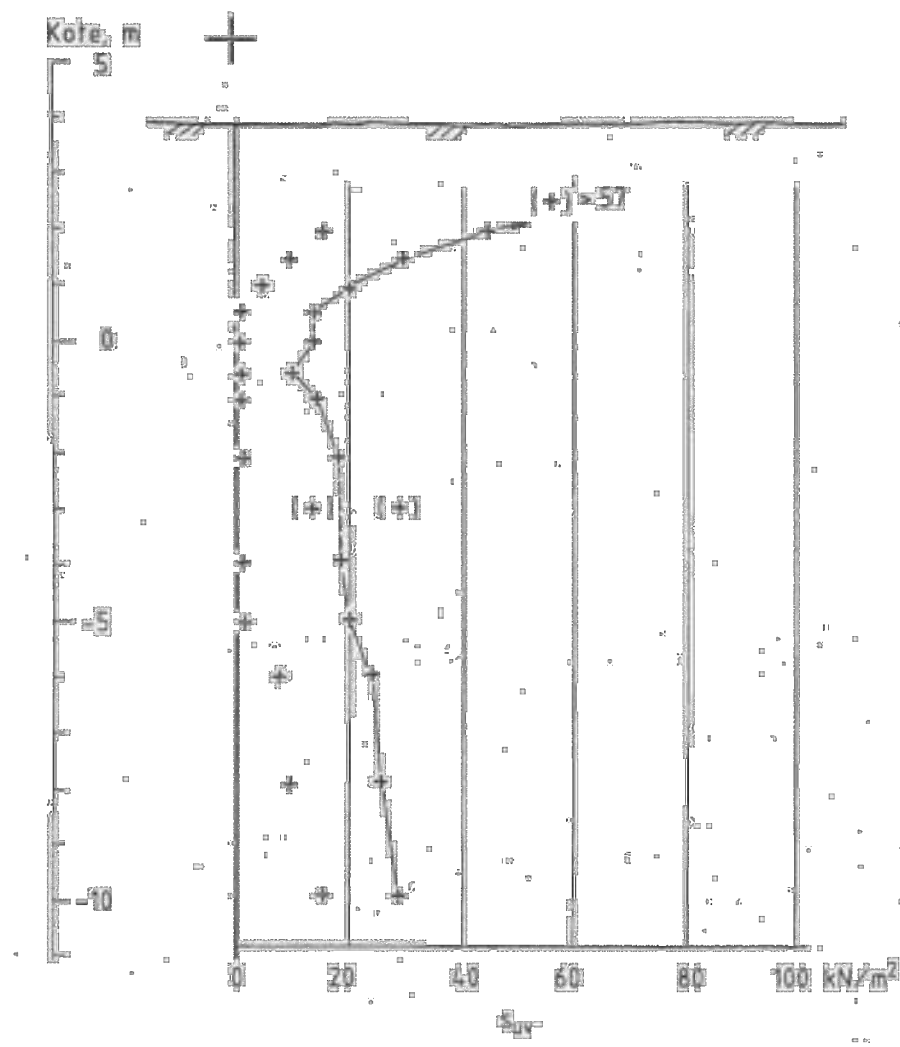


Eksempel på totalsondering med forklaring



Forklaring av vingeboring

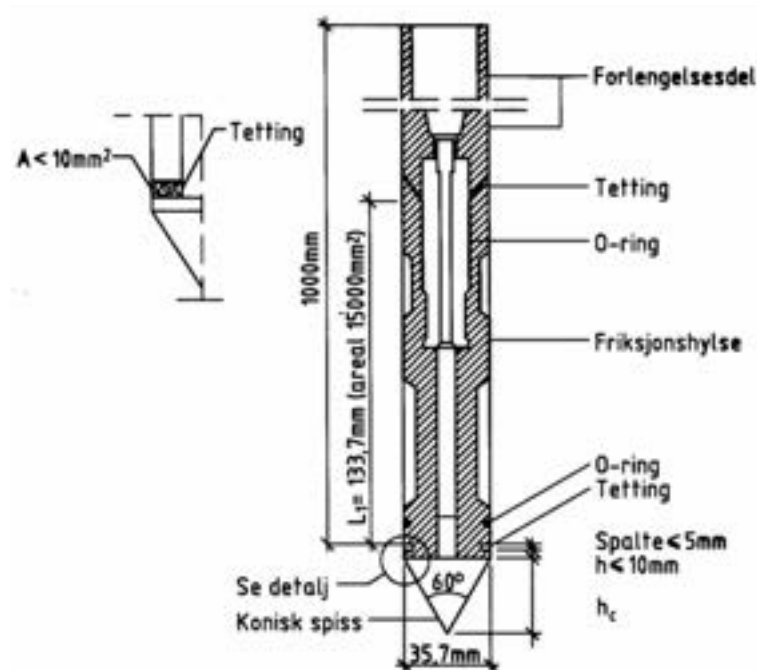
Borehullet markeres med enkel tykk strek.
Skjærstyrken S_{uv} og S_{uv} angis i kN/m^2 med tegnet +.
Verdier merket (+) anses ikke representative.



Forklaring av trykksondering (CPTU)

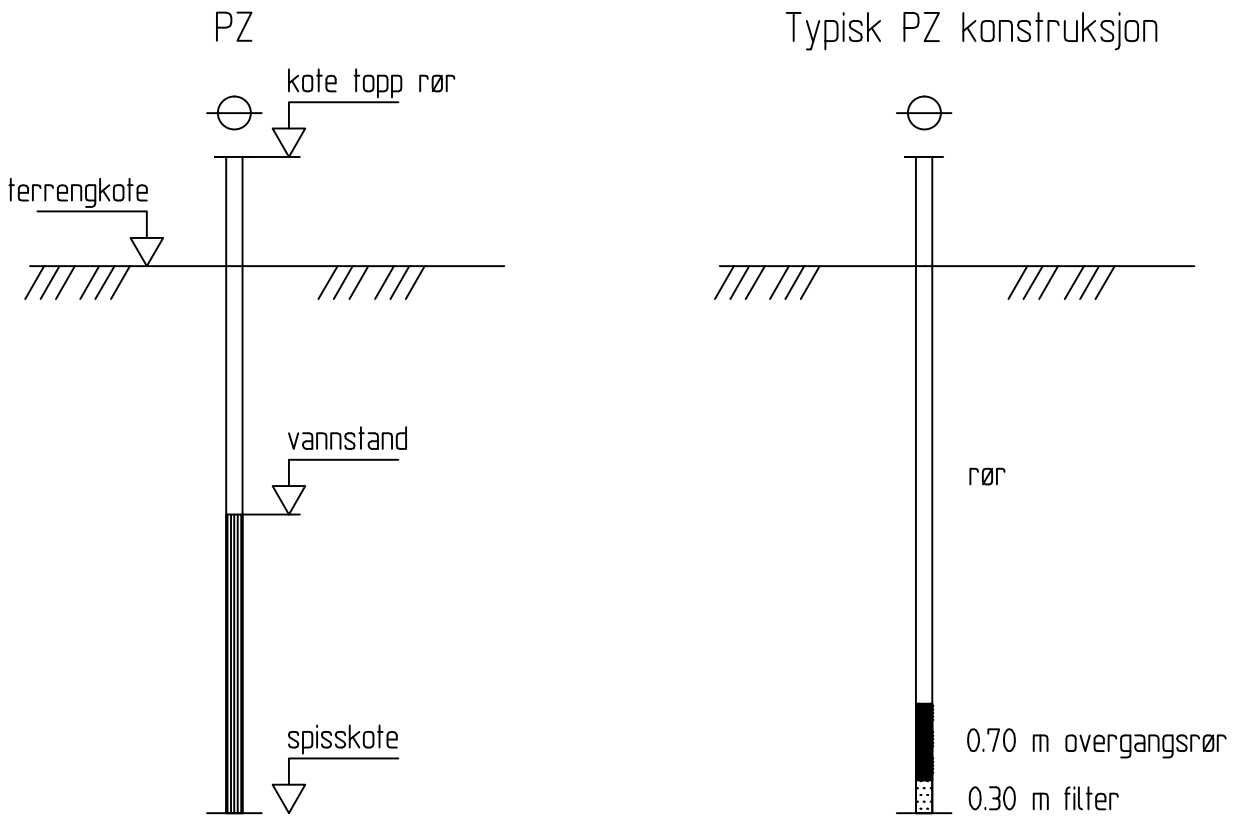
Prinsipp

Trykksondering, CPT (cone penetration test), med poretrykksmåling blir gjerne forkortet CPTU. Sonderingen utføres ved at en sylinderisk sonde med konisk spiss presses ned i grunnen med konstant penetrasjonshastighet 20 mm/s. Under nedpressingen måles kraften mot den koniske spissen, poretrykket like bak spissen og sidefriksjon mot en friksjonshylse på den sylinderiske delen.



Målingene skjer ved elektronisk eller akustik signaloverføring.

Forklaring av grunnvannstandsmåling



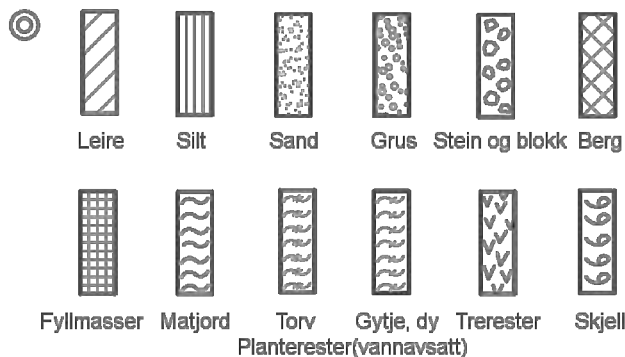
VANNSTAND

- HFV Høyeste flomvannstand
- HRV Høyeste regulerte vannstand
- LRV Laveste regulerte vannstand
- HHV Høyeste høyvannstand
- LLV Laveste lavvannstand
- HV Normal høyvannstand
- LV Normal lavvannstand
- MV Normal middelvannstand
- V Vannstand (dato angis)
- GV Grunnvannstand (dato angis)



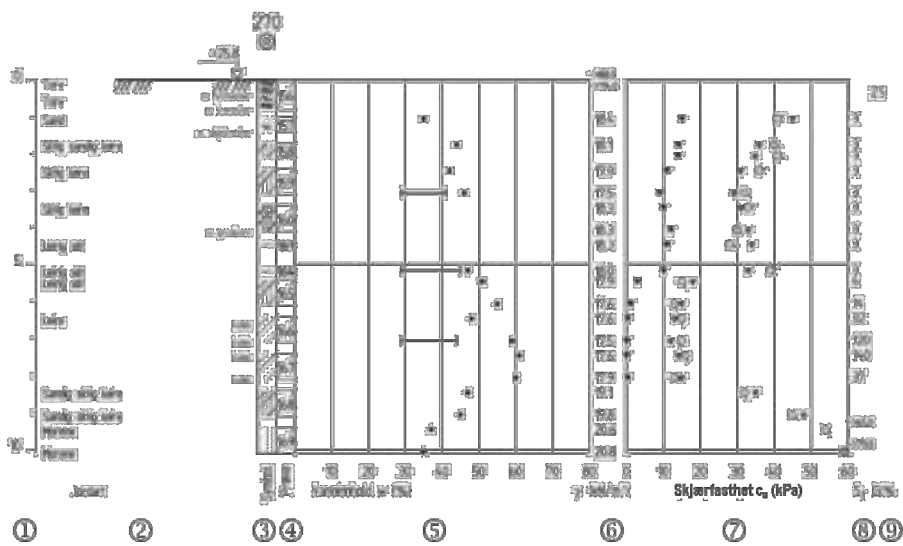
Forklaring av løsmasseprofil

Prøveserie, materialsymboler.



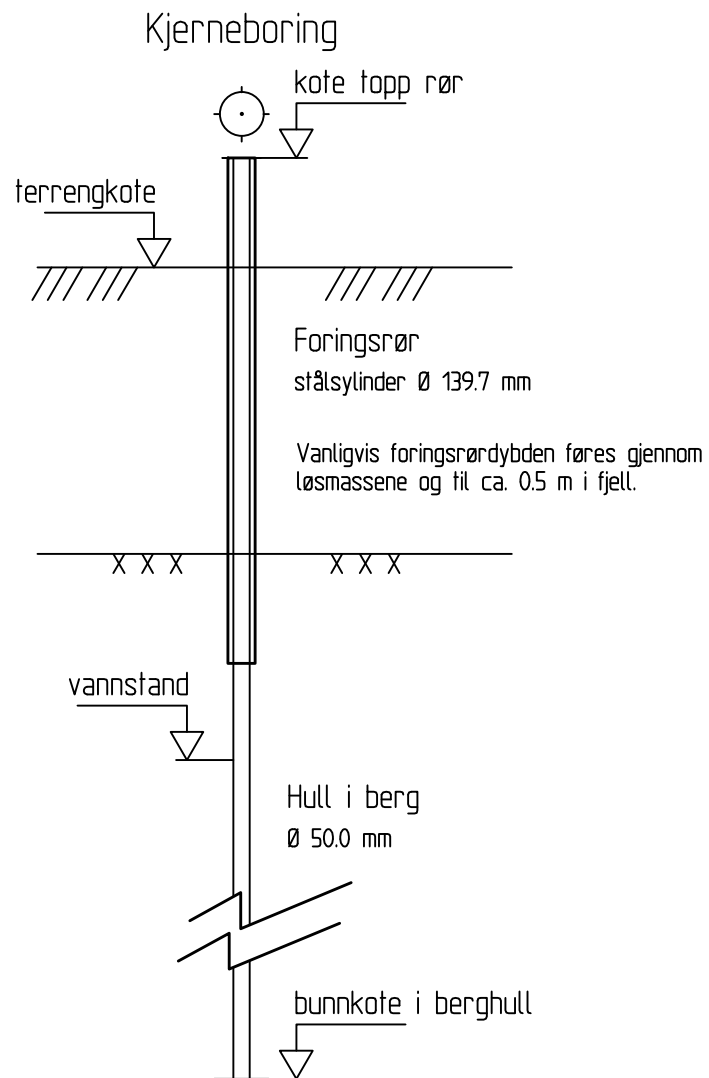
Ved blandingsjordarter som for eksempel morene kombineres symboler.

Framstilling av laboratoriedata.



- (1) Dybden fra terrenget. Ved boring i vann, fra elvebunn eller sjøbunn.
- (2) Jordartsbeskrivelse. Grunnvannsstanden kan angis.
- (3) Materialsymboler.
- (4) Prøvens beliggenhet angis ved skråstrek, eventuelt påføres prøvenummer.
- (5) Verdier som faller utenfor diagrammet angis med tall og markeres med pil. I sand kan angis både feltverdier og beregnede verdier tilsvarende vannmettet materiale.
- (6) Tyngdetetthet γ i kN/m^3 , alternativt densitet ρ i kg/m^3 . Eventuelt kan i sand også angis beregnet verdi tilsvarende vannmettet materiale.
- (7) Skjærfasthet c_u angis i kPa .
- (8) Sensitivitet S_t angis i hele tall.
- (9) Glødetap angis i %.

Forklaring av vannstandsmåling i kjerneborhull i berg



VANNSTAND

- HFV Høyeste flomvannstand
- HRV Høyeste regulerte vannstand
- LRV Laveste regulerte vannstand
- HHV Høyeste høyvannstand
- LLV Laveste lavvannstand
- HV Normal høyvannstand
- LV Normal lavvannstand
- MV Normal middelvannstand
- V Vannstand (dato angis)
- GV Grunnvannstand (dato angis)

Vedlegg 10

Plott av analysert udrenert skjærstyrke for leirelag i borpunkt 5 fra de supplerende grunnundersøkelsene med SSV sitt regneark.

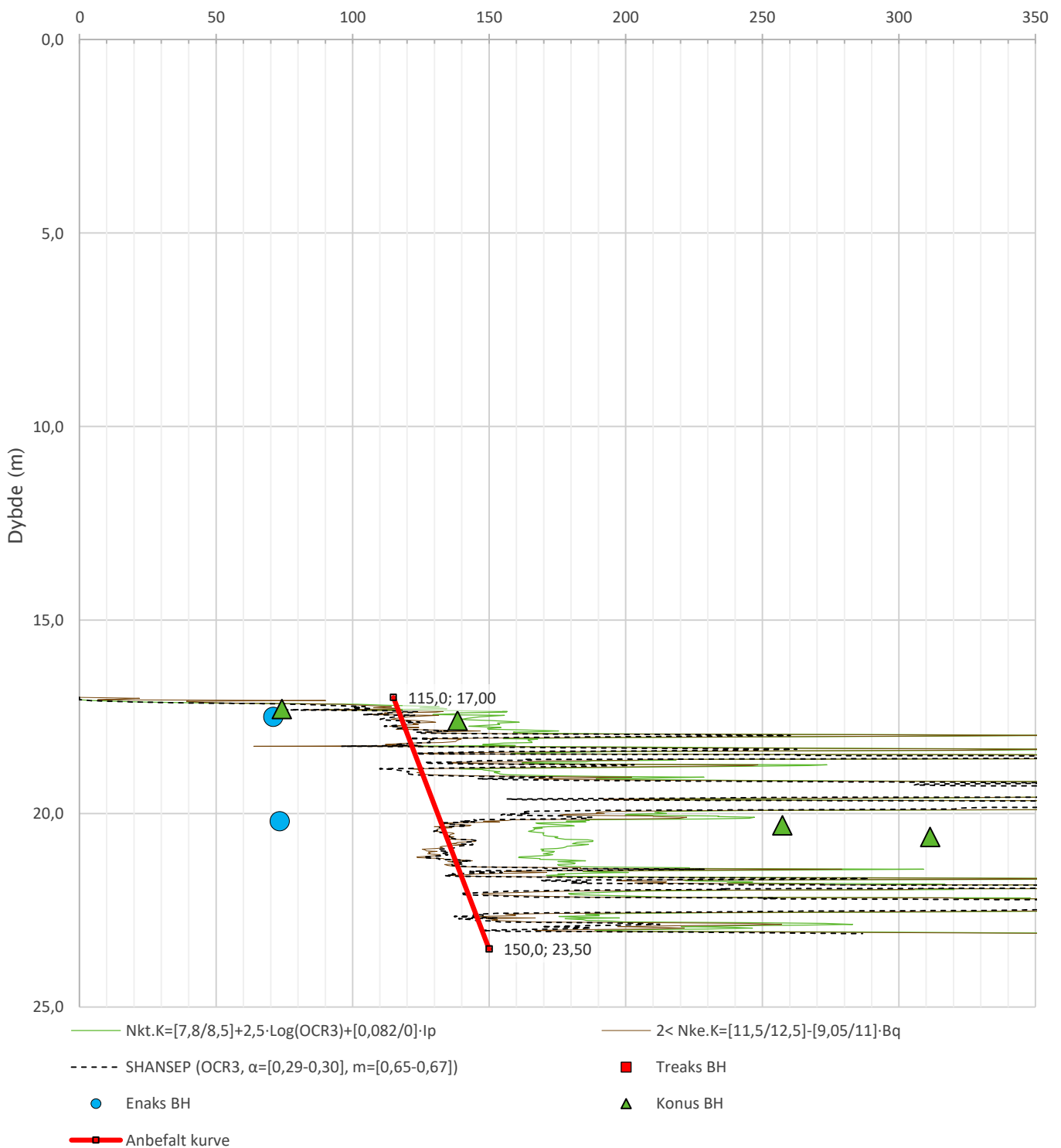


Anisotropiforhold i figur:

Enaks BH : cuuc/cucptu = 0,630

Konus BH : cufc/cucptu = 0,630

Udrenert aktiv skjærfasthet, c_{ucptu} (kPa)



Prosjekt A246122				Borhull 5
Innhold				Sondenummer
Tolkning av udrenert skjærfasthet. Regneark utviklet av SVV, versjon V.2021.01				4898
COWI	Utført OSLD	Kontrollert MDMR	Godkjent SAHS	Anvend.klasse 1
Divisjon	Dato sondering 19.12.2022	Revisjon	Figur	Rev. dato